

Process and Operations Scheduling

instructor: Stefano Smriglio

stefano.smriglio@univaq.it

Recommended skills:

Basics in complexity theory: classes P and NP

Linear Programming

Integer Linear Programming

Dynamic programming

Branch-and-bound method

Flows and paths in networks

Matching in graphs

Material:

- M. Pinedo, *Scheduling (Theory, Algorithms and Systems)* – Prentice Hall
- A. Agnetis, dispense <http://www.dii.unisi.it/~agnetis/didattica>
- Slides **<http://www.di.univaq.it/~smriglio/teach.html>**

Outline

1. **Introduction**: elements of a scheduling problem, notation
2. Mixed integer programming formulations of scheduling problems

3. Single machine problems

- $1 // \sum w_j C_j$ WSPT rule
- $1 / \text{chain} / \sum w_j C_j$
- $1 / \text{prec} / h_{\max}$ Lawler algorithm
- $1 / r_j, \text{prmp} / L_{\max}$ preemptive EDD rule
- $1 / r_j / L_{\max}$ complexity, branch-and-bound
- $1 // \sum U_j$ Moore algorithm
- $1 // \sum h_j$ Dynamic programming
- $1 // \sum T_j$
- $1 // \sum w_j T_j$

Introduction

scheduling problems
examples
classification

Introduction

Scheduling deals with the **allocation of (scarce) resources to tasks over given time periods** and its purpose is to **optimize some performance indicator**

Course objectives:

- recognize and model scheduling problems
- apply integer programming to scheduling
- classify problems from a complexity point of view
- derive (heuristic and exact) solution algorithms

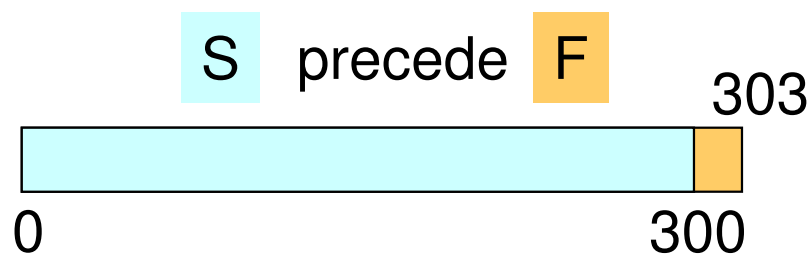
Esempio

Silvia (S) e Francesca (F) giungono nello stesso momento ad una macchina fotocopiatrice. F deve fare 1 fotocopia, S ne deve fare 100.

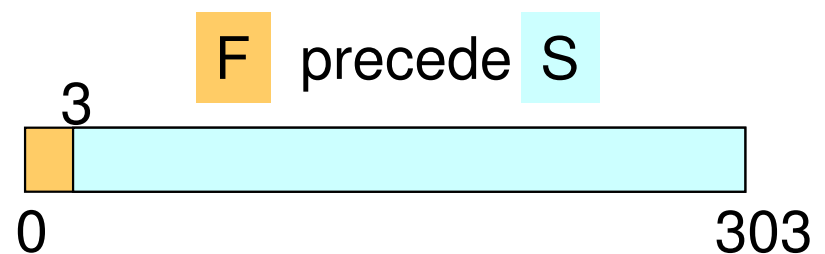
Il galateo imporrebbe a S di lasciar passare per prima F, che ha un compito molto più breve.

È una buona idea?

Analisi. Supponiamo che l'esecuzione di una fotocopia richieda 3 secondi. Due casi:



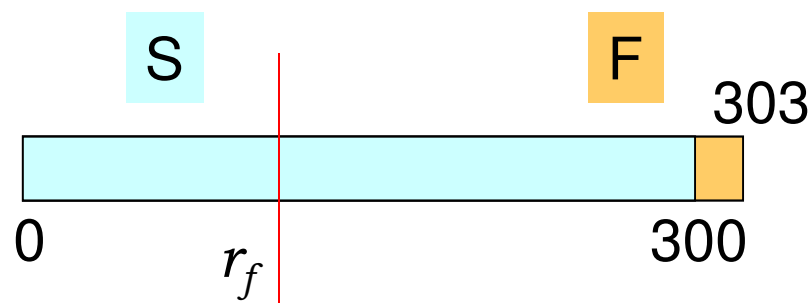
$$\text{Attesa totale} = 300 + 303 = 603$$



$$\text{Attesa totale} = 3 + 303 = 306$$

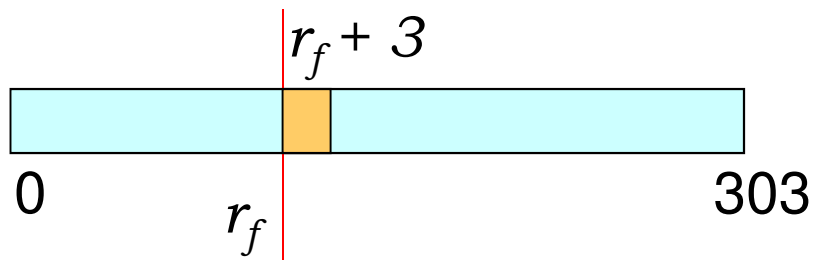
Esempio

E se Francesca F arrivasse all'istante r_f ?



$$\begin{aligned} \text{Attesa totale} &= 300 + 303 - r_f = \\ &= 603 - r_f \end{aligned}$$

Di nuovo, il galateo imporrebbe a Silvia di **interrompere** le proprie copie in favore di Francesca:

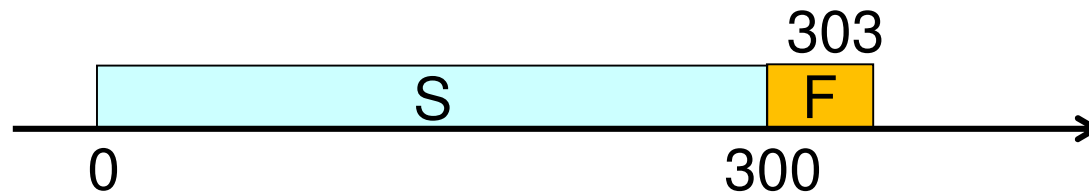


$$\text{Attesa totale} = 3 + 303 = 306$$

Ricapitolando

- **Attività:** 2 blocchi di fotocopie (di durata nota)
- **Risorse:** una macchina fotocopiatrice
- **Vincoli:**
 - ✓ Capacità: al più una fotocopia alla volta
 - ✓ (caso 2) F non può iniziare prima dell'istante r_f
- **Misura:** attesa complessiva presso la macchina fotocopiatrice

- Rappresentazione di una soluzione: diagramma di Gantt



CPU scheduling

- Il sistema operativo disciplina l'accesso alla CPU dei diversi programmi di calcolo.
- tecnica *time-sharing* (Linux): il tempo di CPU è suddiviso in intervalli (definiti dal *timer interrupt*) e, in ogni intervallo, è possibile eseguire al più un processo.
- diversi obiettivi: rispondere prontamente a ciascun processo, evitare interruzioni prolungate, evitare ritardi nei processi più urgenti.
- Linux attribuisce dinamicamente una priorità ai processi. Ad es., la priorità è proporzionale all'attesa del processo

CPU scheduling

- **Attività:** programmi
- **Risorse:** CPU
- **Vincoli:** Capacità: al più un programma in ciascun intervallo per ciascuna CPU
- **Misure:**
 - tempo massimo di attesa di un programma
 - tempo di completamento di tutti i programmi
 - ritardi nei processi “urgenti”

Scheduling dei velivoli in atterraggio

- La torre di controllo (ATC) ha il compito di assegnare una pista ed un istante di atterraggio a ciascun velivolo nel proprio campo radar (area terminale)
- Ogni velivolo ha una finestra temporale $[r,s]$ definita da due istanti di atterraggio estremi, a seconda che il velivolo viaggi:
 - alla sua massima velocità (istante r)
 - in modalità di minimo consumo (istante s)
- Un velivolo in atterraggio impegna la pista per un tempo noto ma genera turbolenza: quello successivo deve attendere un tempo di “separazione” (funzione delle dimensioni dei velivoli)

Scheduling dei velivoli in atterraggio

- Ad ogni velivolo è associato un orario di atterraggio predeterminato (e pubblicato nelle tabelle)
- “L’importanza” di un velivolo dipende da fattori quali la dimensione, la compagnia, la distanza percorsa...
- **Attività:** atterraggi
- **Risorse:** k piste
- **Vincoli:**
 - Capacità: su ogni pista, al più un atterraggio in un certo istante
 - finestre temporali di atterraggio
 - separazione fra atterraggi consecutivi
- **Misura:**
 - somma (pesata in base all’importanza) dei ritardi rispetto all’orario pubblicato

Ancora nella vita quotidiana...

Aldo (A), Bruno (B), Carlo (C), Duilio (D) condividono un appartamento e, ogni mattino, ricevono 4 giornali: Financial Times (FT), Guardian (G), Daily Express (DE), Sun (S).

Ognuno ha i propri gusti...inizia la lettura ad una certa ora, legge i giornali nella sua sequenza preferita e (ciascuno) per un tempo prefissato:

lettore	inizio	Sequenza giornali (min.)			
Aldo	8.30	FT(60)	G (30)	DE (2)	S(5)
Bruno	8.45	G(75)	DE(3)	FT(25)	S(10)
Carlo	8.45	DE(5)	G(15)	FT(10)	S(30)
Duilio	9.30	S(90)	FT(1)	G(1)	DE(1)

Ancora nella vita quotidiana...

inoltre, ciascun lettore:

- ✓ rilascia un giornale solo dopo averlo letto completamente.
- ✓ termina la lettura di tutti i giornali prima di uscire.

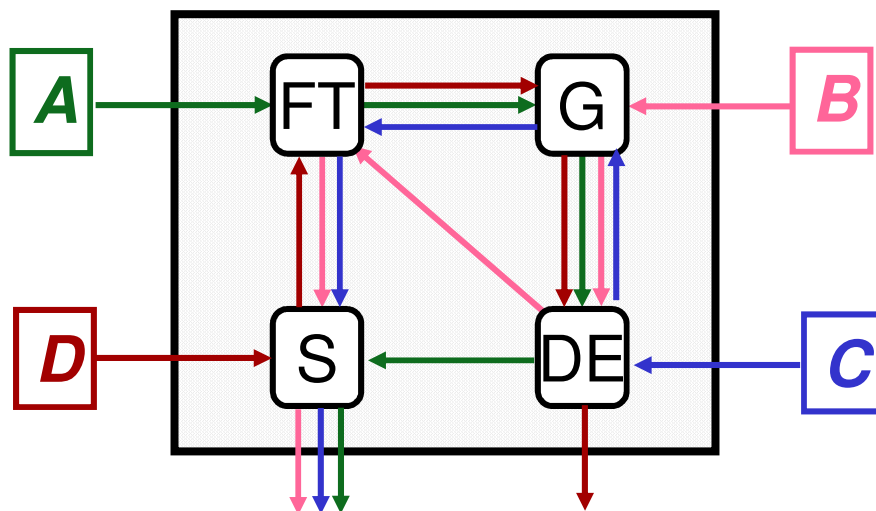
infine, i quattro lettori attendono che tutti abbiano terminato di leggere prima di uscire di casa

Problema:

A che ora A, B, C, D riescono (finalmente!) ad uscire?

Interpretazione

lettore	inizio	Sequenza giornali (min.)			
Aldo	8.30	FT(60)	G (30)	DE (2)	S(5)
Bruno	8.45	G(75)	DE(3)	FT(25)	S(10)
Carlo	8.45	DE(5)	G(15)	FT(10)	S(30)
Duilio	9.30	S(90)	FT(1)	G(1)	DE(1)



determinare in quale sequenza ciascun giornale “accetta” i lettori in modo da minimizzare il tempo di lettura totale.

Soluzioni

lettore	inizio	Sequenza giornali (min.)			
Aldo	8.30	FT(60)	G (30)	DE (2)	S(5)
Bruno	8.45	G(75)	DE(3)	FT(25)	S(10)
Carlo	8.45	DE(5)	G(15)	FT(10)	S(30)
Duilio	9.30	S(90)	FT(1)	G(1)	DE(1)

una possibile soluzione:

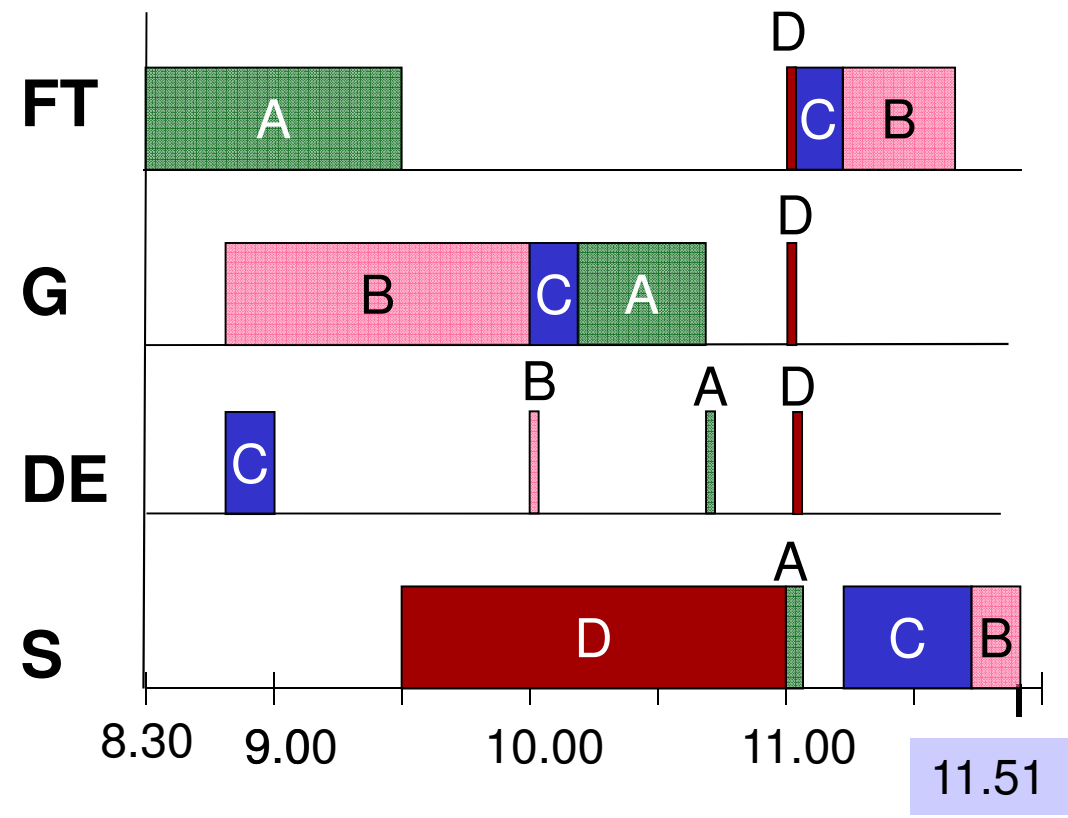
giornale	Sequenza lettori			
FT	A	D	C	B
G	B	C	A	D
DE	C	B	A	D
S	D	A	C	B

ESERCIZIO:

valutare l'ora in cui A,B,C e D escono di casa

ESERCIZIO:
 data la soluzione in tabella
 valutare l'ora in cui A,B,C
 e D escono di casa

giornale	Sequenza lettori			
FT	A	D	C	B
G	B	C	A	D
DE	C	B	A	D
S	D	A	C	B



Enumerazione totale

- Il numero di soluzioni è $(4!)^4 = 331.776$
- per un problema con n lettori e m giornali diventa $(n!)^m$.
- esaminando 10.000 soluzioni al secondo (4 giornali e n lettori):

n	tempo
5	354 min
10	$2 \cdot 10^{17}$ giorni

In generale

Con il termine *scheduling* si indica l'allocazione temporale di risorse scarse ad attività

Elementi di un problema di scheduling:

job: attività da svolgere – insieme $\mathbf{J} = \{1, \dots, n\}$

Fotocopia, esecuzione di un programma di calcolo

Un job può rappresentare una singola attività o un insieme di attività (*task*) tecnologicamente legate

macchine: risorse che eseguono le attività – insieme $\mathbf{M} = \{1, \dots, m\}$

Fotocopiatrice, CPU, giornali

Attributi dei job

- **tempo di processamento** p_{ij} durata del processamento del job j sulla macchina i
- **release date** r_j tempo in cui j arriva nel sistema, rendendosi disponibile al processamento
- **due date** d_j tempo entro il quale si desidera che il job j sia completato (data di consegna)
- **peso** w_j indica l'importanza del job j

Classificazione

Il processamento di un job su una macchina è detto ***operazione***.

I problemi di scheduling si classificano in base alle caratteristiche dei task e all'architettura delle macchine

Notazione a tre campi: $\alpha/\beta/\gamma$:

α descrive il sistema di macchine

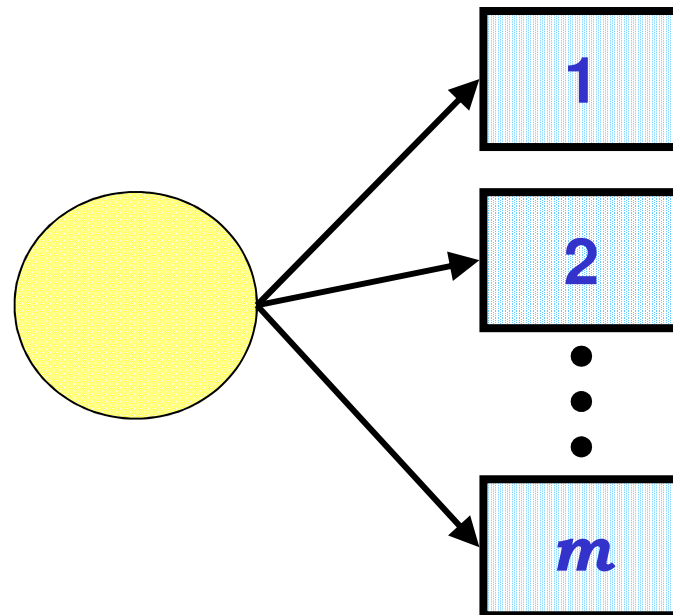
β rappresenta vincoli e modalità di processamento (0, 1 o più componenti)

γ indica l'obiettivo

Campo α

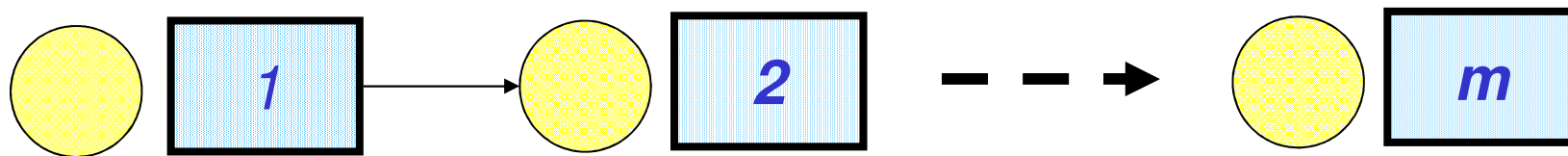
Macchina singola (1) : ciascun job richiede una singola operazione da eseguirsi sull'unica macchina disponibile

Macchine identiche parallele (P_m) : ciascun job richiede una singola operazione da eseguirsi su una qualunque delle m macchine identiche.



Campo α

Flow shop (F_m) : Ciascun job è composto di m task, ciascuno da eseguirsi su una macchina secondo una sequenza fissata, uguale per tutti i job.

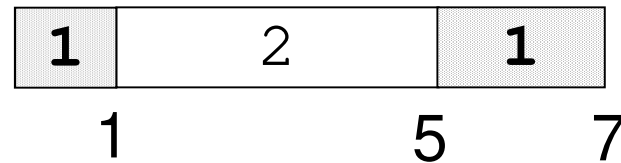


Job shop (J_m) : Ciascun job j è composto di $m(j)$ task, ciascuno da eseguirsi su una macchina secondo una sequenza fissata, dipendente da j

Campo β

- **Release dates (r_j):** il job j non può iniziare il processamento prima dell'istante r_j
- **Preemption ($prmp$):** è ammesso interrompere un'operazione per iniziarne una nuova. Il processamento eseguito prima dell'interruzione non va perso: quando l'operazione viene ripresa, essa richiede solo il **tempo rimanente di processamento**

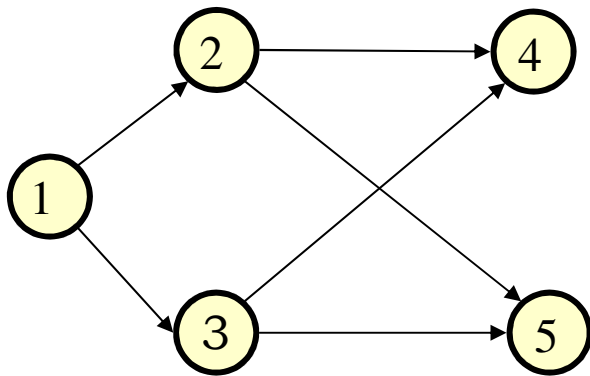
job	1	2
p_j	3	4



schedule ammissibile

Campo β

prec: è dato un grafo $G = (N, A)$ diretto e aciclico che rappresenta una relazione di precedenza fra job. Un job j può iniziare solo se tutti i suoi predecessori sono stati completati



schedule **non** ammissibile

chain: caso speciale in cui ogni componente connessa del grafo è un cammino orientato (catena)

Campo β

- **Tempi di set-up (s_{jk})**: tempo richiesto per il riattrezzaggio delle macchine fra i job j e k . Se dipende dalla macchina i , si esprime con s_{jk}^i
- **breakdown (brkdwn)**: le macchine non sono sempre disponibili, ma hanno periodi fissati di interruzione del servizio

Definizioni

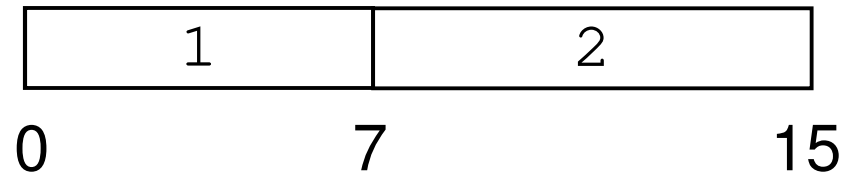
C_j tempo di completamento del job j

$L_j = C_j - d_j$ **lateness** del job j

$T_j = \max(L_j, 0)$ **tardiness** del job j

$U_j = 1$ se $C_j > d_j$ e 0 altrimenti

job	1	2
p_j	7	8
d_j	9	11



$$C_1 = 7 \qquad C_2 = 15$$

$$L_1 = -2 \qquad L_2 = 4$$

$$T_1 = 0 \qquad T_2 = 4$$

$$U_1 = 0 \qquad U_2 = 1$$

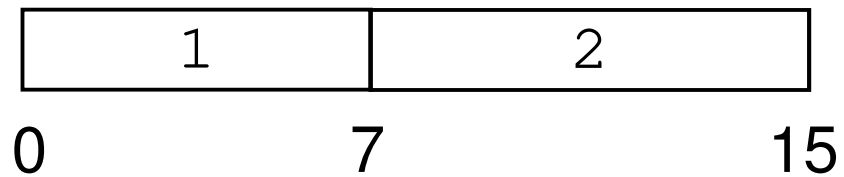
Campo γ : funzioni obiettivo

- **Makespan (C_{max})** : $\max (C_1, \dots, C_n)$ tempo di completamento dell'ultimo job
- **Massima Lateness (L_{max})** : $L_{max} = \max (L_1, \dots, L_n)$
- **Tempo totale pesato di completamento ($\sum w_j C_j$)**
o (weighted flow-time)
- **Tardiness totale pesata ($\sum w_j T_j$)**
- **Numero di tardy job ($\sum U_j$)**

tutte funzioni obiettivo **regolari** cioè non-decrescenti
in C_1, \dots, C_n

Esempio

job	1	2
w_j	2	3
p_j	7	8
d_j	9	11



$$L_{max} = 4$$

$$\sum w_j T_j = 12$$

$$\sum w_j C_j = 59$$

$$\sum U_j = 1$$

Sequenze e schedule

- Si definisce **sequenza** una permutazione dei job che definisce l'ordine con cui i job sono processati su una certa macchina
- Si definisce **schedule** un ***assegnamento di un istante di inizio a ciascuno dei task di ogni job*** (se *prmp*, istanti di inizio di ciascuna delle parti in cui viene suddiviso un task)

Schedule nondelay

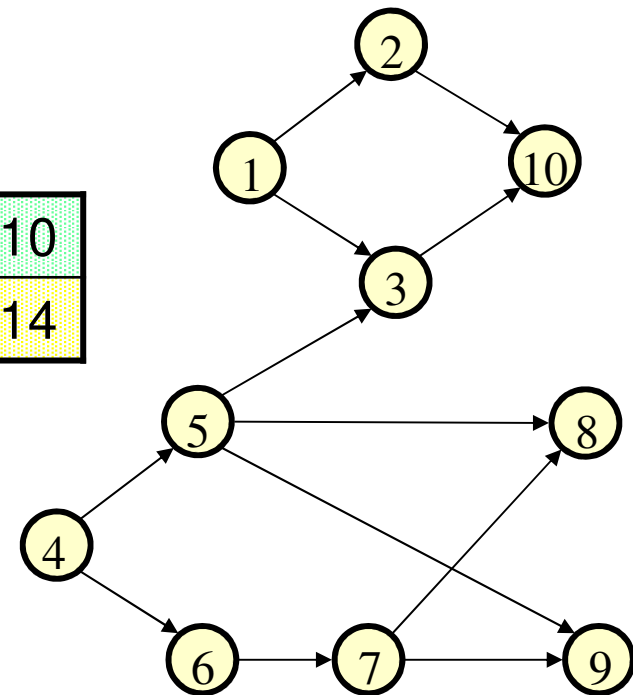
una schedule ammissibile è detto **nondelay** se nessuna macchina è ferma quando esiste un'operazione disponibile al processamento

In molti casi (sempre se *prmp*) le soluzioni ottime sono nondelay. Ciò non è vero in generale

ESERCIZIO: schedule nondelay

dato il seguente problema $P_2/\text{prec}/C_{\max}$

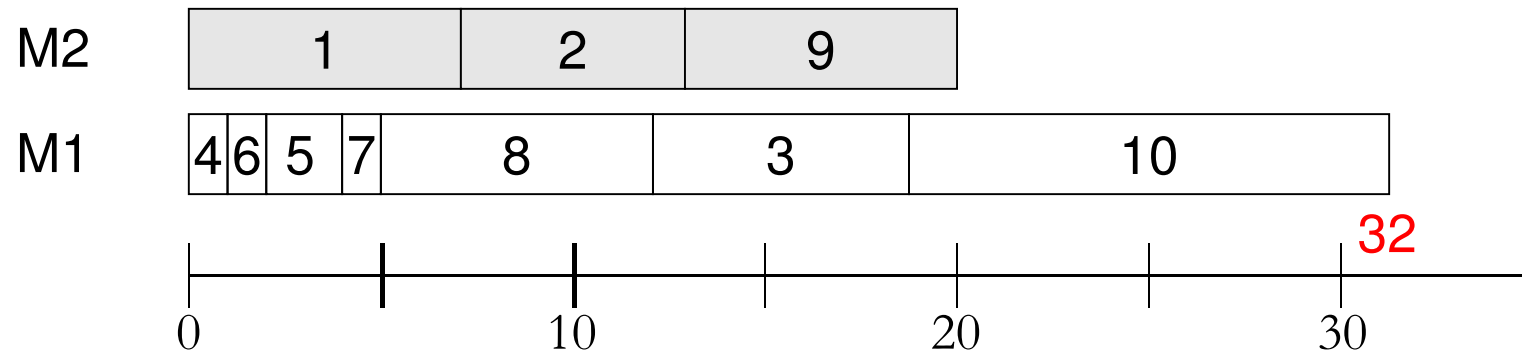
job	1	2	3	4	5	6	7	8	9	10
p_j	7	6	6	1	2	1	1	7	7	14



costruire uno schedule nondelay
e verificarne l'ottimalità

ESERCIZIO: schedule nondelay

Soluzione nondelay:



Soluzione ottima:



1.1 Scheduling a macchina singola

Formulazioni di Programmazione Lineare
Booleana e Mista (PL(0-1)-PLM)

Formulazione disgiuntiva

Variabili decisionali “naturali”:

$$t_j \in R^n \quad \text{istante di inizio del job } j, j = 1, \dots, n$$

Macchina a capacità unitaria:

$$\begin{array}{ll} i \text{ precede } j \Rightarrow & t_j \geq t_i + p_i \\ j \text{ precede } i \Rightarrow & t_i \geq t_j + p_j \end{array} \quad \begin{array}{l} \text{valgono in} \\ \text{alternativa !!} \end{array}$$

Variabili aggiuntive (binarie):

$$y_{ij} = \begin{cases} 1 & \text{se } i \text{ precede } j \\ 0 & \text{se } j \text{ precede } i \end{cases}$$

Formulazione disgiuntiva (PLM)

$$i \text{ precede } j \Rightarrow y_{ij} = 1 \Rightarrow t_j \geq t_i + p_i$$

$$j \text{ precede } i \Rightarrow y_{ij} = 0 \Rightarrow t_i \geq t_j + p_j$$

Formulazione *disgiuntiva*

$$(1 - y_{ij})M + t_j - t_i \geq p_i \quad \forall i, j \in J$$

$$y_{ij}M + t_i - t_j \geq p_j \quad \forall i, j \in J$$

$$t_j \geq 0 \quad \forall j \in J$$

$$y_{ij} \in \{0,1\} \quad \forall i, j \in J$$

M costante grande (quanto?)

Problemi minsum: $\mathbf{1} // \sum_j w_j \mathbf{C}_j$

$$\min \sum_{j \in J} w_j (t_i + p_i) = \sum_{j \in J} w_j t_j + \sum_{j \in J} w_j p_j$$

$$(1 - y_{ij})M + t_j - t_i \geq p_i \quad \forall i, j \in J$$

$$y_{ij}M + t_i - t_j \geq p_j \quad \forall i, j \in J$$

$$t_j \geq 0 \quad \forall j \in J$$

$$y_{ij} \in \{0,1\} \quad \forall i, j \in J$$

$(n^2 - n)/2 + n$ variabili
 n^2 vincoli

Esercizio

Formulare come problema di PLM la seguente istanza del problema $1/r_j/\sum_j w_j C_j$

job	1	2	3
p_j	3	1	2
r_j	0	2	0
w_j	3	2	4

Problemi minsum: $1 // \sum_j w_j T_j$

$$\min \sum_{j \in J} w_j \max\{t_j + p_j - d_j, 0\}$$

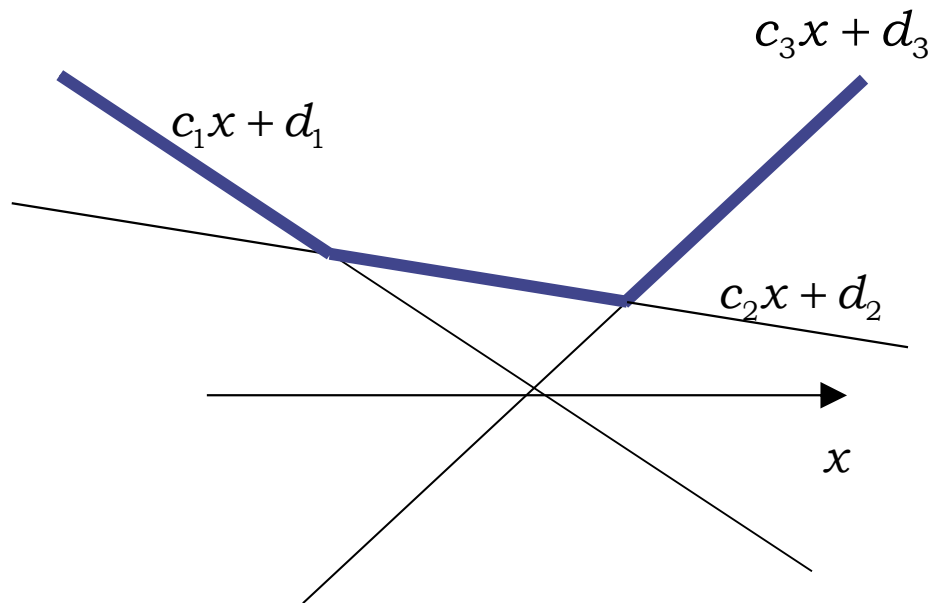
$$(1 - y_{ij})M + t_j - t_i \geq p_i \quad \forall i, j \in J$$

$$y_{ij}M + t_i - t_j \geq p_j \quad \forall i, j \in J$$

$$t_j \geq 0 \quad \forall j \in J$$

$$y_{ij} \in \{0, 1\} \quad \forall i, j \in J$$

RICHIAMO: Funzioni convesse lineari a tratti



$$\max_{i=1,\dots,m} (c_i^T x + d_i)$$

è il più piccolo valore z per cui

$$z \geq c_i^T x + d_i \quad i = 1, \dots, m$$

$$\min \max_{i=1,\dots,m} (c_i^T x + d_i)$$

$$Ax \geq b$$

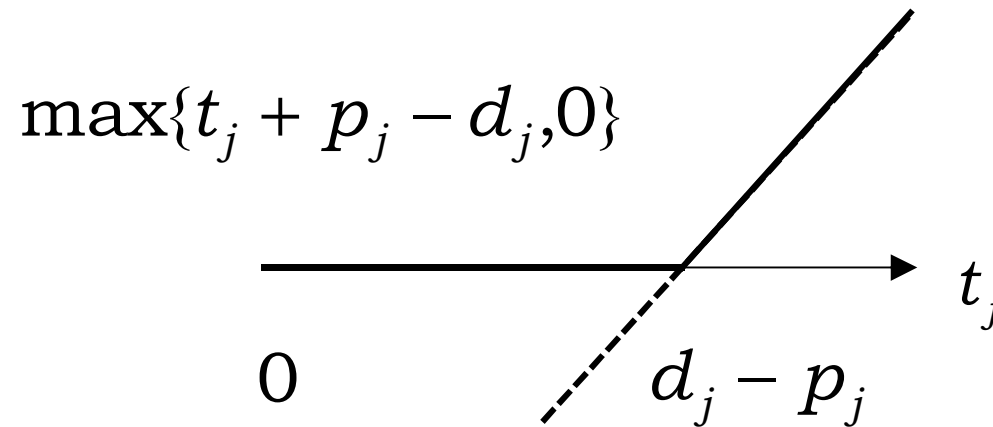


$$\min z$$

$$Ax \geq b$$

$$c_i^T x + d_i \leq z \quad i = 1, \dots, m$$

Formulazione PLM



$$\min \sum_{j \in J} w_j \max\{t_j + p_j - d_j, 0\} \quad \Rightarrow \quad \begin{aligned} &\min \sum w_j f_j \\ &f_j \geq t_j + p_j - d_j, \quad j \in J \\ &f_j \geq 0 \end{aligned}$$

Formulazione PLM

$$\min \sum w_j f_j$$

$$f_j - t_j \geq p_j - d_j, \quad j \in J$$

$$(1 - y_{ij})M + t_j - t_i \geq p_i \quad \forall i, j \in J$$

$$y_{ij}M + t_i - t_j \geq p_j \quad \forall i, j \in J$$

$$t_j \geq 0 \quad \forall j \in J$$

$$y_{ij} \in \{0,1\} \quad \forall i, j \in J$$

$$f_j \geq 0$$

Problemi min-max: L_{max}

min f

$$f - t_j \geq p_j - d_j, \quad j \in J$$

$$(1 - y_{ij})M + t_j - t_i \geq p_i \quad \forall i, j \in J$$

$$y_{ij}M + t_i - t_j \geq p_j \quad \forall i, j \in J$$

$$t_j \geq 0 \quad \forall j \in J$$

$$y_{ij} \in \{0,1\} \quad \forall i, j \in J$$

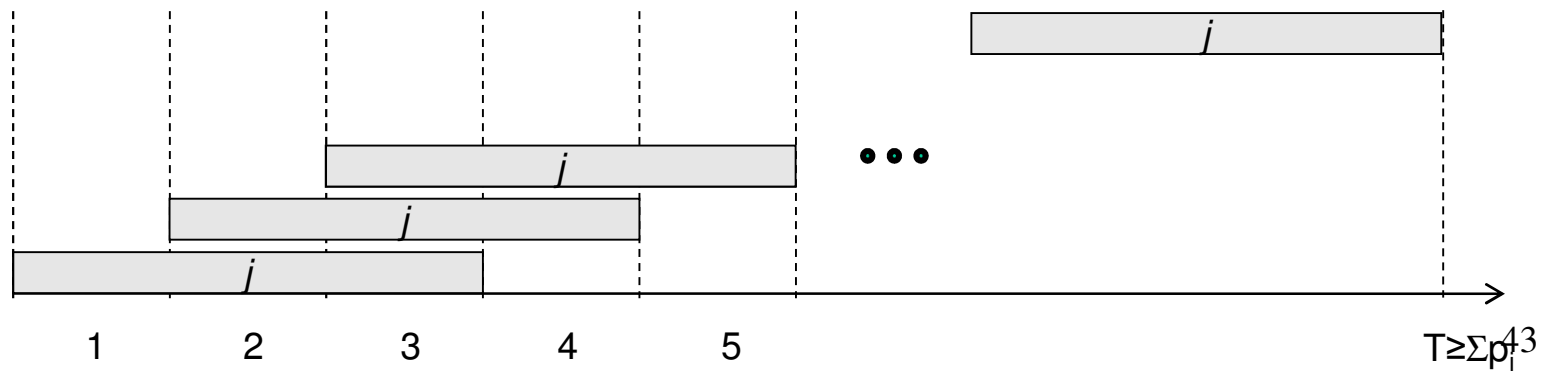
Formulazioni Time-indexed

Orizzonte temporale $[0, T]$ discretizzato in periodi di durata unitaria. Il periodo t coincide con l'intervallo di $[t - 1, t]$

Variabili binarie: $x_{jt} = 1$ se j inizia nel periodo t ; 0 altrimenti

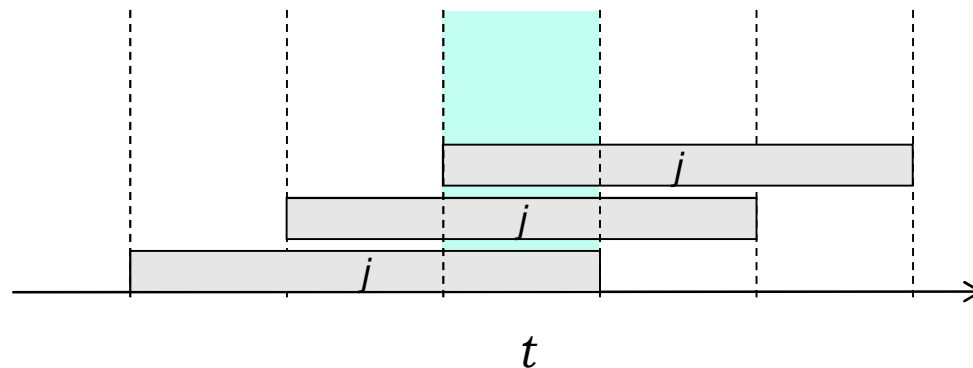
vincolo 1 (Completezza): ogni job inizia in un qualche t

$$\sum_{t=1}^{T-p_j+1} x_{jt} = 1, \quad j = 1, \dots, n$$



Formulazioni Time-indexed

vincolo 2 (Capacità): al più un job processato nel periodo t
un job occupa il periodo t se inizia nell'intervallo $[t - p_j + 1, t]$



quindi:

$$\sum_{j=1}^n \sum_{s=\max(1, t-p_j+1)}^{\min(t, T-p_j+1)} x_{js} \leq 1, \quad t = 1, \dots, T$$

Formulazione PL(0-1)

$$\min \sum_{j=1}^n \sum_{t=1}^{T-p_j+1} c_{jt} x_{jt}$$

c_{jt} costo di assegnazione del job j all'istante t

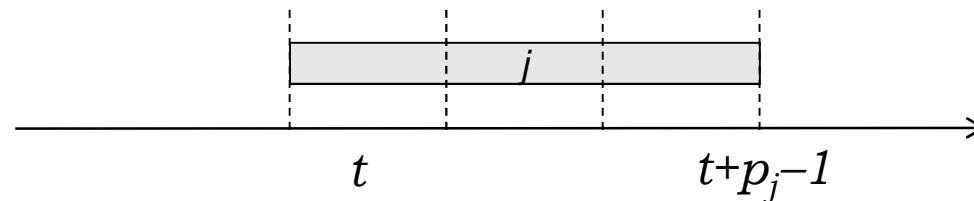
$$\sum_{t=1}^{T-p_j+1} x_{jt} = 1, \quad j = 1, \dots, n$$
$$\sum_{j=1}^n \sum_{s=\max(1, t-p_j+1)}^{\min(t, T-p_j+1)} x_{js} \leq 1, \quad t = 1, \dots, T$$

$$x_{jt} \in \{0,1\}, \quad j = 1, \dots, n; \quad t = 1, \dots, T - p_j + 1$$

nT variabili; $n + T$ vincoli

Modellazione funzioni obiettivo

se j inizia nel periodo t si ha $C_j = t+p_j-1$



cioè:

$$C_j = \sum_{t=1}^{T-p_j+1} (t + p_j - 1) x_{jt}$$

Quindi, basta porre $c_{jt} = w_j(t+p_j-1)$ per ottenere

$$\sum_{j=1}^n \sum_{t=1}^{T-p_j+1} w_j(t + p_j - 1) x_{jt} = \sum_{j=1}^n w_j C_j$$

Modellazione funzioni obiettivo

Analogamente, definendo

$$c_{jt} = w_j \max\{0, t + p_j - d_j - 1\}$$

si ottiene la tardiness totale:

$$\sum_{j=1}^n \sum_{t=1}^{T-p_j+1} w_j \max(0, t + p_j - d_j - 1) x_{jt} = \sum_{j=1}^n w_j T_j$$

Problemi min-max

$$\min \max_{j=1, \dots, n} \sum_{t=1}^{T-p_j+1} c_{jt} x_{jt}$$

$$\begin{aligned} \sum_{t=1}^{T-p_j+1} x_{jt} &= 1, & j &= 1, \dots, n \\ \sum_{j=1}^n \sum_{s=\max(1, t-p_j+1)}^{\min(t, T-p_j+1)} x_{js} &\leq 1, & t &= 1, \dots, T \end{aligned}$$

$$x_{jt} \in \{0,1\}, \quad j = 1, \dots, n; \quad t = 1, \dots, T - p_j + 1$$

Linearizzazione

$$\min f$$

$$f - \sum_{t=1}^{T-p_j+1} c_{jt} x_{jt} \geq 0, \quad j = 1, \dots, n$$

$$\begin{aligned} \sum_{t=1}^{T-p_j+1} x_{jt} &= 1, \quad j = 1, \dots, n \\ \sum_{j=1}^n \sum_{s=\max(1, t-p_j+1)}^{\min(t, T-p_j+1)} x_{js} &\leq 1, \quad t = 1, \dots, T \end{aligned}$$

$$x_{jt} \in \{0,1\}, \quad j = 1, \dots, n; \quad t = 1, \dots, T - p_j + 1$$

Esempio: L_{\max}

Analogamente, definendo

$$c_{jt} = t + p_j - d_j - 1$$

I vincoli $f - \sum_{t=1}^{T-p_j+1} c_{jt} x_{jt} \geq 0, \quad j = 1, \dots, n$

diventano

$$f - \underbrace{\sum_{t=1}^{T-p_j+1} (t + p_j - d_j - 1) x_{jt}}_{= L_j} \geq 0, \quad j = 1, \dots, n$$

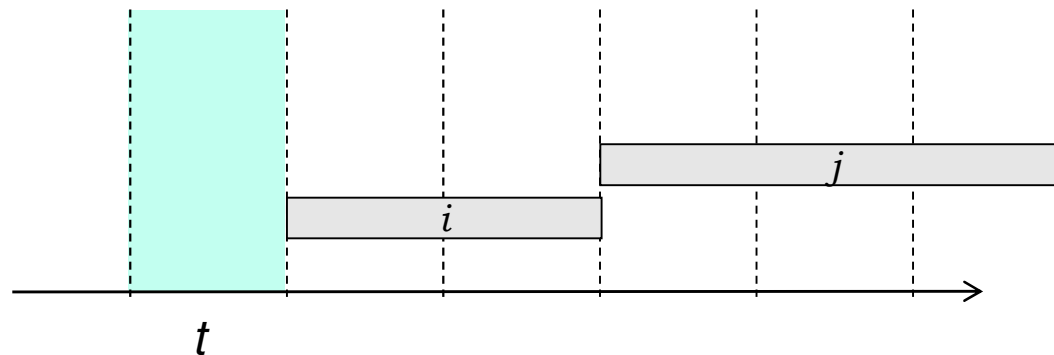
Esercizio

Formulare come problema di PL(0-1) la seguente istanza del problema $1/r_j / \sum_j w_j C_j$

job	1	2	3
p_j	3	1	2
r_j	0	2	0
w_j	3	2	4

Vincoli di precedenza

vincolo 3 (Precedenza $i \rightarrow j$): se il job i non è iniziato nei periodi $1, 2, \dots, t$ allora il job j non può iniziare nei periodi $1, 2, \dots, t + p_i$



quindi:

$$\sum_{s=1}^{t+p_i} x_{js} \leq \sum_{r=1}^t x_{ir}, \quad t = 1, \dots, T - p_i - p_j + 1$$

1.2 Tempo totale pesato di completamento

$$\Sigma w_j C_j$$

nondelay schedule

Proprietà 0.1 Dato un problema del tipo $1//\gamma$ con γ funzione obiettivo regolare, esiste uno schedule ottimo in cui la macchina processa ininterrottamente dall'istante 0 all'istante $C_{\max} = \sum p_j$

Tempo totale pesato di completamento

$$1 // \sum w_j C_j$$

Definiamo *Weighted Shortest Processing Time* (WSPT) una regola che ordina i job per valori non crescenti del rapporto w_j/p_j

Sussiste il seguente

Teorema 1.1 La regola WSPT calcola una soluzione ottima del problema $1 // \sum w_j C_j$

Dimostrazione. (Per contraddizione)
Assumiamo che S sia uno schedule ottimo e che non rispetti WSPT

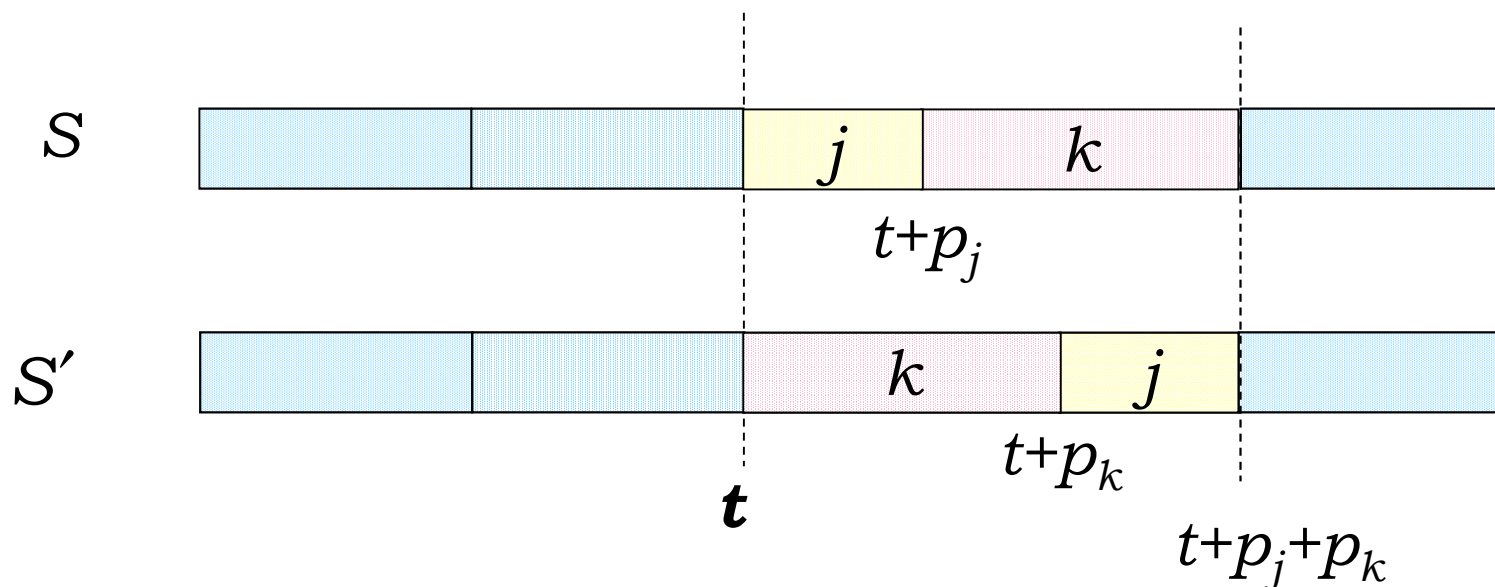
Dimostrazione

Allora devono esserci in S due job adiacenti, diciamo j seguito da k tali che

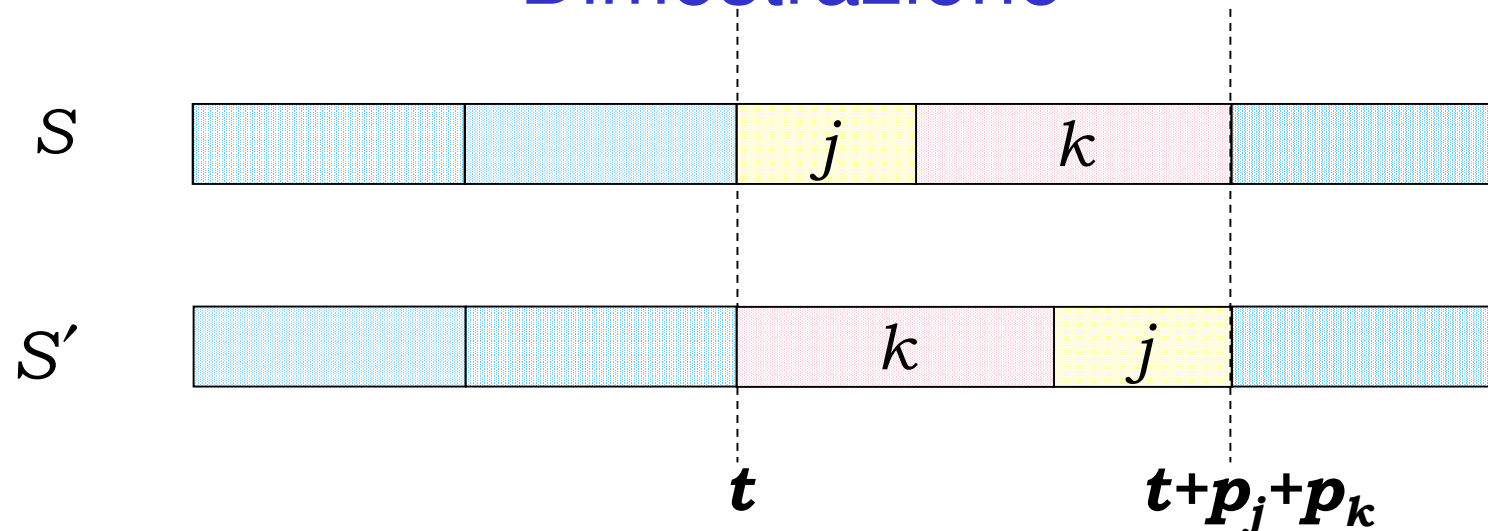
$$w_j/p_j < w_k/p_k$$

Assumiamo che il job j inizi all'istante t .

Eseguiamo uno scambio dei job j e k ottenendo un nuovo schedule S'



Dimostrazione



Il tempo totale (pesato) di completamento dei job che precedono e seguono la coppia (j,k) non è modificato dallo scambio. Il contributo dei job j e k in S è:

$$(t+p_j)w_j + (t+p_j+p_k)w_k$$

mentre in S' è:

$$(t+p_k)w_k + (t+p_k+p_j)w_j$$

Dimostrazione

$$\text{in } S] \quad (t+p_j)w_j + (t+p_j+p_k)w_k$$

$$\text{in } S'] \quad (t+p_k)w_k + (t+p_k+p_j)w_j$$

Eliminando i termini uguali:

$$\text{in } S] \quad p_j w_k$$

$$\text{in } S'] \quad p_k w_j$$

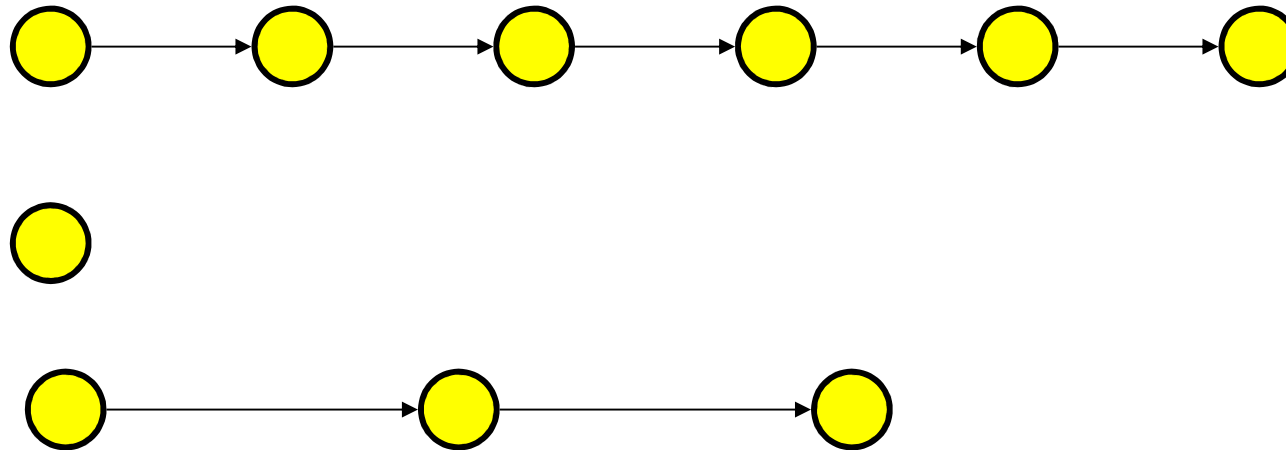
Quindi, se $w_j/p_j < w_k/p_k$, risulta $p_k w_j < p_j w_k$, cioè il tempo totale pesato in S' è strettamente inferiore a quello in S , contraddizione

Vincoli di precedenza

$$1/prec/\sum w_j C_j$$

Nel caso generale il problema è NP-Hard.
Consideriamo invece il caso in cui le precedenze sono rappresentate da un insieme di catene in parallelo:

$$1/chain/\sum w_j C_j$$



Per questo caso esiste un algoritmo di soluzione polinomiale.

Catene non interrompibili

Date due catene:

$$1 \rightarrow 2 \rightarrow \dots \rightarrow k$$

$$k+1 \rightarrow k+2 \rightarrow \dots \rightarrow n$$

Minimizziamo $\sum w_j C_j$ con il vincolo che i job di ciascuna catena debbano essere processati consecutivamente.

Lemma 1.2 Se

$$\frac{\sum_{j=1}^k w_j}{\sum_{j=1}^k p_j} > \frac{\sum_{j=k+1}^n w_j}{\sum_{j=k+1}^n p_j}$$

allora la catena $1, \dots, k$ precede la catena $k+1, \dots, n$

Dimostrazione

- Per la sequenza $1, 2, \dots, k, k+1, k+2, \dots, n$ (**s1**) il tempo totale di completamento è

$$w_1 p_1 + \dots + w_k \sum_{j=1}^k p_j + w_{k+1} \left(\sum_{j=1}^k p_j + p_{k+1} \right) + \dots + w_n \sum_{j=1}^n p_j$$

- Per la sequenza $k+1, k+2, \dots, n, 1, 2, \dots, k$ (**s2**) il tempo totale di completamento è

$$w_{k+1} p_{k+1} + \dots + w_n \sum_{j=k+1}^n p_j + w_1 \left(\sum_{j=k+1}^n p_j + p_1 \right) + \dots + w_k \sum_{j=1}^k p_j$$

Semplificando

- **S1**

$$w_{k+1} \sum_{j=1}^k p_j + \dots + w_n \sum_{j=1}^k p_j = \left(\sum_{j=k+1}^n w_j \right) \left(\sum_{j=1}^k p_j \right)$$

- **S2**

$$w_1 \sum_{j=k+1}^n p_j + \dots + w_k \sum_{j=k+1}^n p_j = \left(\sum_{j=1}^k w_j \right) \left(\sum_{j=k+1}^n p_j \right)$$

- Quindi, ricordando l'ipotesi:

$$\frac{\sum_{j=1}^k w_j}{\sum_{j=1}^k p_j} > \frac{\sum_{j=k+1}^n w_j}{\sum_{j=k+1}^n p_j} \Rightarrow \left(\sum_{j=k+1}^n w_j \right) \left(\sum_{j=1}^k p_j \right) < \left(\sum_{j=1}^k w_j \right) \left(\sum_{j=k+1}^n p_j \right)$$

cioè, S1 migliore di S2



Coefficiente ρ di una catena

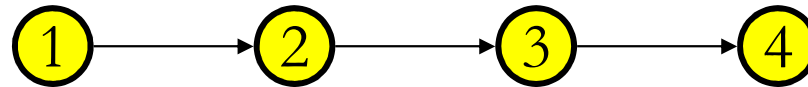
L'idea chiave dell'algoritmo è ricondurre $1/\text{chain}/\sum w_j C_j$ al problema di sequenziare catene non-interrompibili, in modo da utilizzare il Lemma 1.2.

Definizione 1.3 Data una catena $1 \rightarrow 2 \rightarrow \dots \rightarrow k$ definiamo coefficiente ρ della catena il seguente rapporto:

$$\rho(1, \dots, k) = \frac{\sum_{j=1}^{l^*} w_j}{\sum_{j=1}^{l^*} p_j} = \max_{1 \leq l \leq k} \left(\frac{\sum_{j=1}^l w_j}{\sum_{j=1}^l p_j} \right)$$

Esempio

job	1	2	3	4
p_j	3	4	2	6
w_j	10	4	17	8



$$\rho(1, \dots, 4) = \max_{1 \leq l \leq 4} \left(\frac{\sum_{j=1}^l w_j}{\sum_{j=1}^l p_j} \right) = \left\{ \frac{10}{3}, \frac{14}{7}, \frac{31}{9}, \frac{39}{15} \right\}$$

$$l^* = 3$$

Proprietà del coefficiente ρ

Proprietà 1.4 Sia l^* il primo job della catena che determina il coefficiente $\rho(1, \dots, k)$ allora per qualunque $1 \leq u < l^*$ risulta:

$$\frac{\sum_{j=u+1}^{l^*} w_j}{\sum_{j=u+1}^{l^*} p_j} > \frac{\sum_{j=1}^u w_j}{\sum_{j=1}^u p_j}$$

Dimostrazione

Per definizione:

$$\frac{\sum_{j=1}^{l^*} w_j}{l^*} > \frac{\sum_{j=1}^u w_j}{u}$$
$$\sum_{j=1}^{l^*} p_j > \sum_{j=1}^u p_j$$

da cui:

$$p_1 \sum_{j=1}^{l^*} w_j + \dots + p_u \sum_{j=1}^{l^*} w_j > p_1 \sum_{j=1}^u w_j + \dots + p_{l^*} \sum_{j=1}^u w_j$$

$$p_1 \sum_{j=u+1}^{l^*} w_j + \dots + p_u \sum_{j=u+1}^{l^*} w_j > p_{u+1} \sum_{j=1}^u w_j + \dots + p_{l^*} \sum_{j=1}^u w_j$$

$$\left(\sum_{j=1}^u p_j \right) \left(\sum_{j=u+1}^{l^*} w_j \right) > \left(\sum_{j=u+1}^{l^*} p_j \right) \left(\sum_{j=1}^u w_j \right)$$



Proprietà dello schedule ottimo

Lemma 1.5 Si consideri una generica catena $(1, \dots, k)$ e sia l^* il primo job che determina il suo coefficiente $\rho(1, \dots, k)$. Allora esiste uno schedule ottimo che processa i job $1, \dots, l^*$ consecutivamente.

Dimostrazione. (per contraddizione) Assumiamo che in una sequenza ottima la sequenza $1, \dots, l^*$ sia interrotta da un job $v \notin (1, \dots, k)$, cioè, contenga la sottosequenza

(S) $1, \dots, u, v, u+1, \dots, l^*$

Proprietà dello schedule ottimo

(**S**) $1, \dots, u, \mathbf{v}, u+1, \dots, l^*$.

Consideriamo le sottosequenze:

(**S'**) $\mathbf{v}, 1, \dots, u, u+1, \dots, l^*$

(**S''**) $1, \dots, u, u+1, \dots, l^*, \mathbf{v}$

Mostriamo che per almeno una fra **S'** e **S''** il tempo di completamento è non superiore a quello di **S**.

Dimostrazione

- Applicando il Lemma 1.2 alle catene (v) e $(1, \dots, u)$ si ha che se il valore $(\sum w_j C_j)$ di \mathbf{S} è inferiore a quello di \mathbf{S}' , allora:

$$\frac{w_v}{p_v} < \frac{w_1 + w_2 + \dots + w_u}{p_1 + p_2 + \dots + p_u}$$

- Applicando il Lemma 1.2 alle catene (v) e $(u+1, \dots, l^*)$ si ha che se il valore $(\sum w_j C_j)$ di \mathbf{S} è inferiore a quello di \mathbf{S}'' , allora:

$$\frac{w_v}{p_v} > \frac{w_{u+1} + w_{u+2} + \dots + w_{l^*}}{p_{u+1} + p_{u+2} + \dots + p_{l^*}}$$

Dimostrazione

- Per la Proprietà 1.4 risulta inoltre:

$$\frac{w_{u+1} + w_{u+2} + \dots + w_{l^*}}{p_{u+1} + p_{u+2} + \dots + p_{l^*}} > \frac{w_1 + w_2 + \dots + w_u}{p_1 + p_2 + \dots + p_u}$$

- Quindi, se **S** è meglio di **S''**, allora:

$$\frac{w_v}{p_v} > \frac{w_{u+1} + w_{u+2} + \dots + w_{l^*}}{p_{u+1} + p_{u+2} + \dots + p_{l^*}} > \frac{w_1 + w_2 + \dots + w_u}{p_1 + p_2 + \dots + p_u}$$

Contraddizione (avendo assunto **S** meglio di **S'**). Lo stesso argomento si applica quando la catena è interrotta da molteplici job.



Algoritmo

I due lemmi precedenti sono il fondamento di un algoritmo polinomiale:

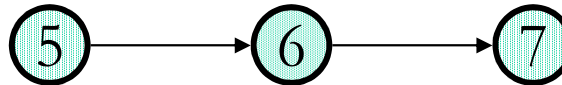
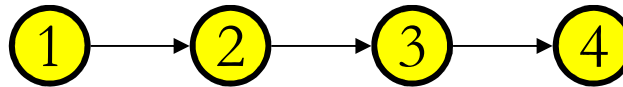
Algoritmo 1.6

In ogni istante in cui la macchina è libera, seleziona fra le rimanenti catene quella con il massimo coefficiente ρ e la processa senza interruzione fino al primo job che definisce ρ (incluso)

L'algoritmo ha complessità $O(n^2)$

Esempio

job	1	2	3	4	5	6	7
w_j	6	18	12	8	8	17	18
p_j	3	6	6	5	4	8	10



step1.

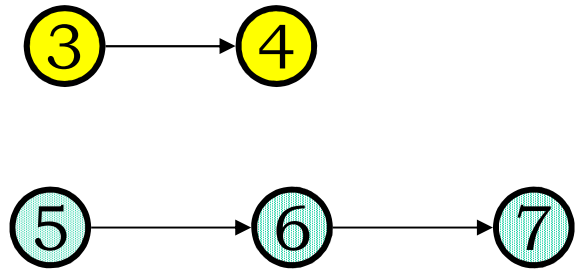
$$\rho(1,2,3,4) = (6+18)/(3+6) = 24/9, \bar{t}^*=2$$

$$\rho(5,6,7) = (8+17)/(4+8) = 25/12, \bar{t}^*=6$$



Esempio

job	1	2	3	4	5	6	7
w_j	6	18	12	8	8	17	18
p_j	3	6	6	5	4	8	10



step2.

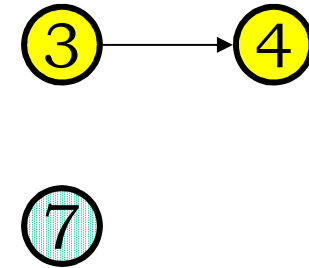
$$\rho(3,4) = 12/6, l^*=3$$

$$\rho(5,6,7) = (8+17)/(4+8) = 25/12, l^*=6$$

1	2	5	6
---	---	---	---

Esempio

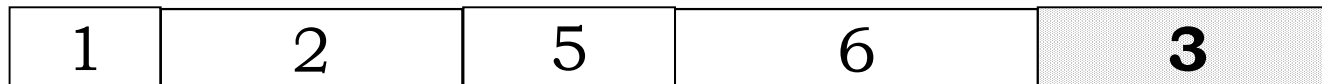
job	1	2	3	4	5	6	7
w_j	6	18	12	8	8	17	18
p_j	3	6	6	5	4	8	10



step3.

$$\rho(3,4) = 12/6, l^*=3$$

$$\rho(7) = 18/10, l^*=7$$



Esempio

job	1	2	3	4	5	6	7
w_j	6	18	12	8	8	17	18
p_j	3	6	6	5	4	8	10

④

⑦

step4.

$$\rho(4) = 8/5, l^*=4$$

$$\rho(7) = 18/10, l^*=7$$

1	2	5	6	3	7	4
---	---	---	---	---	---	---

Release date e preemption

L'introduzione delle release date complica il problema. Nel caso in esame, il problema $1/r_j/\Sigma w_j C_j$ è NP-hard. [\[Ex1\]](#)

Richiamo. Dato un problema di ottimizzazione $P = (z, S)$ (di minimo), si definisce ***rilassamento*** di P un nuovo problema $RP = (w, \Phi)$ tale che:

- (i) $S \subseteq \Phi$
- (ii) $\forall x \in S$ risulta $w(x) \leq z(x)$

Rilassamento preemptivo

Il problema $1/r_j, prmp/\Sigma w_j C_j$ si dice rilassamento (perché lo è?) preemptivo.

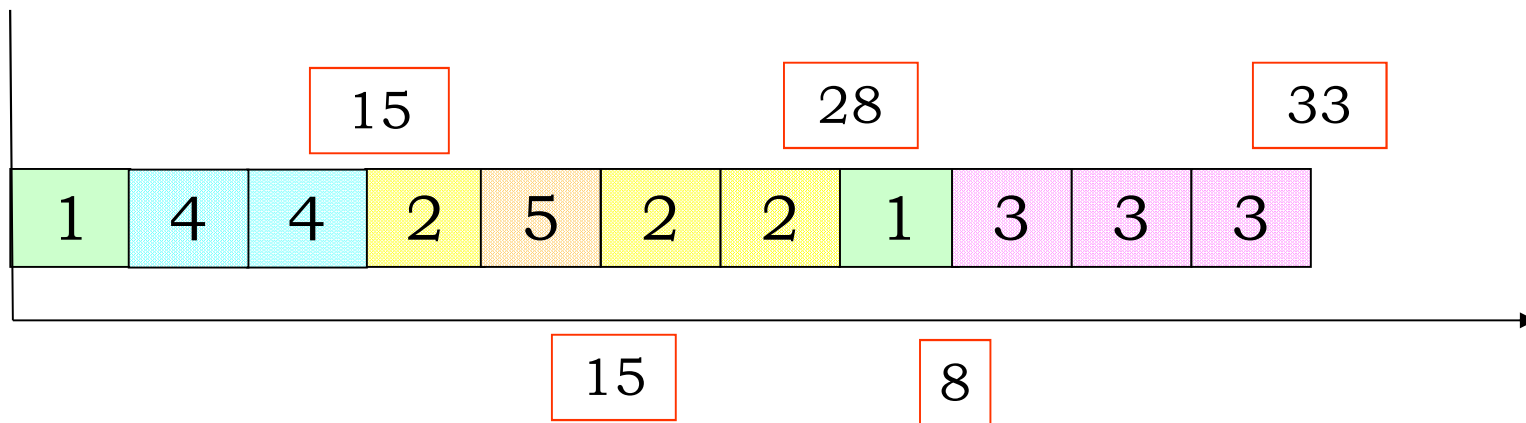
Per esso è interessante valutare il comportamento della naturale estensione della regola WSPT:

Preemptive WSPT: in ogni istante (intero) di tempo, si processa il job disponibile con il massimo rapporto

peso / tempo *residuo* di processamento

Esempio

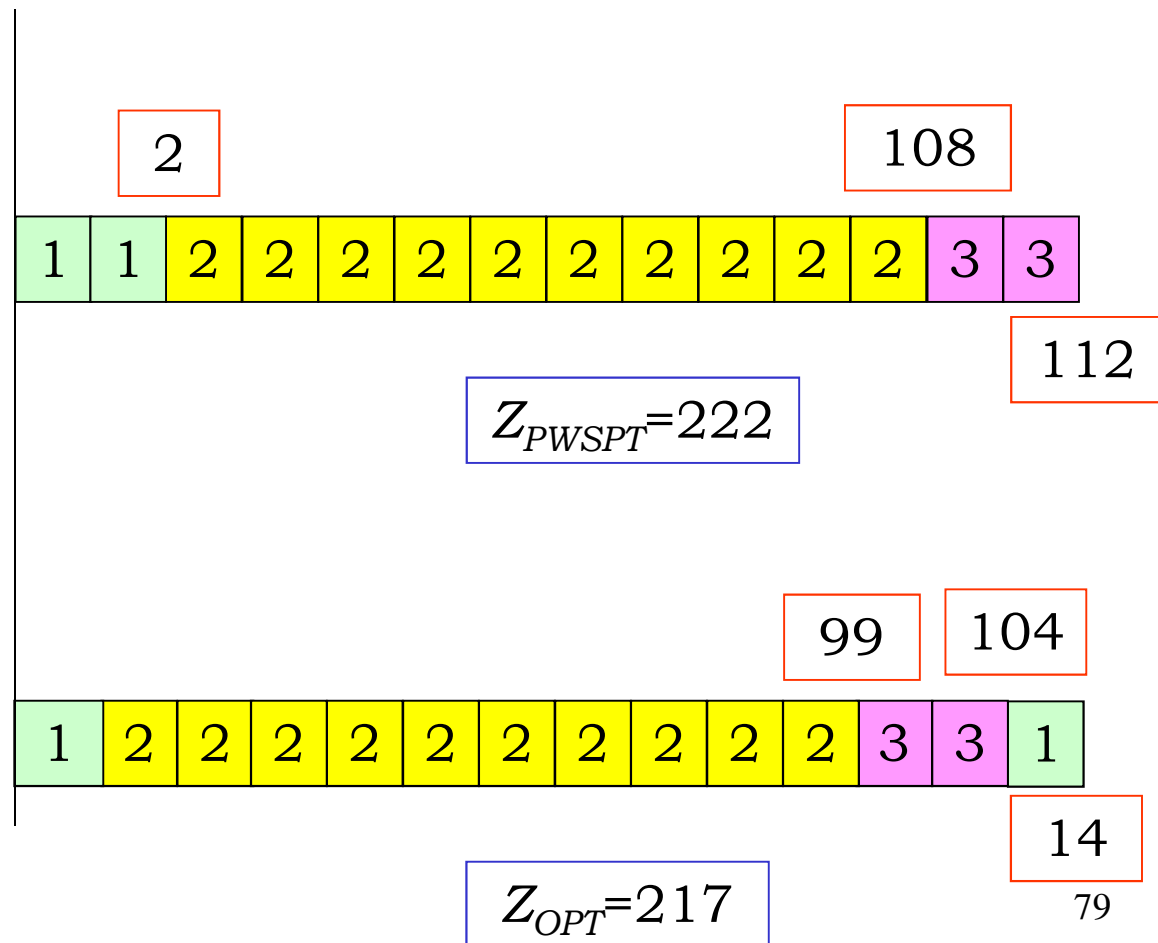
job	1	2	3	4	5
w_j	1	4	3	5	3
p_j	2	3	3	2	1
r_j	0	2	3	1	4



$$Z_{\text{PWSPT}} = 99$$

PWSPT non è ottima per $1/r_j, prmp / \sum w_j C_j$

job	1	2	3
w_j	1	9	8
p_j	2	10	2
r_j	0	1	11



Implementazione

Gli eventi significativi sono di due tipi: (i) completamento di un job e (ii) rilascio di un nuovo job. Quindi, ci sono $O(n)$ eventi.

Inizializzazione. Ordina i job per valori w_j/p_j e per r_j crescenti; etichietta job rilasciati

Iterazione:

- Sceglie il primo job j rilasciato
- calcola l'evento successivo $t_{next} = \min(t + p_j(t), r_{next})$, che richiede tempo costante
- aggiorna la lista dei job rilasciati a t_{next} , [$O(\log n)$ per ogni nuovo job inserito]

PWSPT si esegue in tempo $O(n \log n)$

Pesi unitari

Nel caso di pesi tutti unitari PWSPT schedula, in ogni istante (intero) di tempo, il job disponibile con il minimo tempo residuo di processamento (**Shortest Remaining Processing Time, SRPT**)

Si ha il seguente:

Lemma 1.6

La regola SRPT è ottima per $1/r_j, prmp/\Sigma C_j$

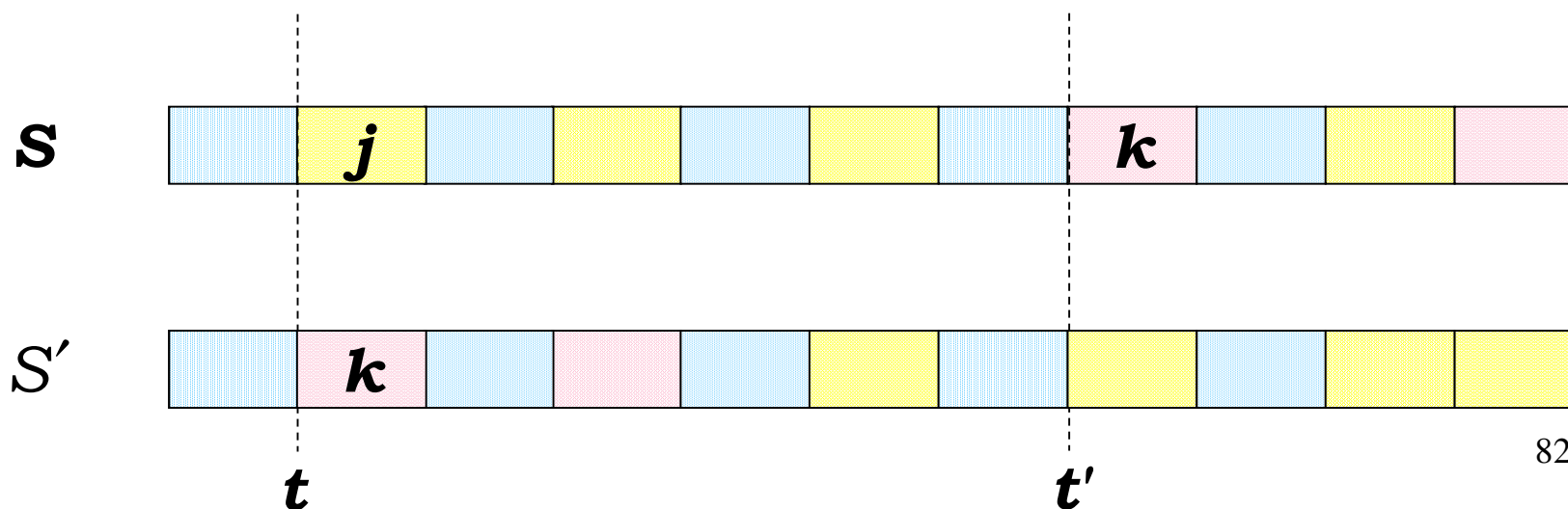
Dimostrazione. Mostriamo che, comunque preso uno schedule S che non rispetta SRPT, ne esiste uno S' che la rispetta con un tempo di completamento non peggiore.

Dimostrazione

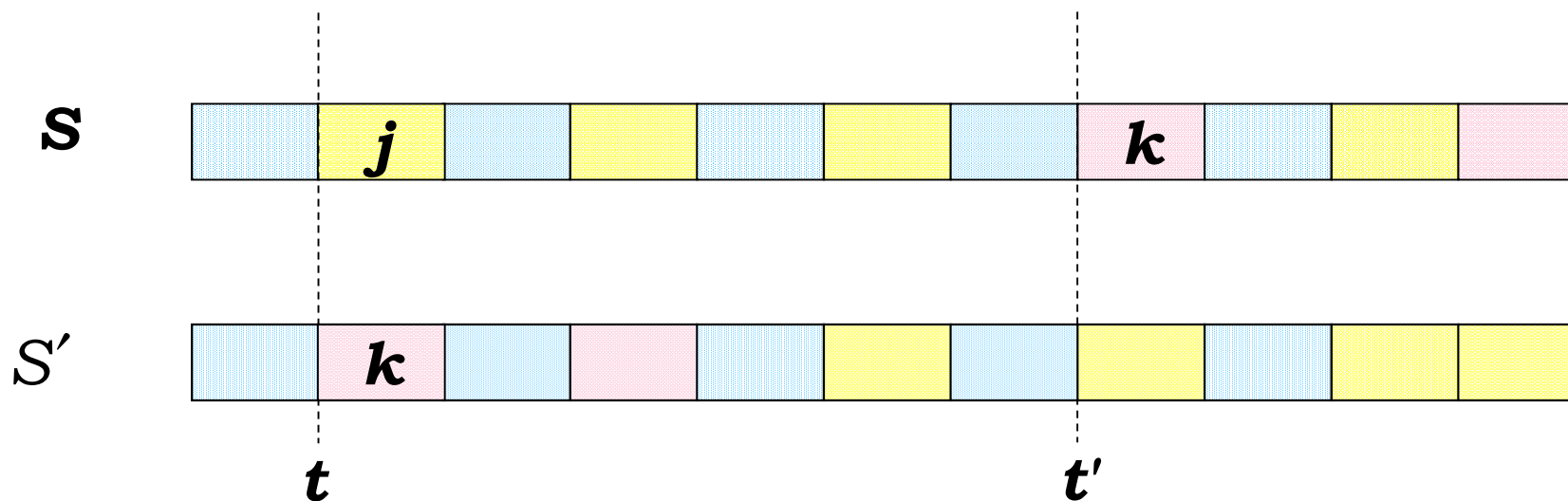
Se S non rispetta SRPT, deve esserci un istante t in cui è processata una unità del job j pur esistendo k tale che

$$p_j(t) > p_k(t)$$

Costruiamo un nuovo schedule S' in cui le rimanenti $p_k(t)$ unità del job k sono scambiate con le prime $p_k(t)$ del job j .

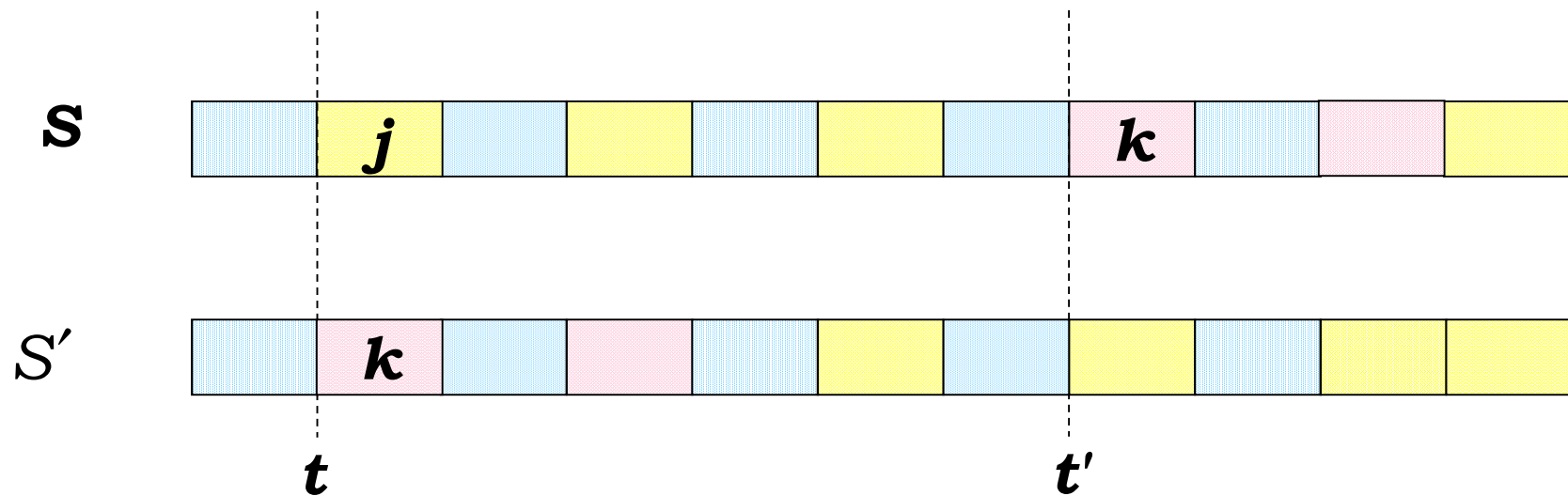


Dimostrazione



- i job diversi da j e k non subiscono alcuna variazione;
 - primo caso: $C_k(S) > C_j(S)$
 - Essendo $p_j(t) > p_k(t)$ si ha che $C_k(S') \leq C_j(S)$;
 - inoltre, per costruzione, $C_j(S') = C_k(S)$;
- Quindi: $C_k(S') + C_j(S') \leq C_k(S) + C_j(S)$

Dimostrazione



• secondo caso: $C_k(S) < C_j(S)$

– $C_k(S') \leq C_k(S)$;

– $C_j(S') = C_j(S)$;

Quindi: $C_k(S') + C_j(S') \leq C_k(S) + C_j(S)$

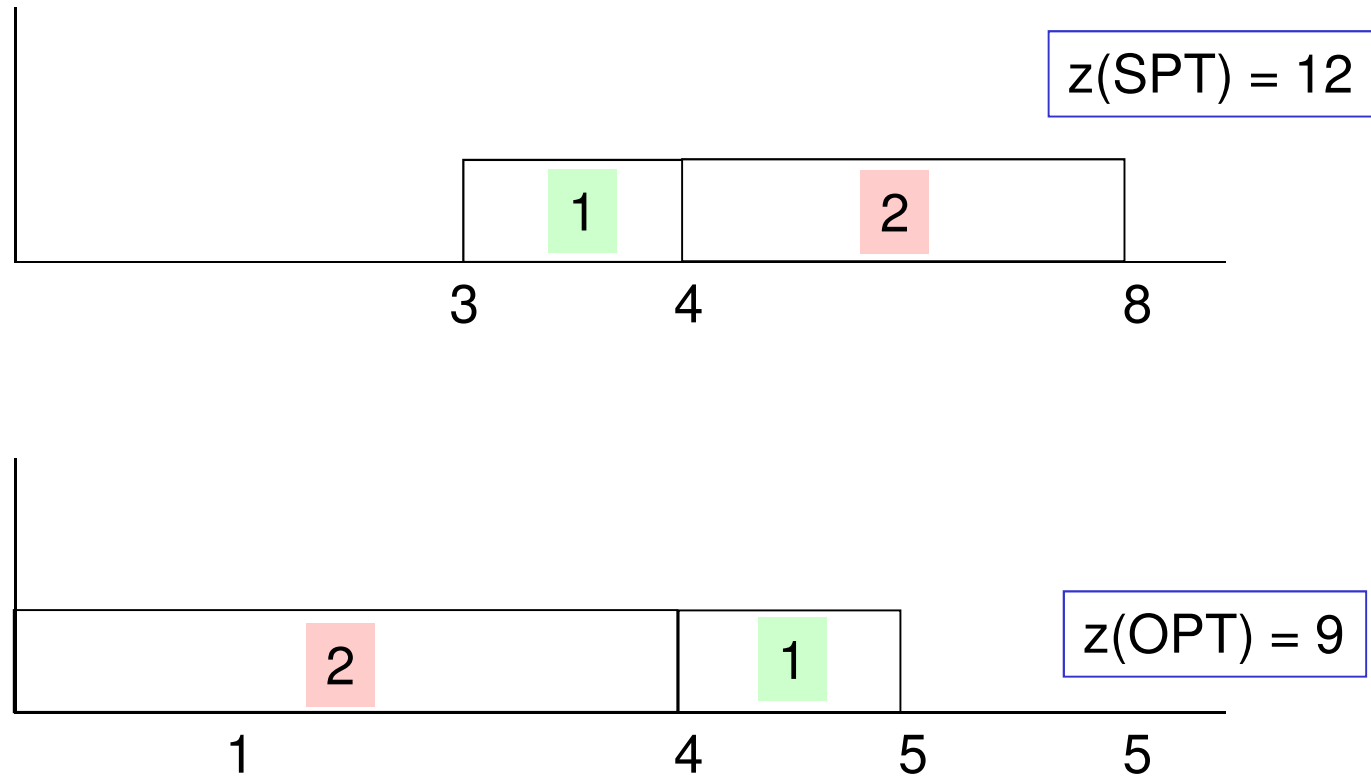


Esercizi

Esercizio 1

Dimostrare che la regola SPT non è ottima per il problema $1/r_j/\sum C_j$

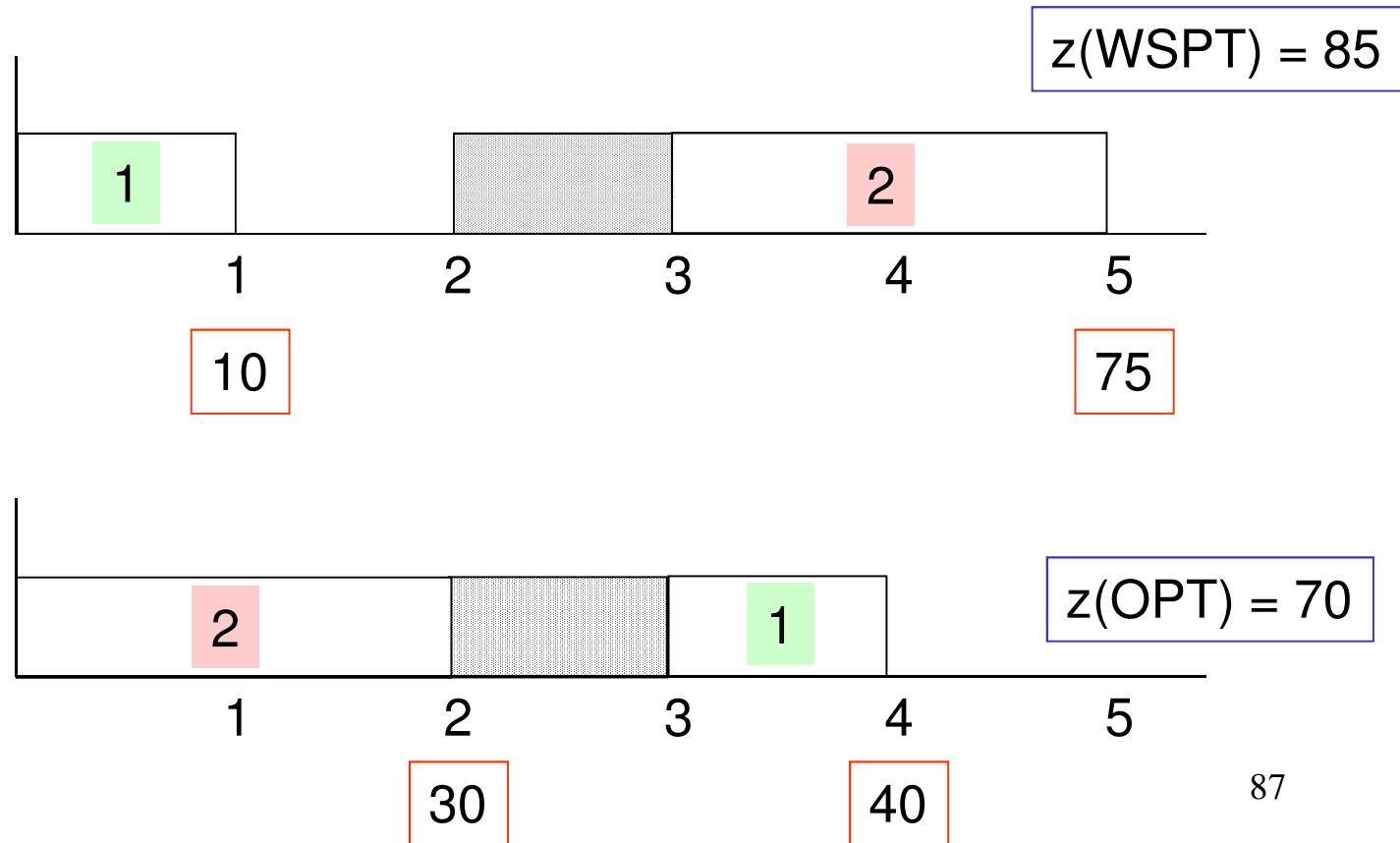
job	1	2
r_j	3	0
p_j	1	4



Esercizio 2

Dimostrare che la regola WSPT non è ottima per il problema $1/brkdown/\sum w_j C_j$

job	1	2
w_j	10	15
p_j	1	2

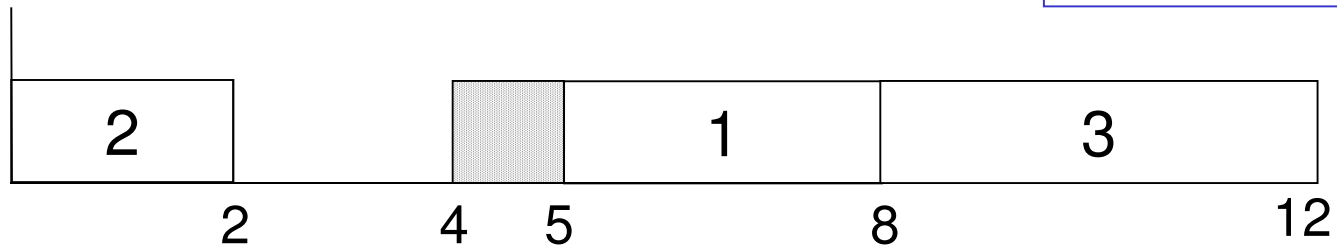


Esercizio 3

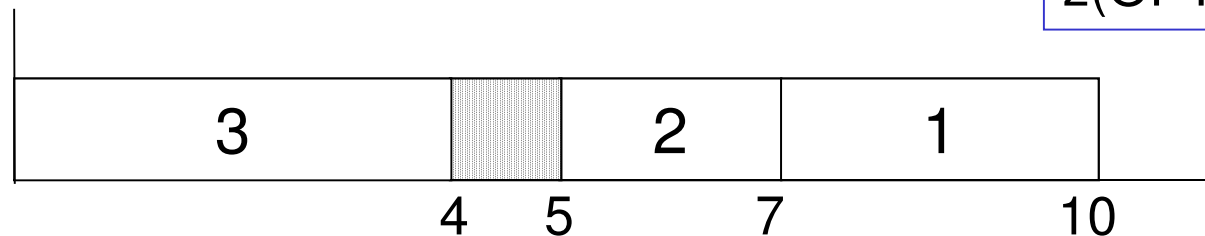
Dimostrare o confutare che la regola SPT è ottima per il problema $1/brkdown/\sum C_j$

job	1	2	3
p_j	3	2	4

$$z(\text{SPT}) = 22$$



$$z(\text{OPT}) = 21$$



1.3 Problemi min-max (Massima Lateness L_{max})

1/prec/h_{max}

Forma della funzione obiettivo:

$$\mathbf{h}_{max} = \mathbf{max} (\mathbf{h}_1(\mathbf{C}_1), \dots, \mathbf{h}_n(\mathbf{C}_n))$$

$h_j(C_j)$ è una arbitraria funzione non decrescente di C_j

Esempi:

$$\begin{array}{l} h_j(C_j) = C_j - d_j = L_j \quad \Rightarrow \quad h_{max} = L_{max} \\ h_j(C_j) = \max(0, L_j) = T_j \quad \Rightarrow \quad h_{max} = T_{max} \end{array}$$

Precedenze: G_P generico grafo aciclico.

Algoritmo di *Lawler*

Dato che le soluzioni ottime sono nondelay, l'ultimo job termina all'istante $C_{\max} = \sum_{j=1}^n p_j$ indipendentemente dallo schedule

Costruisce lo schedule a partire dal fondo (*backward dynamic programming*)

- **J** job già schedulati, processati nell'intervallo

$$[C_{\max} - \sum_{j \in J} p_j, C_{\max}]$$

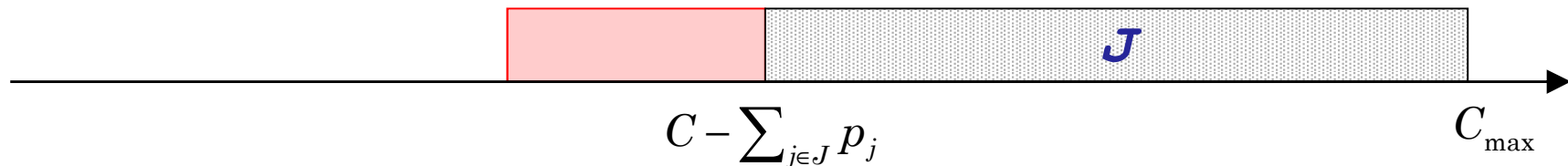
- **J^c** = $\{1, \dots, n\} \setminus J$

- **J'** job schedulabili immediatamente prima di J (= tutti i successori sono in J)

si osservi che $\sum_{j \in J^c} p_j = C_{\max} - \sum_{j \in J} p_j$

Algoritmo di *Lawler*

posizione corrente



Inizializzazione:

$J = \emptyset$, $J^c = \{1, \dots, n\}$, J' insieme dei job privi di successori

Loop: while ($J^c \neq \emptyset$)

Schedula nella **posizione corrente** il job j^* tale che

$$h_{j^*}(\sum_{j \in J^c} p_j) = \min_{j \in J'} (h_j(\sum_{j \in J^c} p_j))$$

$J := J \cup \{j^*\}$, $J^c := J^c \setminus \{j^*\}$, aggiorna J'

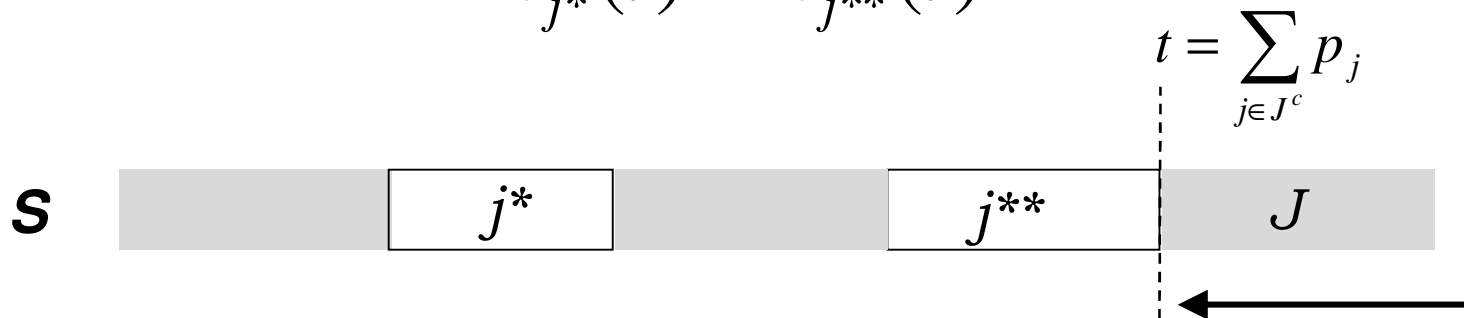
Endloop.

Correttezza

Teorema 1.7 L'algoritmo di Lawler restituisce uno schedule ottimo per $1/prec/h_{max}$

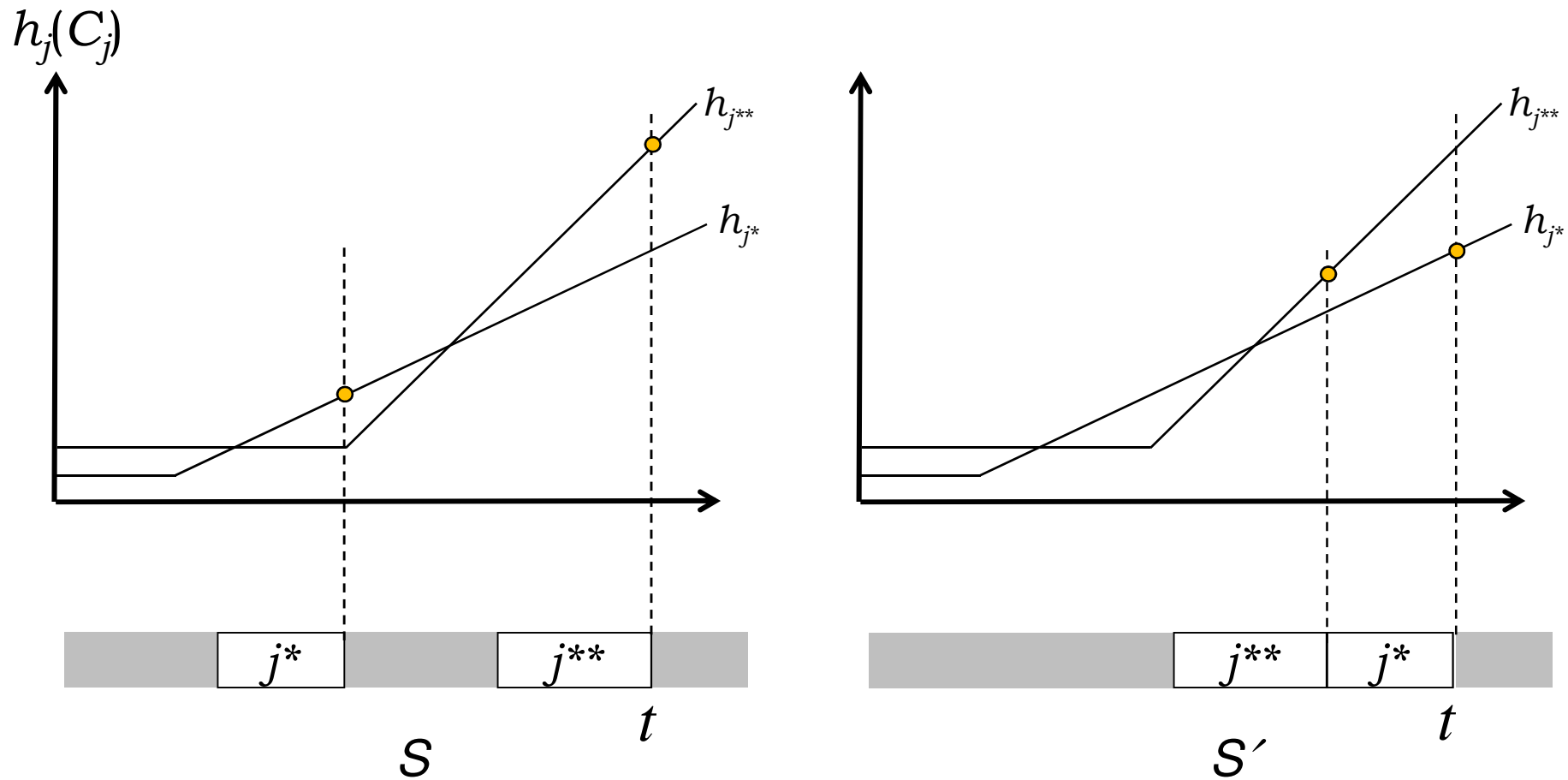
Dimostrazione. (Per contr.) Sia S una sequenza ottima per cui, ad una generica iterazione, è selezionato il job $j^{**} \in J'$ ma esiste $\exists j^*$ **schedulabile** tale che

$$h_{j^*}(t) < h_{j^{**}}(t)$$



Quindi, j^* è schedulato prima di j^{**}

Dimostrazione (continua)



Consideriamo un nuovo schedule S' ottenuto da S spostando il job j^{**} subito dopo j^* . [L'unico job che peggiora è j^*]

Correttezza

$$h'_{j^*}(t) = h_{j^*}(t) < h_{j^{**}}(t)$$



$$h'_{\max} = \max\{h'_{j^*}(t), \max_{j \neq j^*}\{h'_j(C'_j)\}\} \leq \max\{h_{j^{**}}(t), \max_{j \neq j^*}\{h'_j(C'_j)\}\} \leq$$

$$\leq \max\{h_{j^{**}}(t), \max_{j \neq j^*}\{h_j(C_j)\}\} = h_{\max}$$

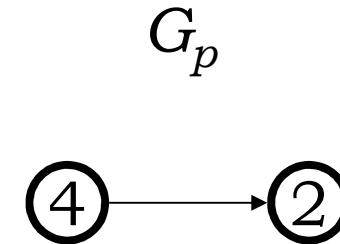
$$C'_j \leq C_j$$

Quindi S' meglio di S , contraddizione.



Esempio

job	1	2	3	4
p_j	3	4	2	6
h_j	10	$1+C_2$	$1.5 C_3$	$2 (C_4/5)$



Iter 1.

$$\sum_{j \in J^c} p_j = 15$$

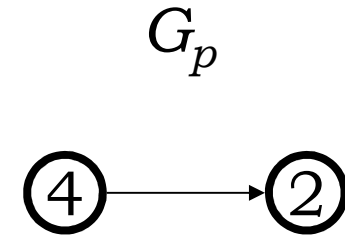
J	\emptyset
J^c	{1,2,3,4}
J'	{1,2,3}

job	1	2	3
costo	10	16	22.5



Esempio

job	1	2	3	4
p_j	3	4	2	6
h_j	10	$1+C_2$	$1.5 C_3$	$2 (C_4/5)$

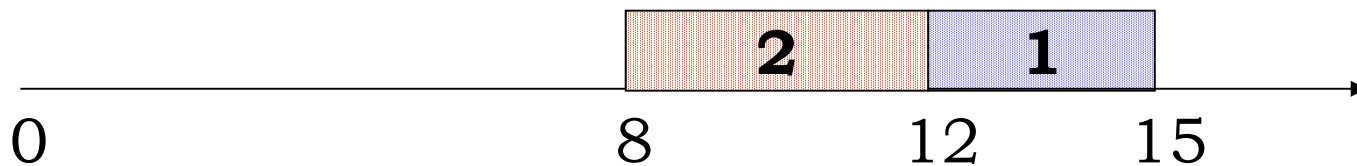


Iter 2.

$$\sum_{j \in J^c} p_j = 12$$

J	{1}
J^c	{2, 3, 4}
J'	{2, 3}

job	2	3
costo	13	18



Esempio

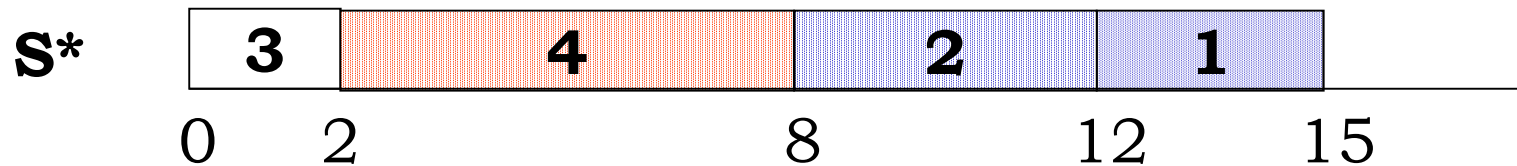
job	1	2	3	4
p_j	3	4	2	6
h_j	10	$1+C_2$	$1.5 C_3$	$2 (C_4/5)$

Iter 3.

$$\sum_{j \in J^c} p_j = 8$$

J	{1,2}
J^c	{3,4}
J'	{3,4}

job	3	4
costo	12	3.03



$$z(S^*) = \max(10, 13, 3.03, 3)$$

Algoritmo di Lawler: caso speciale

L'algoritmo di Lawler si esegue in tempo $O(n^2)$

Infatti, assumendo che il calcolo del valore delle funzioni h_j richieda tempo costante, l'algoritmo richiede n passi, ciascuno basato su n confronti

- Nel caso $1 \mid \mid L_{max}$ l'algoritmo di Lawler si specializza:

$$h_j(C_j) = C_j - d_j$$

$$\min_{j \in J'} (h_j(\sum_{j \in J^c} p_j)) = \max_{j \in J'} (d_j)$$

Equivale alla regola **EDD** (Earliest Due Date)

$$1|r_j|C_{\max}$$

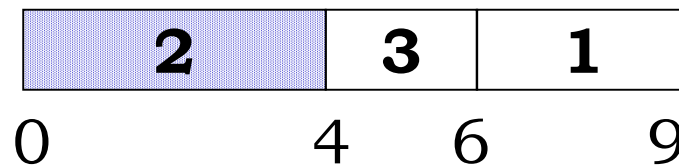
- anche il problema $1|r_j|C_{\max}$ si riduce a $1||L_{\max}$:
 - definiamo $d_j := K - r_j$, con $K > \max r_j$
 - calcoliamo uno schedule ottimo S del corrispondente problema $1||L_{\max}$
 - sia \bar{S} lo schedule ottenuto invertendo S : \bar{S} è ottimo per $1|r_j|C_{\max}$

Esercizio

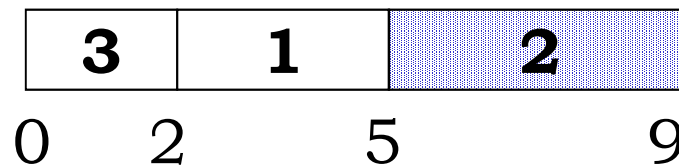
Dimostrare che la regola EDD non è ottima per il problema $1 || \sum L_j$

Controesempio:

job	1	2	3
p_j	3	4	2
d_j	6	4	5



4



1

$1/r_j/L_{max}$: complessità

Teorema 1.8 $1/r_j/L_{max}$ è NP-hard in senso forte

Dimostrazione. Riduzione polinomiale da 3-PARTITION

Istanza: interi a_1, \dots, a_{3t}, b tali che $b/4 < a_j < b/2$, $\sum_{j=1}^{3t} a_j = tb$

Problema: \exists partizione in t terne tutte di peso b ?

Costruiamo la seguente istanza di $1/r_j/L_{max}$ con $n = 4t-1$

$$r_j = jb + (j-1), \quad p_j = 1, \quad d_j = jb + j, \quad j = 1, \dots, t-1$$

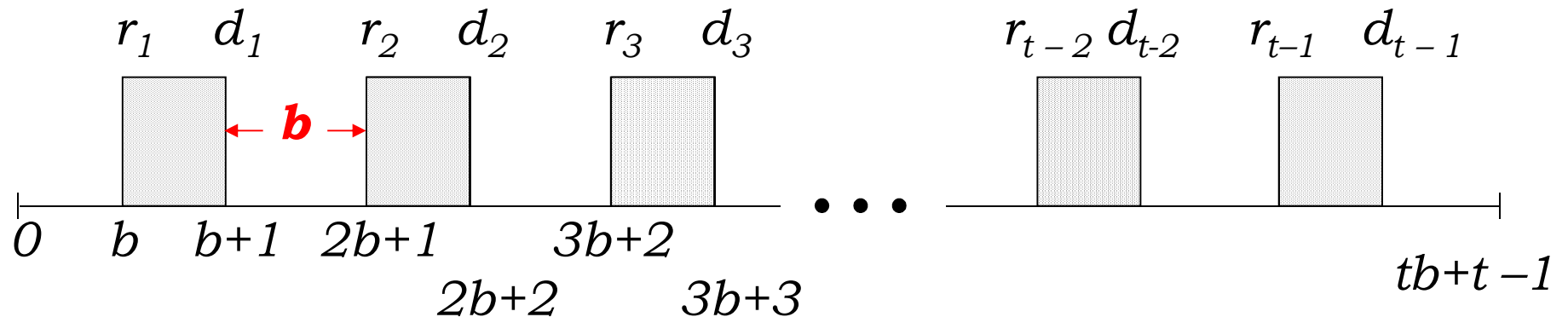
$$r_j = 0, \quad p_j = a_{j-t+1}, \quad d_j = tb + (t-1), \quad j = t, \dots, 4t-1$$

Problema (target): \exists uno schedule di valore $z \leq 0$?

$1/r_j/L_{max}$: complessità

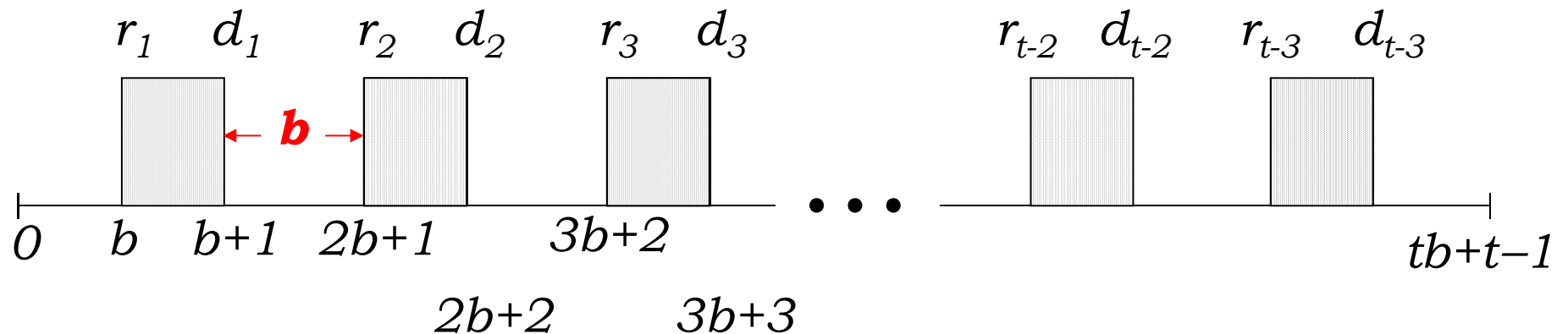
$$r_j = jb + (j-1), \quad p_j = 1, \quad d_j = jb + j, \quad j = 1, \dots, t-1$$

\exists schedule con $L_{max} \leq z = 0$ se e solo se ogni job j , $j = 1, \dots, t-1$, è processato fra r_j e $d_j = r_j + p_j$



Fissando i primi $t-1$ job “bloccanti”, rimangono **t**
intervalli di lunghezza b

$1/r_j/L_{max}$: complessità



\exists schedule con $L_{max} \leq 0$ se e solo se i restanti $3t$ job:

$$r_j = 0, p_j = a_{j-t+1}, \quad d_j = tb + (t - 1), \quad j = t, \dots, 4t-1$$

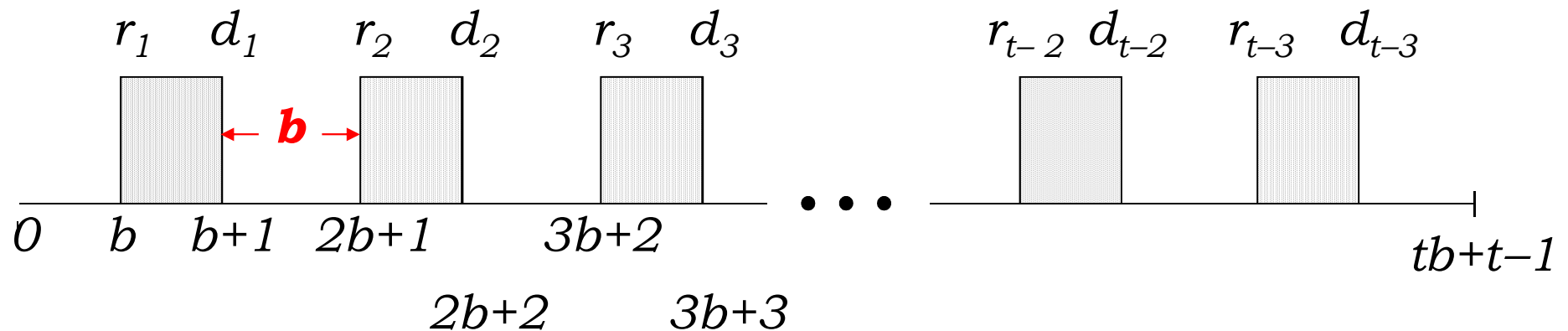
per cui vale:

$$\sum_{j=t}^{4t-1} p_j = \sum_{j=t}^{4t-1} a_{j-t+1} = tb$$

possono essere schedulati negli t intervalli di lunghezza b . 104

$1/r_j/L_{max}$: complessità

$$r_j = 0, p_j = a_{j-t+1}, \quad d_j = tb + (t-1), \quad j = t, \dots, 4t-1$$



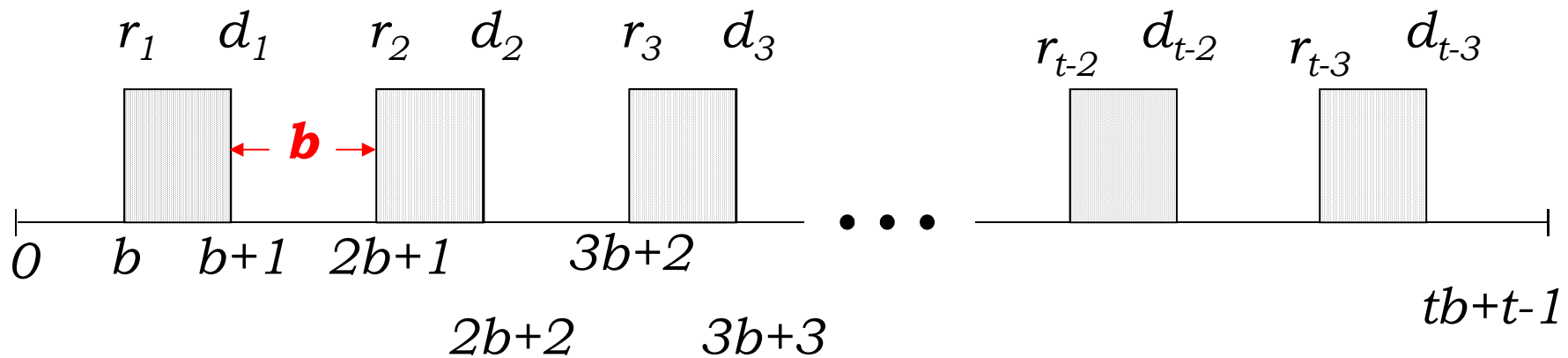
- Essendo $b/4 < a_j$, in ciascun intervallo di lunghezza b non entrano più di tre job

- essendo $a_j < b/2$ e $\sum_{j=1}^{4t-1} p_j = \sum_{j=1}^{4t-1} a_{j-t+1} = tb$

mettendo meno di tre job in un intervallo, almeno un job è schedulato in ritardo

$1/r_j/L_{max}$: complessità

$$r_j = 0, p_j = a_{j-t+1}, \quad d_j = tb + (t - 1), \quad j = t, \dots, 4t-1$$



Quindi, i job $t, \dots, 4t-1$ possono essere schedulati negli t intervalli di lunghezza b sse possono essere suddivisi in t terne di lunghezza b , cioè, sse 3-PARTITION ha soluzione

Esercizio

$A = \{27, 27, 29, 33, 33, 33, 35, 35, 35, 37, 37, 39\}$
 $b = 100$

esiste una partizione in 4 terne di peso 100 sse la seguente istanza di $1|r_j|L_{\max}$ ammette soluzione con $L_{\max} \leq 0$

job	1	2	3	4	5	6	7	8	9	10	11	12	13	14	15
r_j	100	201	302	0	0	0	0	0	0	0	0	0	0	0	0
d_j	101	202	303	403	403	403	403	403	403	403	403	403	403	403	403
p_j	1	1	1	27	27	29	33	33	33	35	35	35	37	37	39

$1/r_j, prmp/L_{max}$

Preemptive **EDD**: ad ogni istante t , si processa il job disponibile con la minima due date

$R(t) = \{j: r_j \leq t\}$ insieme dei job disponibili al tempo t

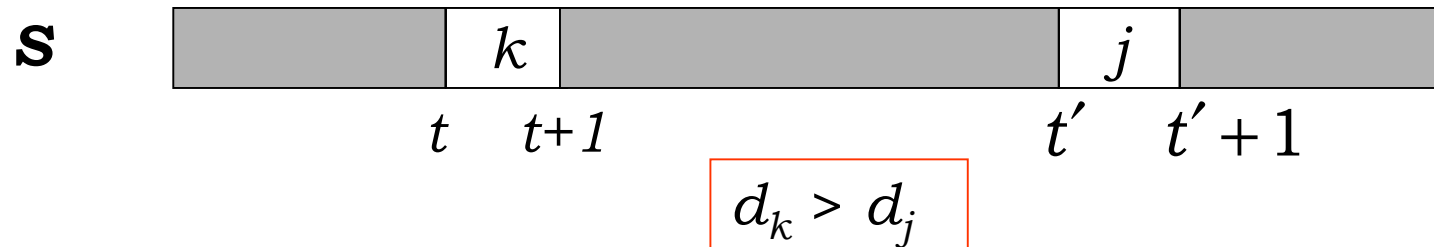
Teorema 1.9 La regola PEDD calcola una soluzione ottima del problema $1/r_j, prmp/L_{max}$.

Dimostrazione. Consideriamo uno schedule **S** che viola PEDD:

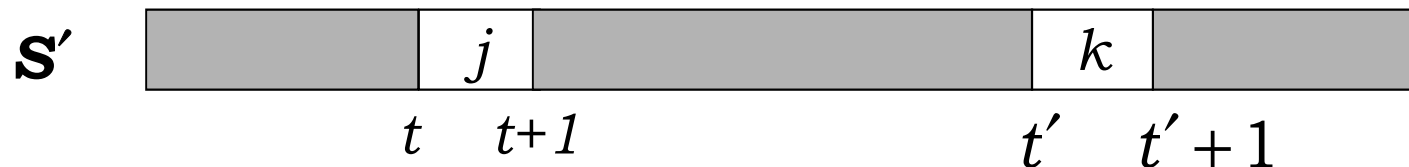
Al tempo t è schedulato un job $k \in R(t)$ per cui esiste un job $j \in R(t)$ **disponibile** e **non ancora terminato** tale che $d_k > d_j$

PEDD - correttezza

Poiché j non è terminato, \exists istante $t' > t$ in cui j è in esecuzione

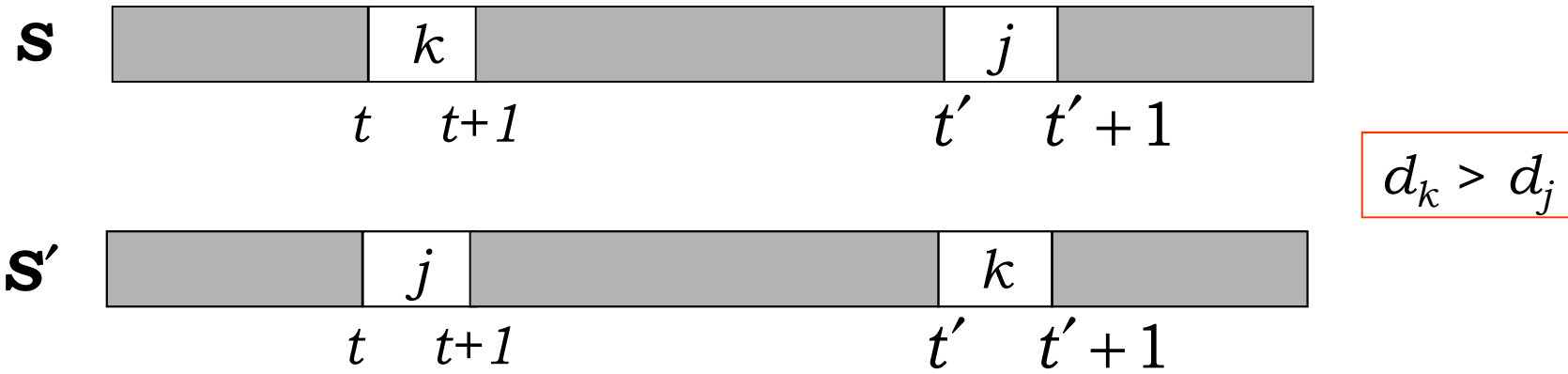


Consideriamo il nuovo schedule **S'** ottenuto da **S** scambiando j e k nei due intervalli di figura:



Il contributo dei job diversi da j e k non cambia

PEDD - correttezza



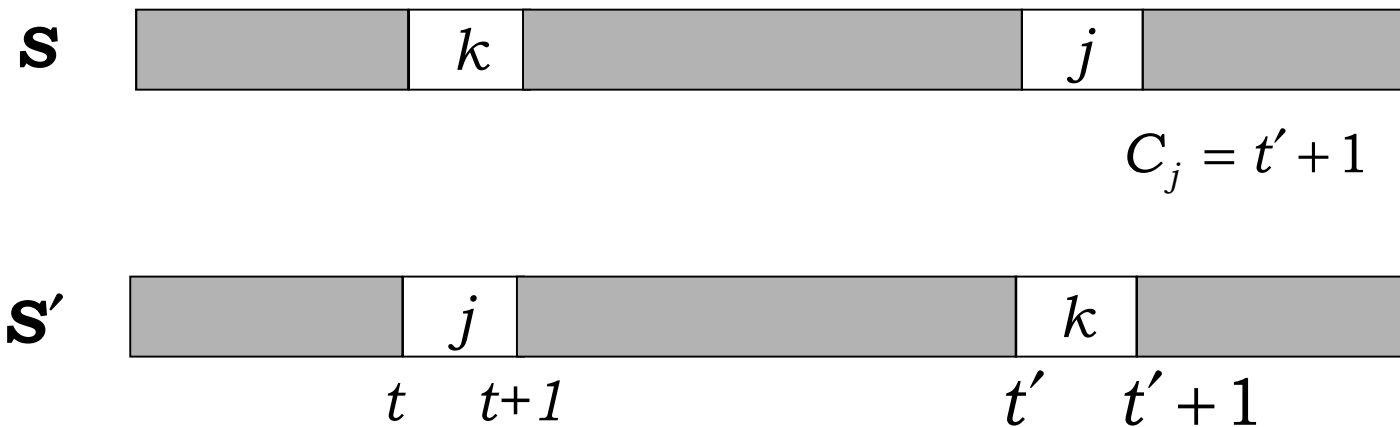
Definiamo C_j e C_k i tempi di completamento di j e k **nello schedule S**.

Dimostriamo che $L_{max}(S') \leq L_{max}(S)$. Due casi:

1. $C_j \geq t' + 1, C_k > t' + 1$
2. $C_j \geq t' + 1, C_k < t' + 1$

PEDD - correttezza

caso 1. $C_j \geq t' + 1$, $C_k > t' + 1$



Essendo $C_k > t' + 1$ il tempo di completamento di k in S' rimane inalterato; al contrario, quello di j non aumenta. Quindi, $L_{max}(S') \leq L_{max}(S)$

PEDD - correttezza

caso 2. $C_j \geq t' + 1, \quad C_k < t' + 1$



Il tempo di completamento di k aumenta fino a $t'+1$.
 Per l'ipotesi $d_k > d_j$, detta L'_k la lateness di k in S' ,
 risulta:

$$L'_k = t' + 1 - d_k < t' + 1 - d_j \leq C_j - d_j = L_j$$

PEDD - correttezza

Quindi

$$\begin{aligned} L_{\max}(S') &= \max \left\{ L'_k, \max_{i \neq k} \{ L'_i \} \right\} \leq \max \left\{ L'_k, \max_{i \neq k} \{ L_i \} \right\} \leq \\ &\leq \max \left\{ L_j, \max_{i \neq k} \{ L_i \} \right\} = L_{\max}(S) \end{aligned}$$

$$1/r_j/L_{max}$$

Algoritmo branch-and-bound

Branch-and-bound

Metodo enumerativo che applichiamo nella soluzione di problemi difficili. Un algoritmo immediato sarebbe:

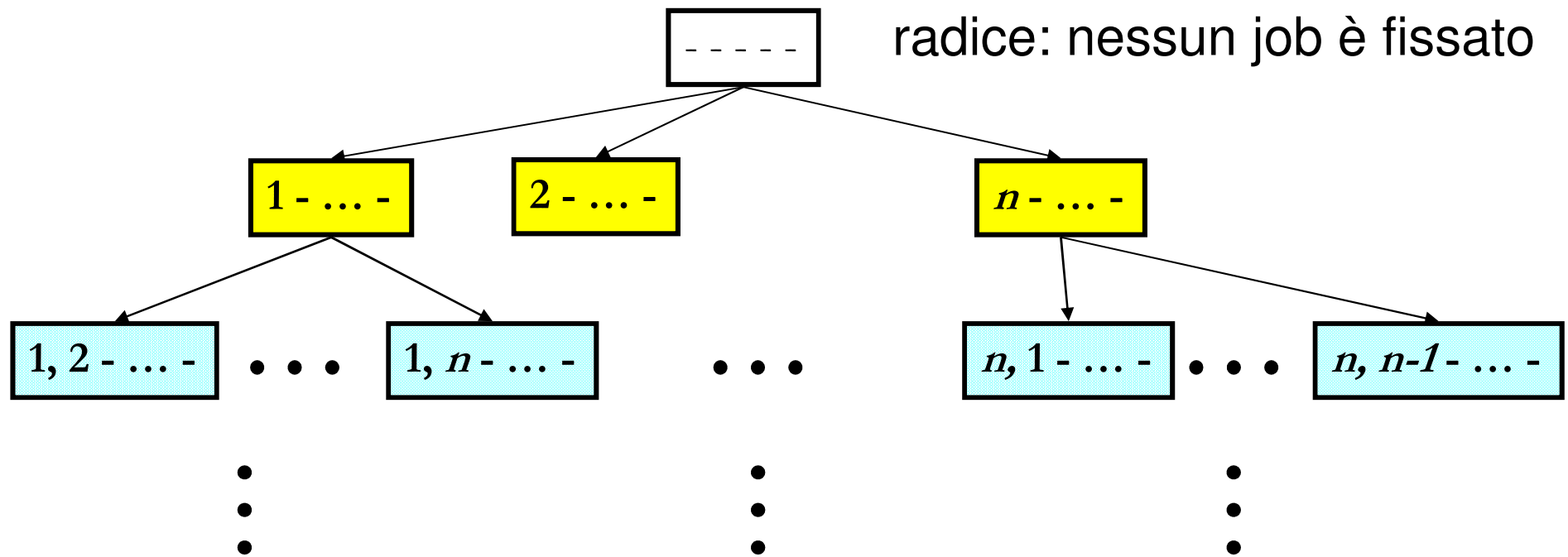
1. Enumera tutte le soluzioni ammissibili (sono in numero finito) e calcolane il costo
2. Scegli la soluzione di costo minimo

Non utilizzabile in pratica a causa del numero elevatissimo di soluzioni (dell'ordine di $n!$ per una singola macchina)

L'algoritmo branch-and-bound si prefigge di **esplorare parzialmente** l'insieme delle schedule ammissibili ma garantendo comunque un certificato di ottimalità alla terminazione

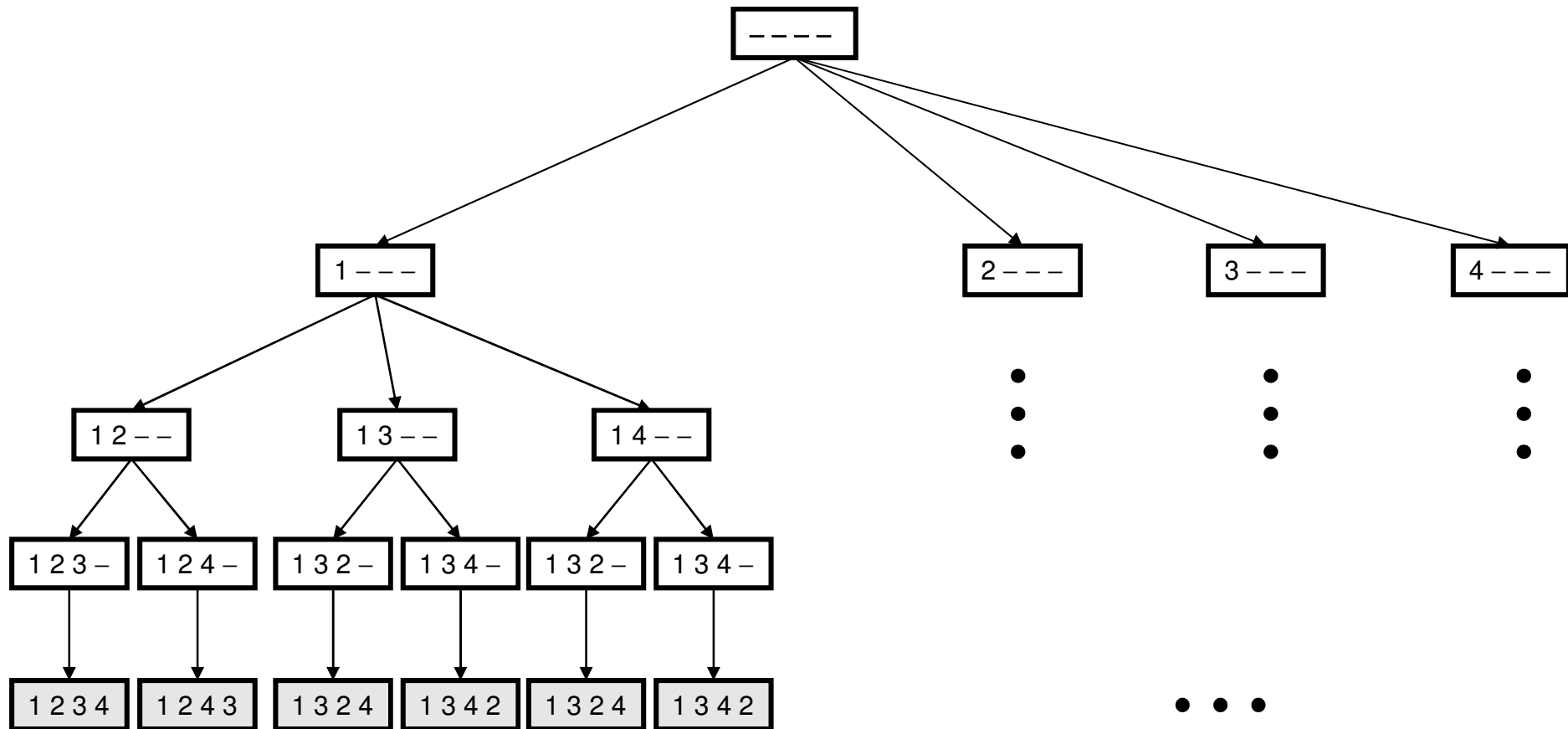
Albero di enumerazione

Al livello h dell'albero di enumerazione si fissa in tutti i modi possibili il job in posizione h



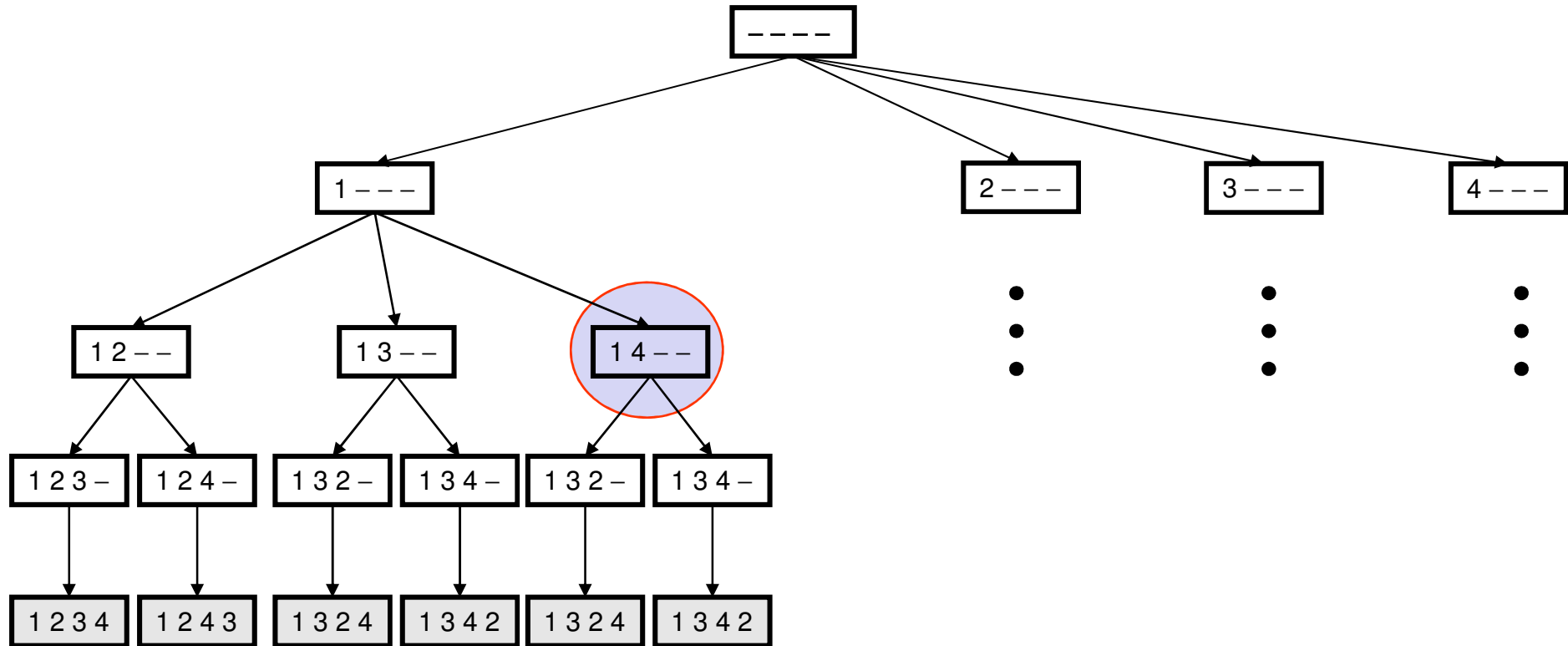
Livello n : $n!$ sottoproblemi

4 job, 1 macchina

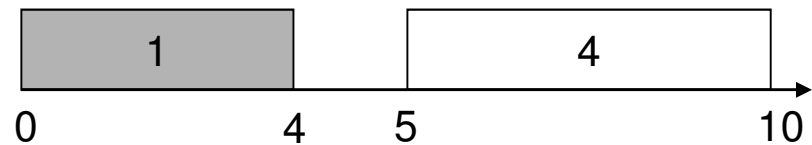


Le foglie corrispondono agli schedule ammissibili

4 job, 1 macchina



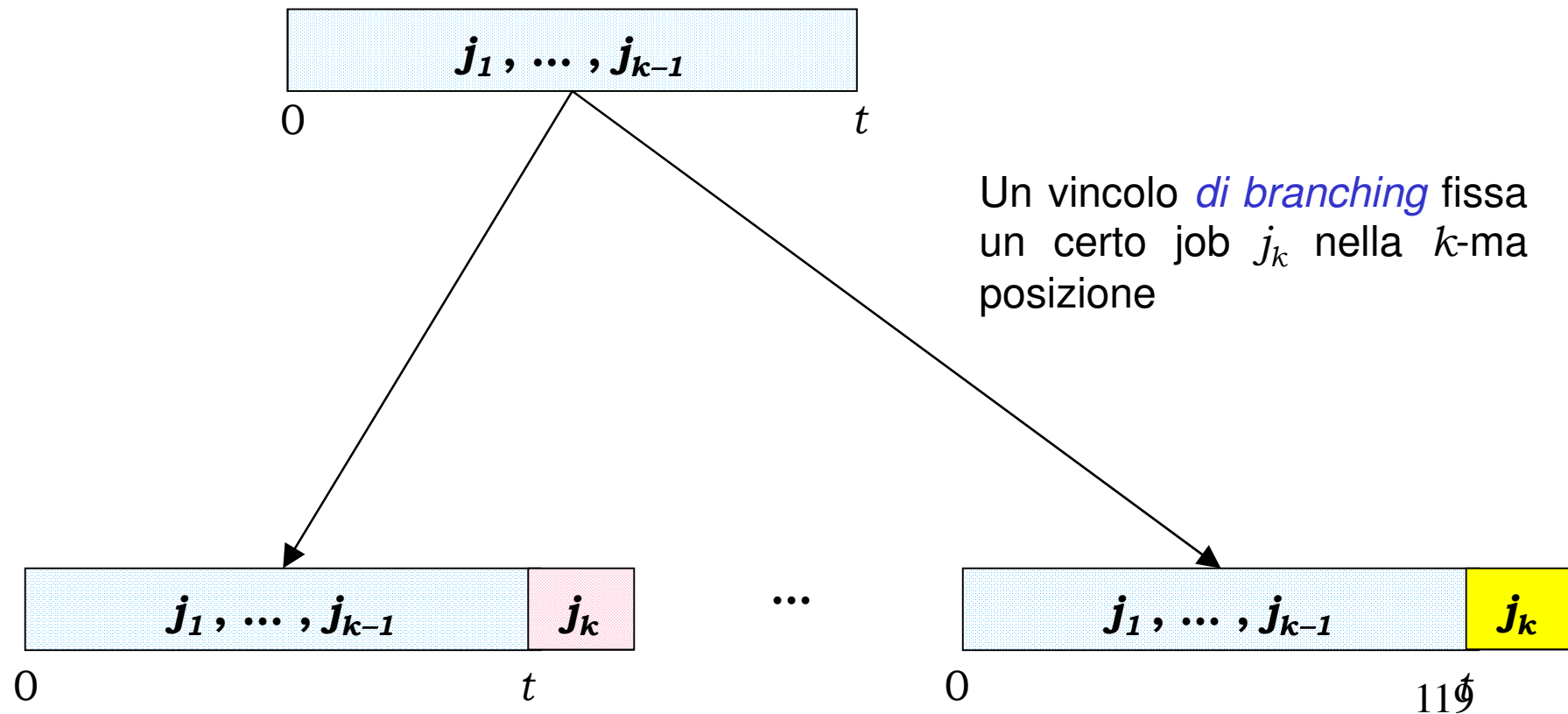
job	1	2	3	4
p_j	4	2	6	5
r_j	0	1	3	5
d_j	8	12	11	10



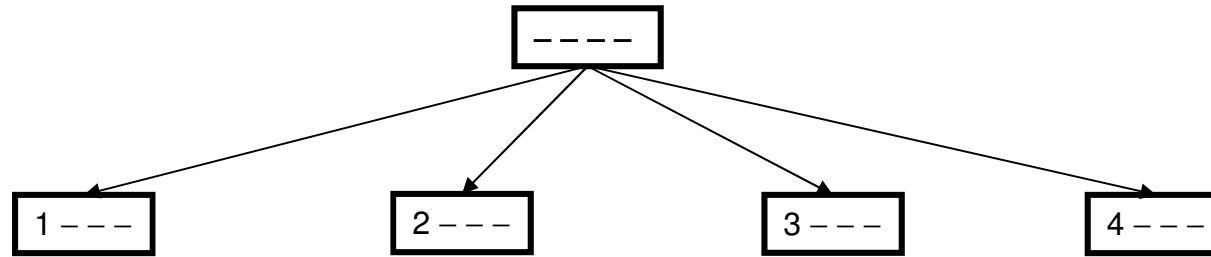
Ogni nodo non foglia corrisponde ad uno *schedule parziale*

Vincoli di branching

Un sottoproblema $S(k-1)$ al livello $k-1$ contiene l'insieme delle schedule in cui le prime $k-1$ posizioni sono assegnate



Decomposizione



Ad ogni branching si partiziona l'insieme S delle schedule ammissibile in sottoinsiemi S_i

Detto z^* il valore ottimo globale e z_i^* il valore ottimo del sottoproblema (S_i, \mathcal{N}) , $i = 1, \dots, p$.

Si ha quindi

$$z^* = \min_{i = 1, \dots, p} z_i^*$$

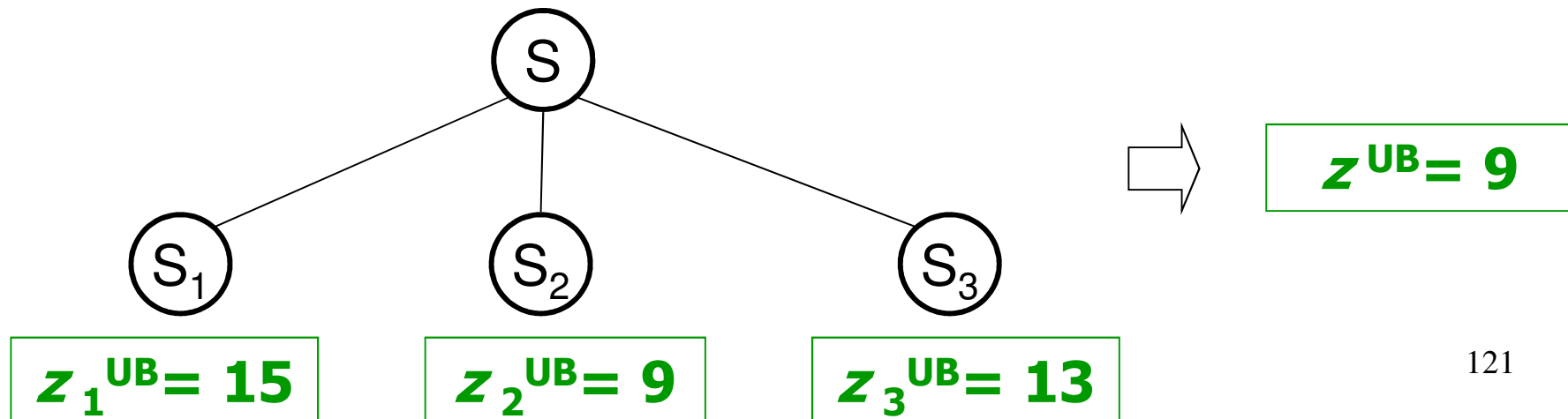
Limitazioni superiori di z^*

Sia $S = S_1 \cup S_2 \cup \dots \cup S_p$ una partizione della regione ammissibile

Il valore di un qualunque **schedule ammissibile** per S_i è un *upper bound* UB_i per il valore ottimo z^* ,

Allora

$UB = \min_i UB_i$ è un upper bound per z^* (globale)



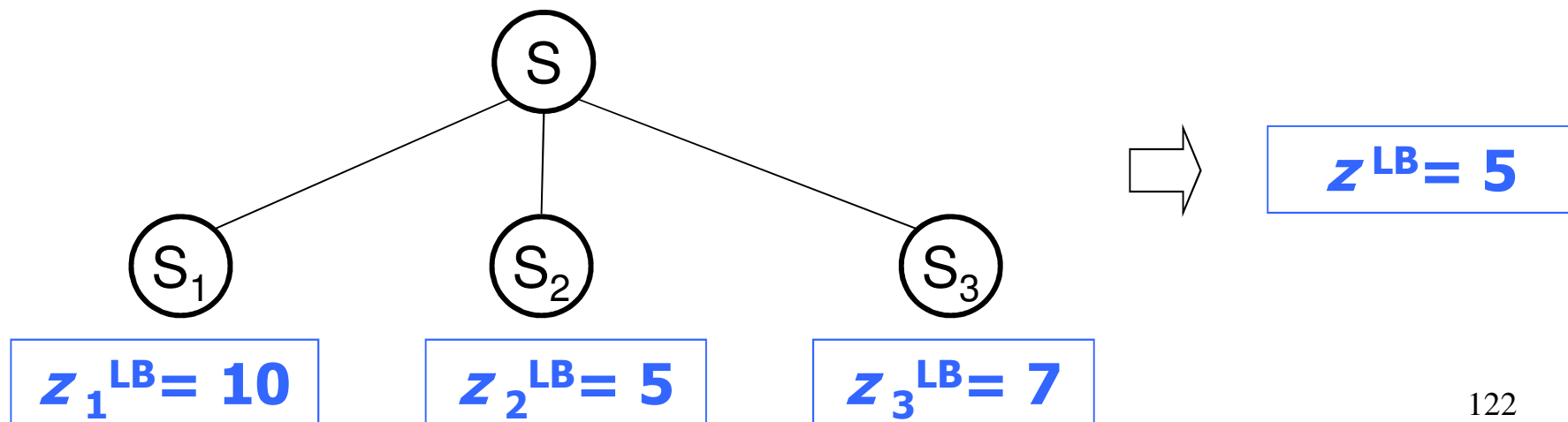
Limitazioni inferiori di z^*

Sia $S = S_1 \cup S_2 \cup \dots \cup S_p$ una partizione della regione ammissibile

Se LB_i è un lower bound per il valore ottimo z^* ,

Allora,

$LB = \min_i LB_i$ è un lower bound per z^*



Calcolo di z_i^{LB}

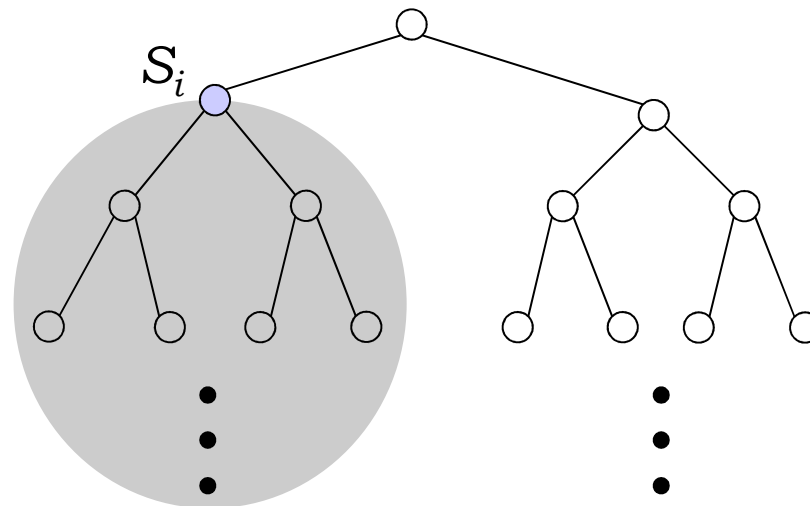
Dato un problema di ottimizzazione $P=(z, S)$ (di minimo), si definisce **rilassamento** di P un nuovo problema $RP=(w, \Phi)$ tale che:

- (i) $S \subseteq \Phi$
- (ii) $\forall x \in S$ risulta $w(x) \leq z(x)$

- Il calcolo di LB_i si effettua risolvendo **in modo esatto** un opportuno rilassamento di (S_i, \mathcal{N}) .
- La scelta del rilassamento si basa su due esigenze, spesso contrastanti:
 - o Ottenere buone approssimazioni di z_i^*
 - o Richiedere tempi di calcolo non elevati

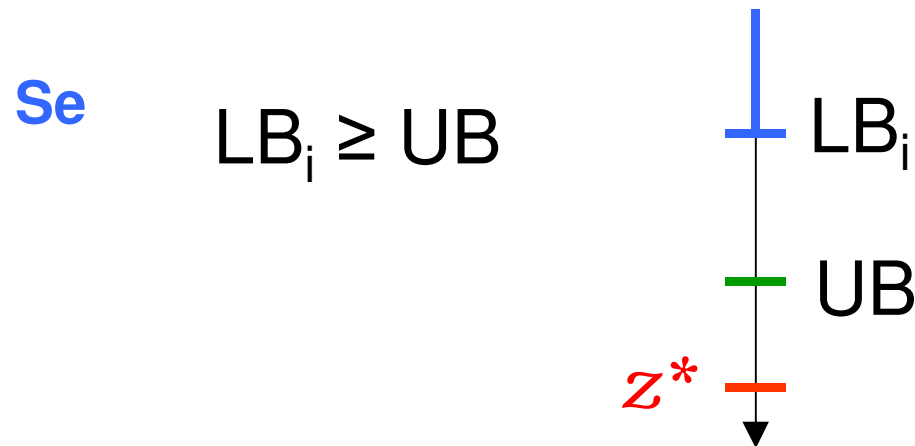
Potatura

- Il metodo branch-and-bound si basa sull'idea di ridurre il più possibile il numero di sottoproblemi “valutati”
- Diversi criteri ci permettono di “potare un sottoproblema” (S_i, γ), cioè di NON procedere all'esplorazione del sottoalbero di radice S_i



Potatura per bound

- Sia UB un **upper bound** del valore ottimo z^* corrispondente al valore di uno schedule ammissibile x
- Sia LB_i un **lower bound** per il valore ottimo z_i^*



allora S_i non contiene soluzioni ammissibili migliori di x
e il sottoproblema (S_i, γ) è **potato**

Potatura per ottimalità

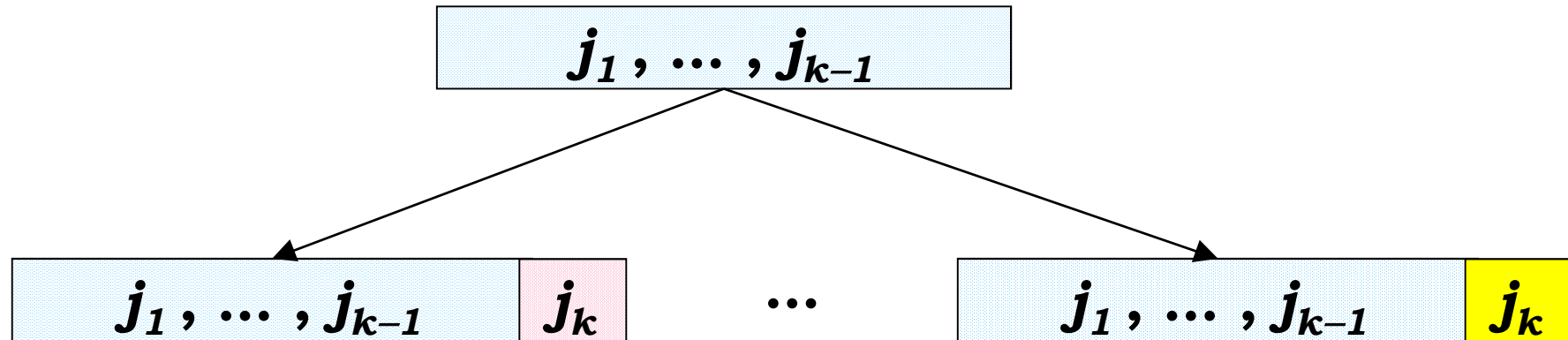
Può accadere che risolvendo il rilassamento si ottenga una soluzione ottima del sottoproblema. In altre parole, $LB_i = UB_i$

In questo caso, ovviamente, il sottoproblema non va ulteriormente suddiviso.

Se $z = w$, ogni soluzione ammissibile di RP che sia anche ammissibile per P, è anche ottima per P.

Calcolo di LB_i

- Rilassamento preemptivo: $1 / r_{j,prmp} / L_{max}$
- la regola PEDD è ottima (ed efficiente)



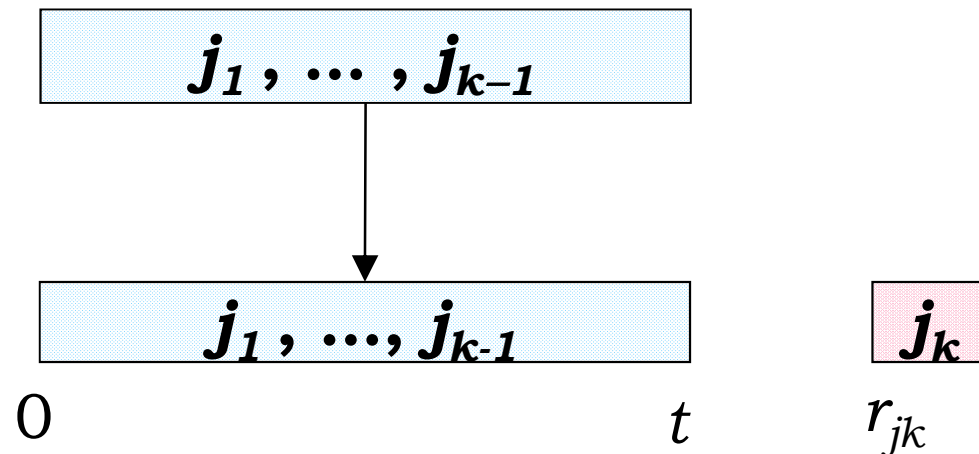
lower bound (livello k):

- eredita dal nodo padre
- ricalcola, essendo $LB_{k-1} \leq LB_k$

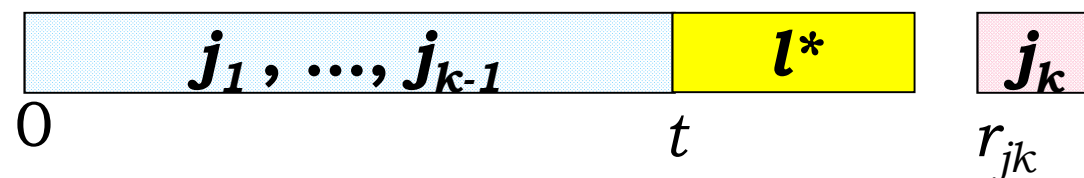
Dominanza fra sottoproblemi

Consideriamo uno schedule parziale al livello $k-1$: il sottoproblema $j_1, \dots, j_{k-1}, \mathbf{j}_k$ deve essere generato solo se:

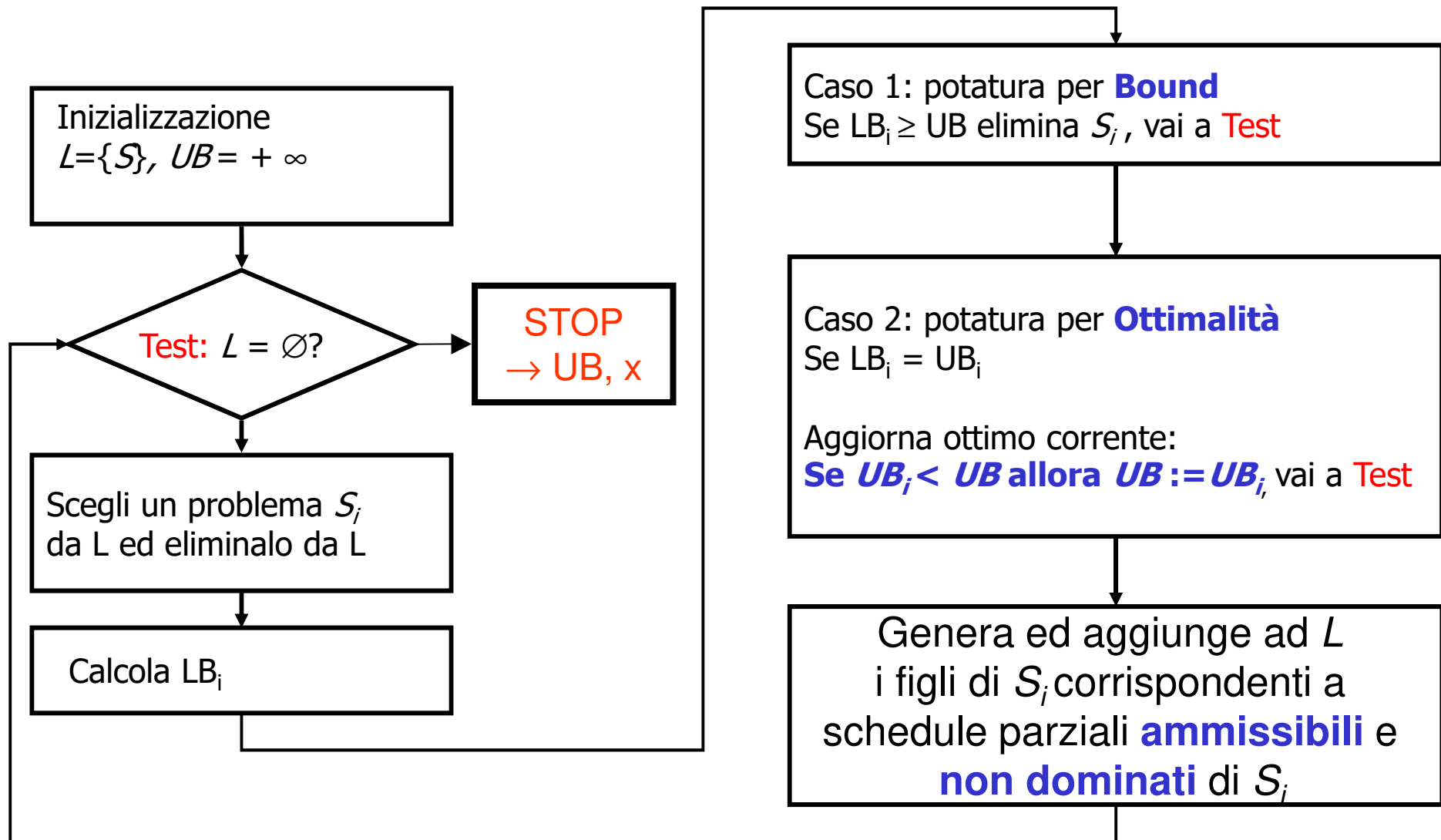
$$r_{j_k} < \min_{l \in J} (\max(t, r_l) + p_l) = \max(t, r_{l^*}) + p_{l^*}$$



altrimenti si otterrebbe un sottoproblema dominato da:

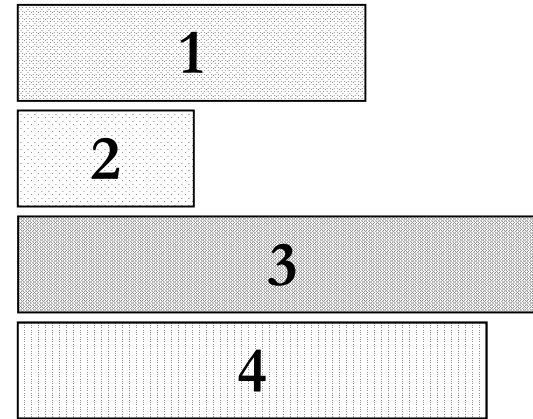


branch-and-bound (schema)

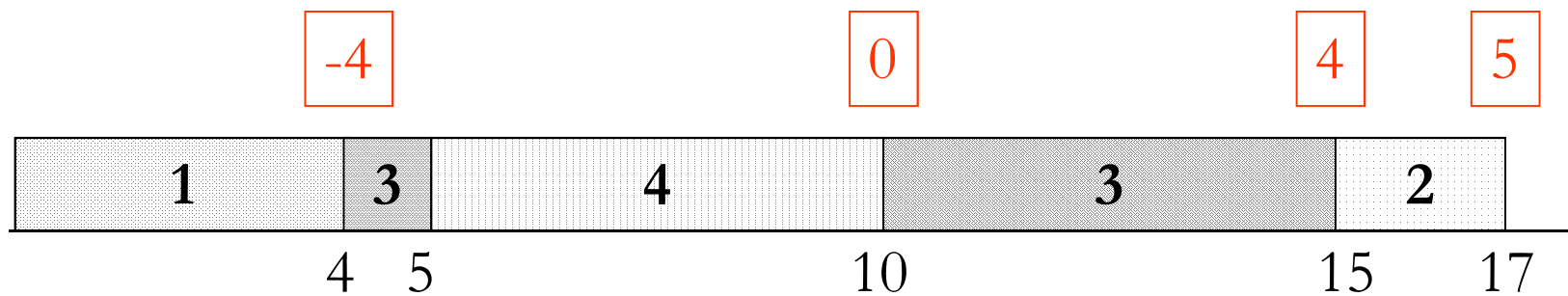


Esercizio ($1|r_j|L_{\max}$)

job	1	2	3	4
p_j	4	2	6	5
r_j	0	1	3	5
d_j	8	12	11	10



nodo radice:



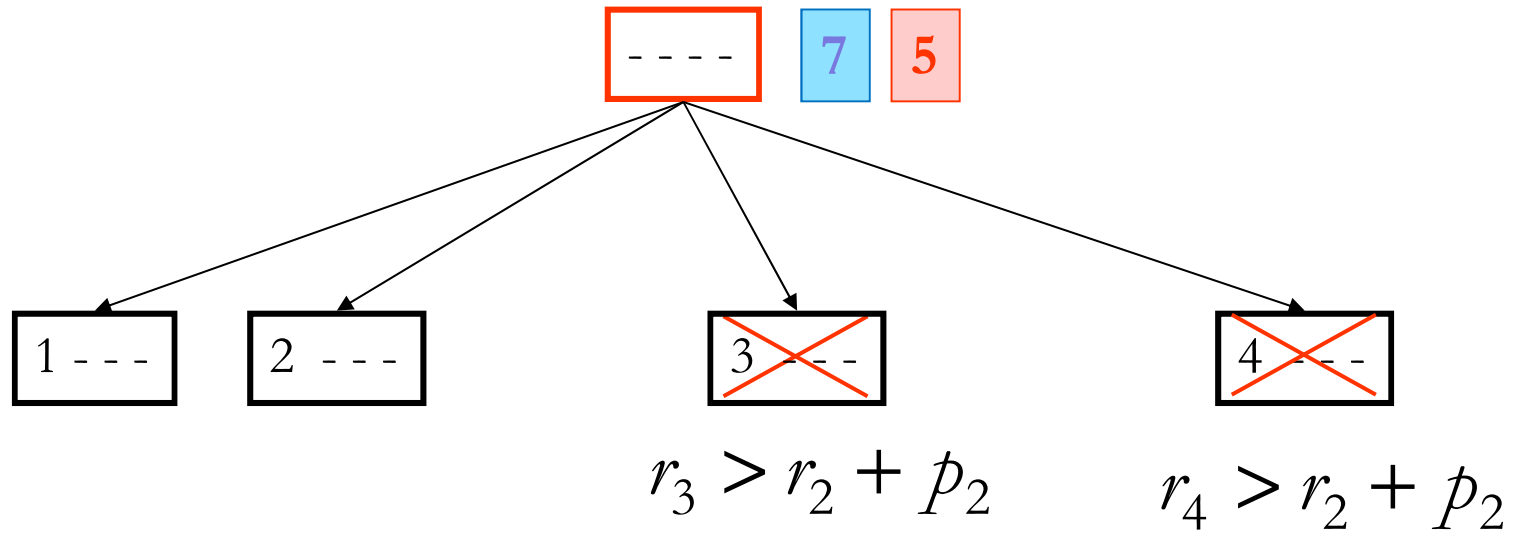
$$z^{LB}(\text{----}) = 5$$

Branching

job	1	2	3	4
p_j	4	2	6	5
r_j	0	1	3	5
d_j	8	12	11	10

ottimo corrente: (1,2,3,4)

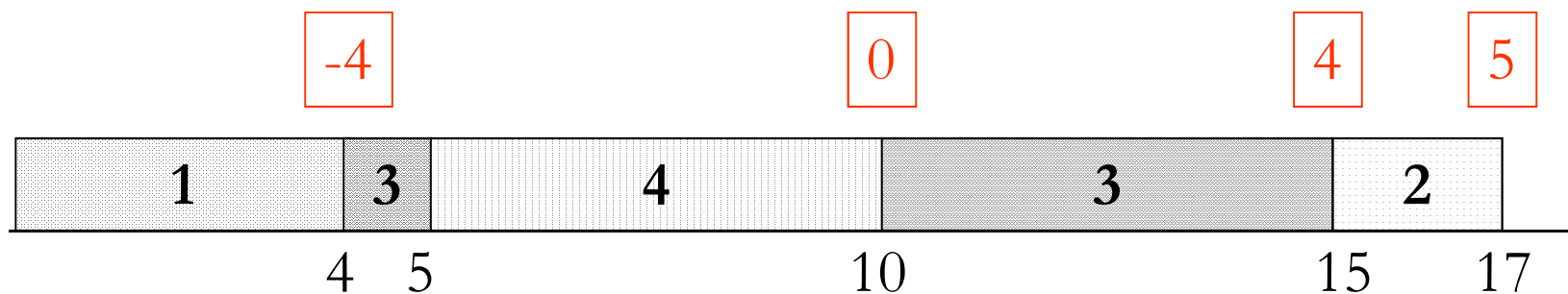
UB=7



Eliminati per **dominanza**

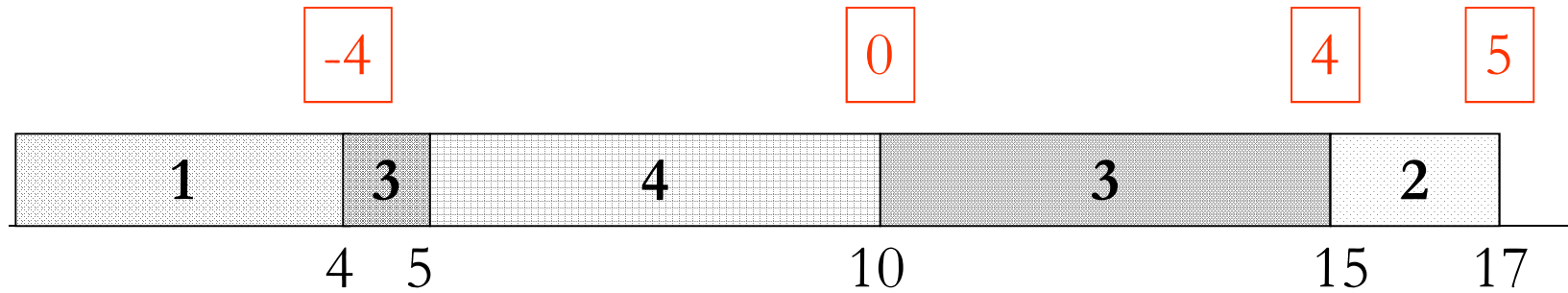
Valutazione di (1 - - -)

job	1	2	3	4
p_j	4	2	6	5
r_j	0	1	3	5
d_j	8	12	11	10



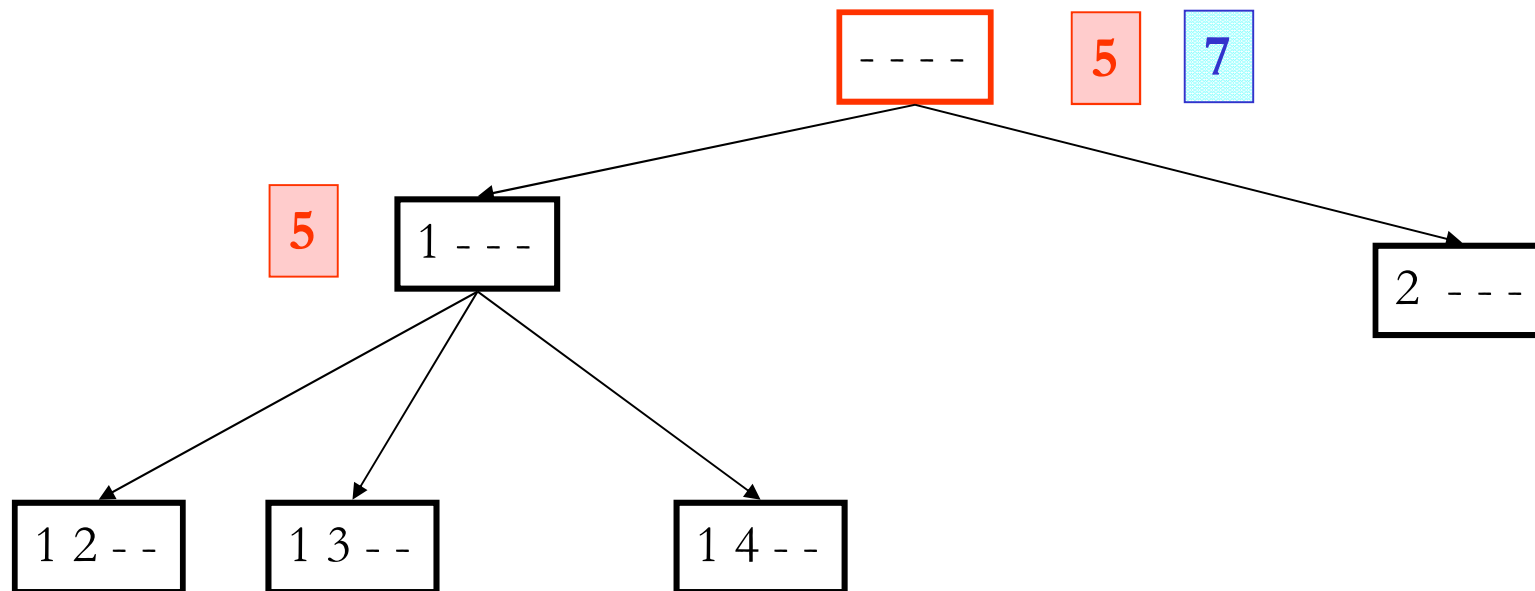
$$z^{LB}(1, \dots) = 5$$

Valutazione di (1 - - -)



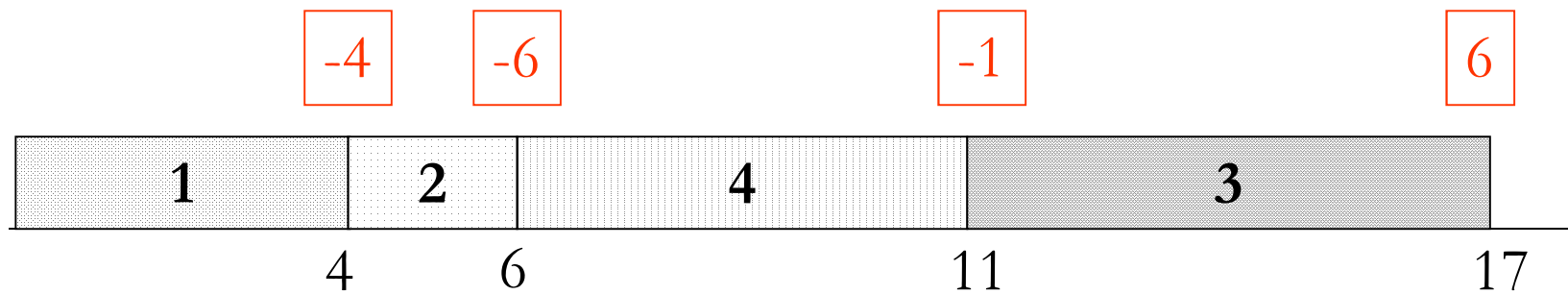
$$z^{LB}(1, ---) = 5$$

la condizione di potatura per bound fallisce



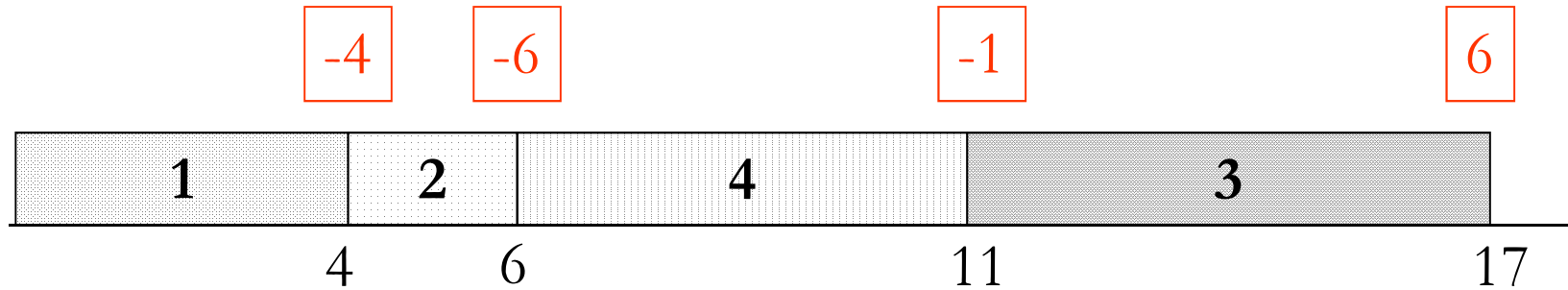
Valutazione di (1 2 - -)

job	1	2	3	4
p_j	4	2	6	5
r_j	0	1	3	5
d_j	8	12	11	10



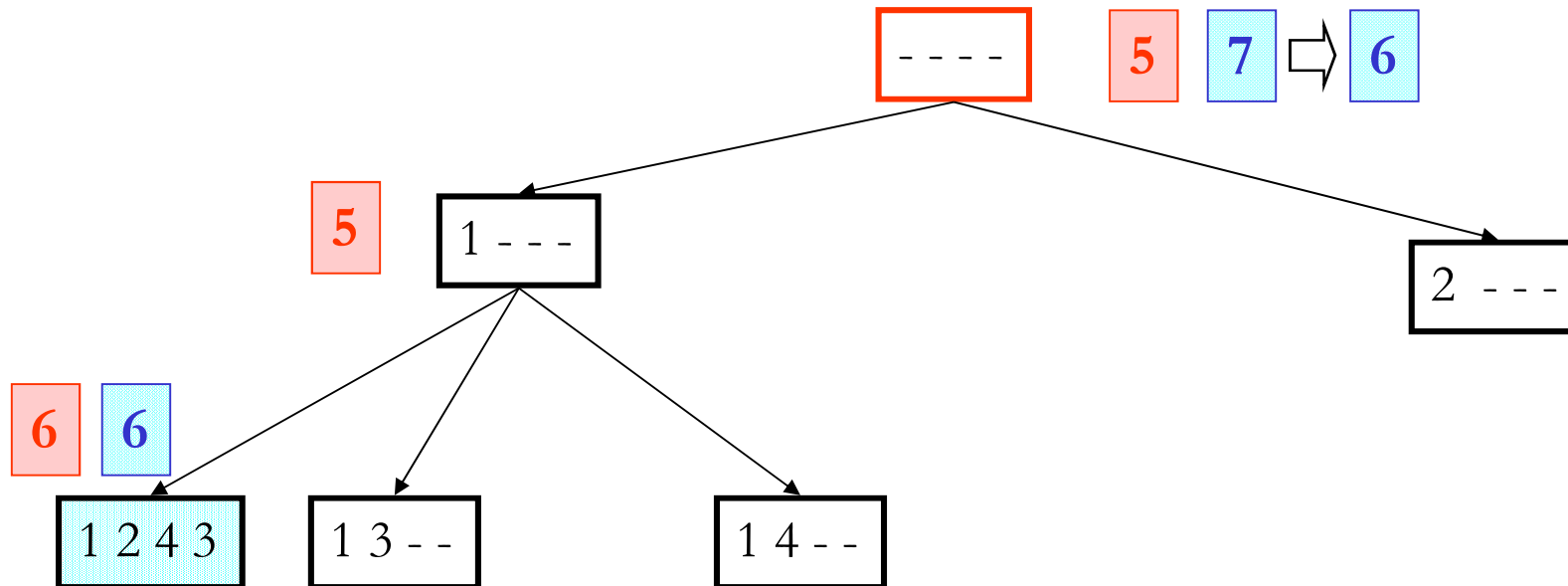
$z^{LB}(1,2--)$ = 6 Soluzione ammissibile $\bar{z} = 6$

Valutazione di (1 2 - -)



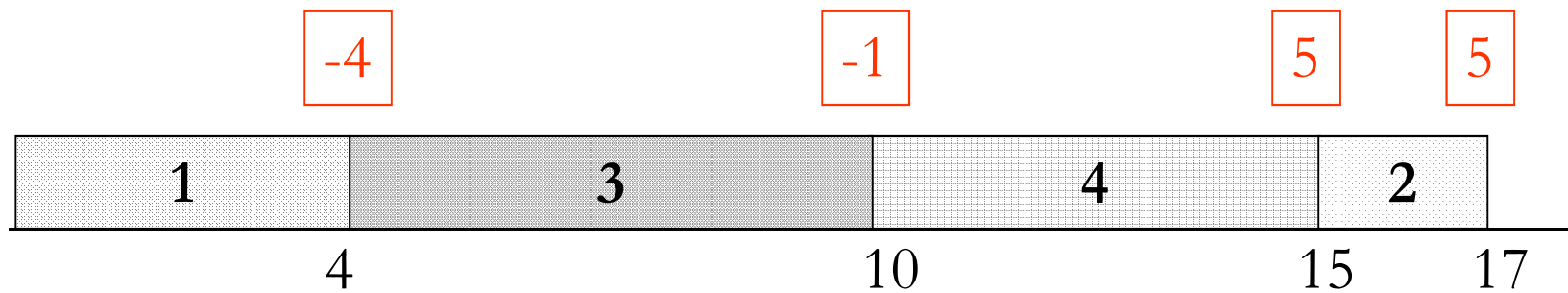
$$z^{LB}(1,2--)=6$$

sottoproblema potato per ottimalità



Valutazione di (1 3 - -)

job	1	2	3	4
p_j	4	2	6	5
r_j	0	1	3	5
d_j	8	12	11	10

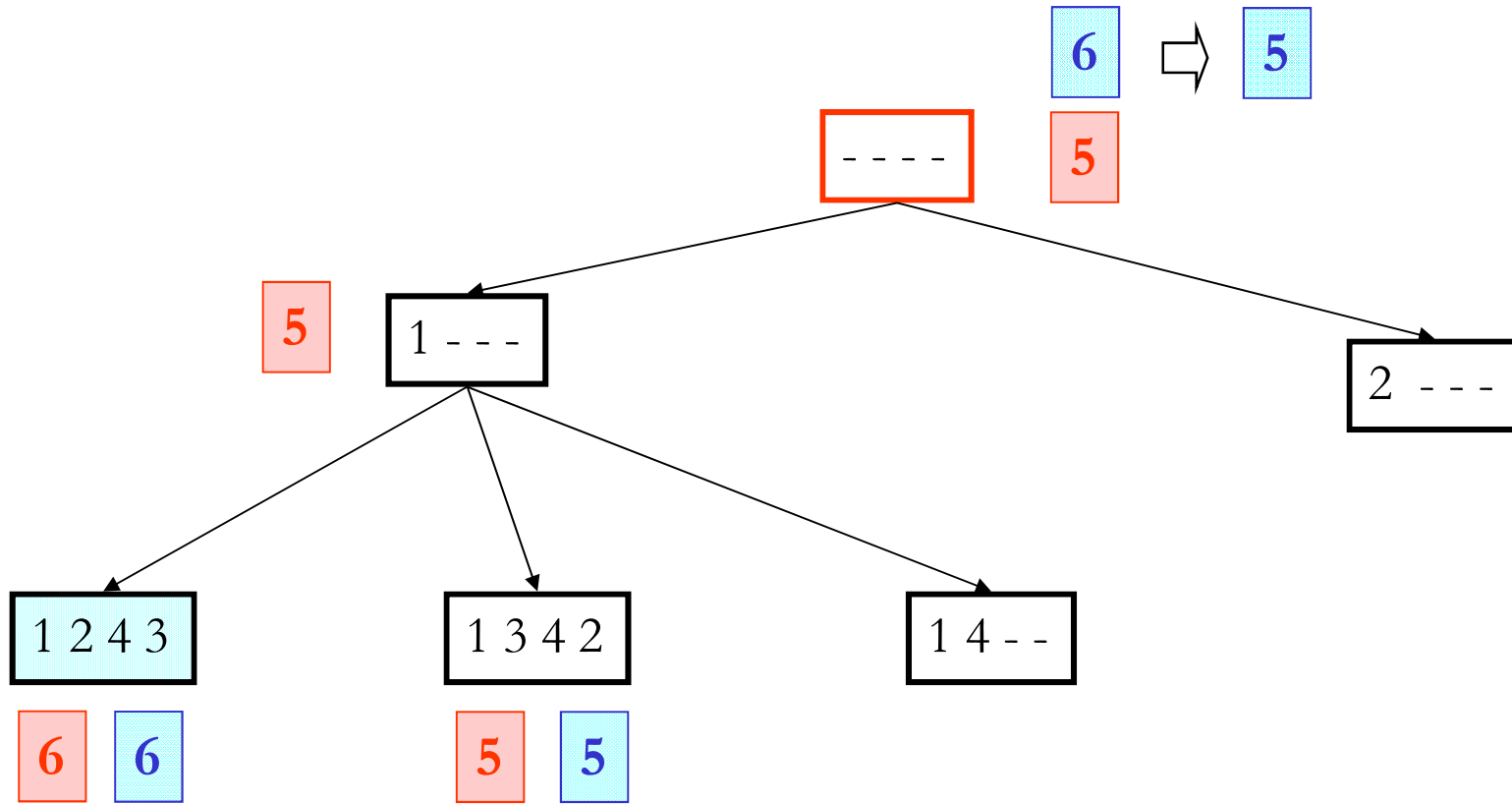


$$z^{LB}(1,3--)=5$$

Soluzione ammissibile

$$\bar{\zeta} = 5$$

Arresto



Soluzione ammissibile di valore pari al lower bound globale: ottima

Scelte implementative

- Riassumendo, l'implementazione di un branch-and-bound consiste delle seguenti scelte:
 - regola di branching
 - rilassamento
 - regole di dominanza
 - strategia di visita dell'albero di enumerazione (selezione del nuovo sottoproblema da valutare)
 - euristiche (in particolare al nodo radice)

Esercizio

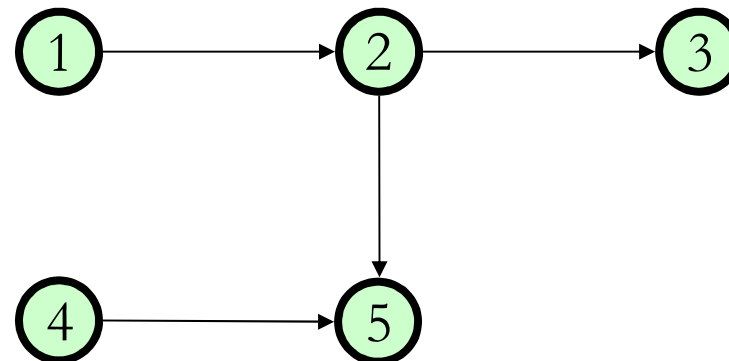
Calcolare la soluzione ottima del seguente problema

$$1 / \text{prec} / \sum w_j C_j$$

Regola di selezione del sottoproblema FIFO (visita in ampiezza)

job	1	2	3	4	5
w_j	1	4	1	6	3
p_j	3	7	1	5	4

Grafo delle precedenze

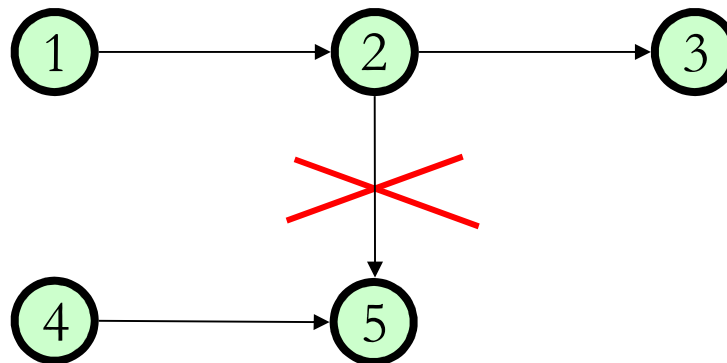


Scelta del rilassamento

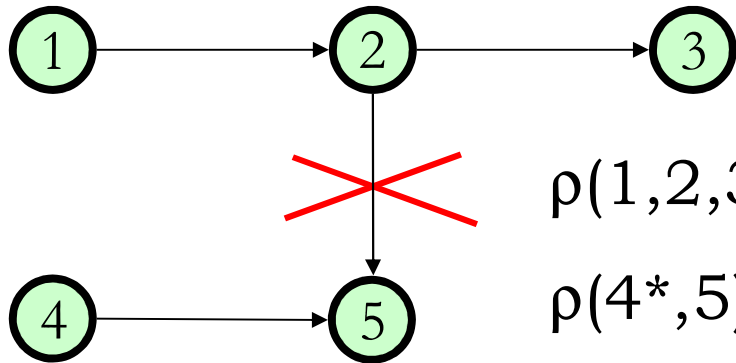
Eliminando archi dal grafo otteniamo rilassamenti del problema. Opzioni:

a. eliminare tutti gli archi costruendo un rilassamento in forma $1 \mid \mid \sum w_j C_j$ risolvibile con WSPT

b. escluderne alcuni in modo da ottenere un'istanza di $1 \mid \text{chain} \mid \sum w_j C_j$ per cui conosciamo un algoritmo polinomiale.



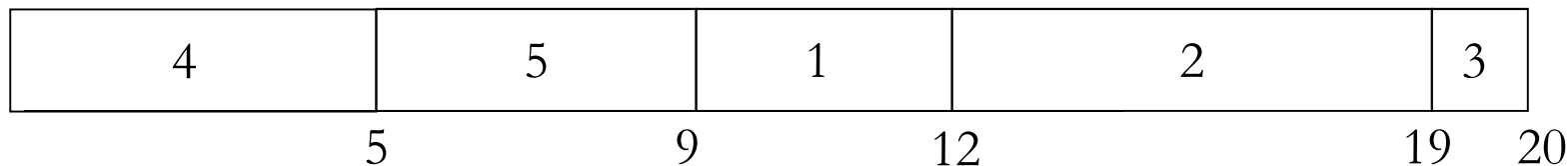
Valutazione di (-, -, -, -, -)



$$\rho(1,2,3^*) = \max(1/3, 5/10, 6/11) = 6/11$$

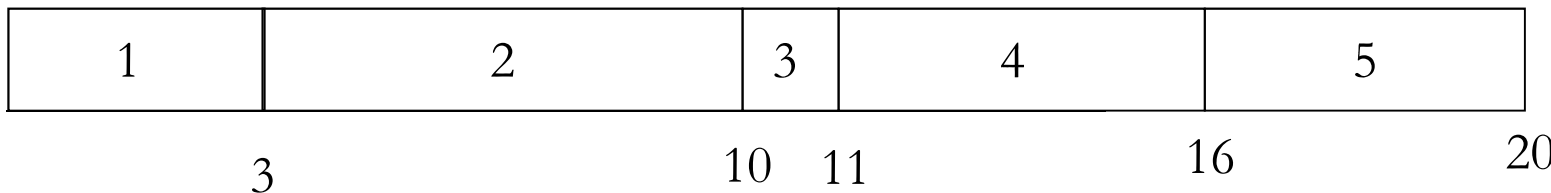
$$\rho(4^*,5) = \max(6/5, 9/9) = 6/5$$

$$\rho(5) = 3/4$$



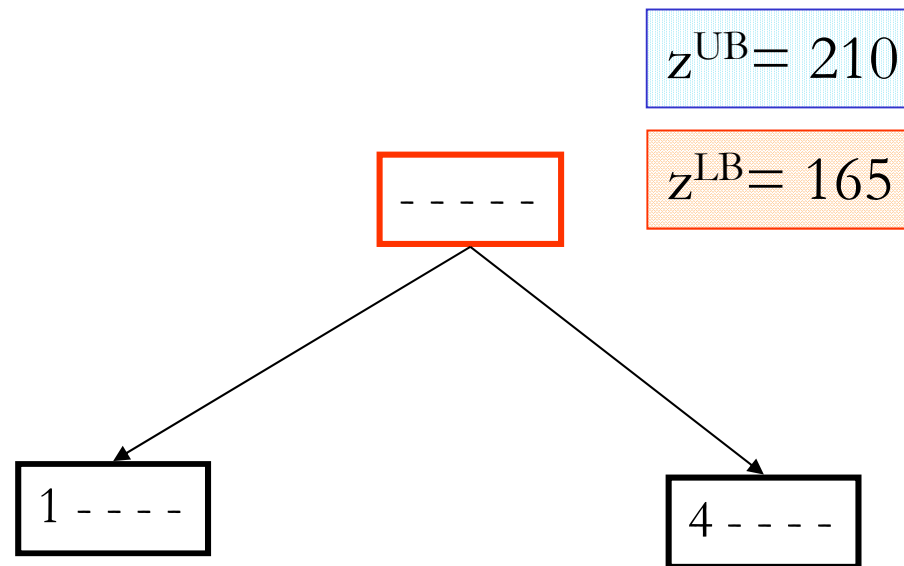
$z^{LB} = 165$

Soluzione del rilassamento chain: non ammissibile (5 precede 2)



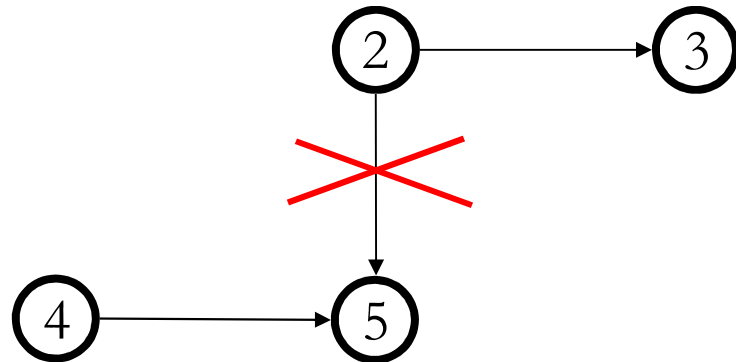
Soluzione iniziale – UB = 210

Branching al nodo radice



Lista dei problemi candidati: $\{(1, - - - -), (4, - - - -)\}$

Valutazione di (1, -, -, -, -)

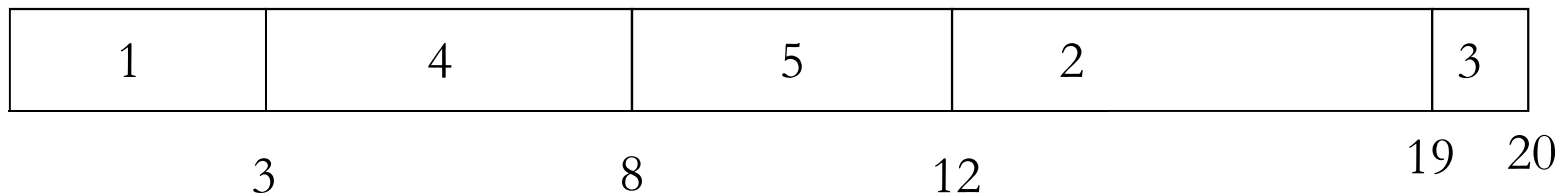


job	1	2	3	4	5
w_j	1	4	1	6	3
p_j	3	7	1	5	4

$$\rho(2,3^*) = \max(4/7, 5/8) = 5/8$$

$$\rho(4^*,5) = \max(6/5, 9/9) = 6/5$$

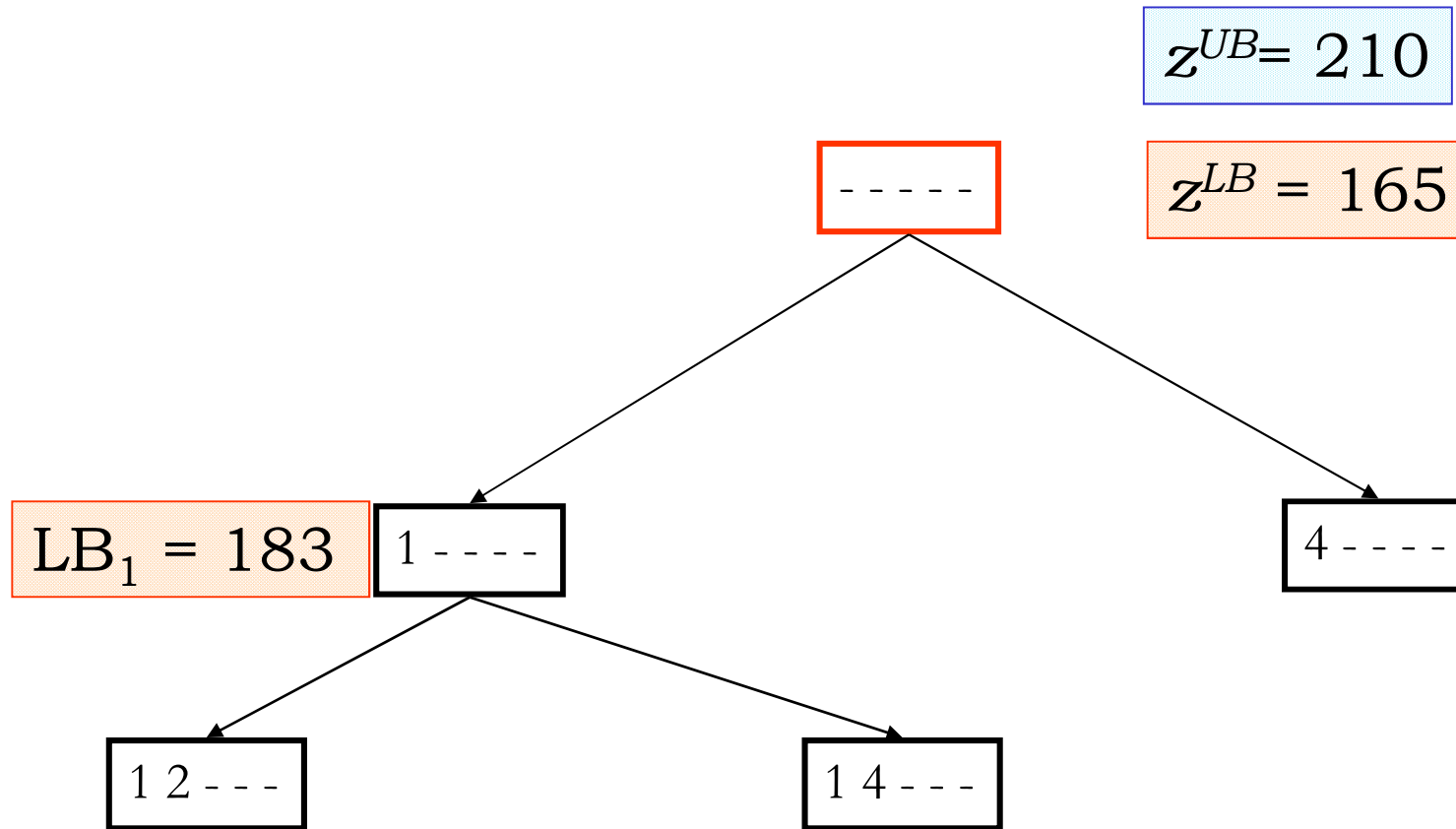
$$\rho(5) = 3/4$$



LB₁ = 183

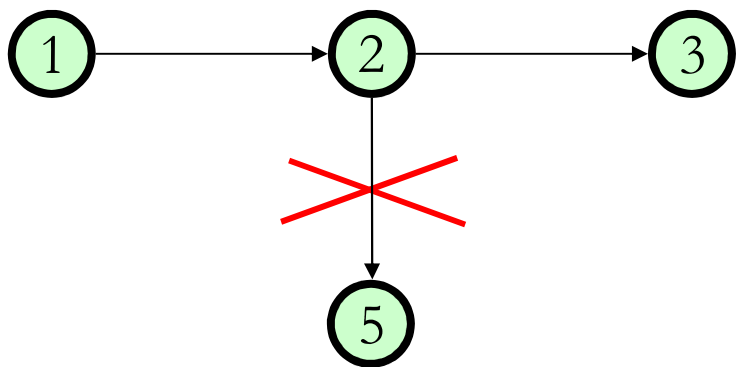
5 precede 2: soluzione non ammissibile₁₄₃

Branching



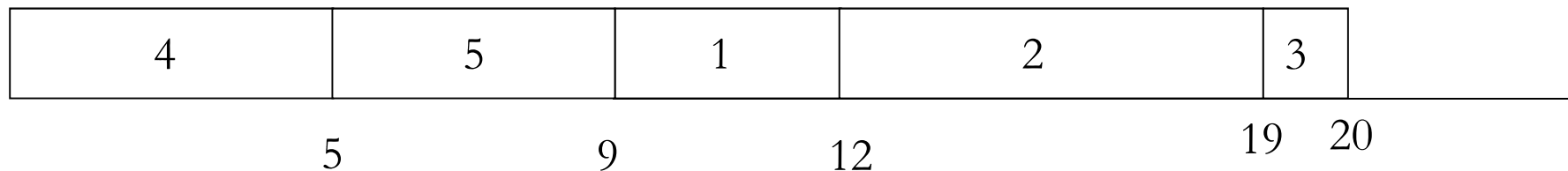
Lista dei problemi candidati: $\{(1, 2, - - -), (1, 4, - - -), (4, - - -)\}$

Valutazione di (4, -, -, -, -)



$$\rho(1, 2, 3^*) = \max(1/3, 5/10, 6/11) = 6/11$$

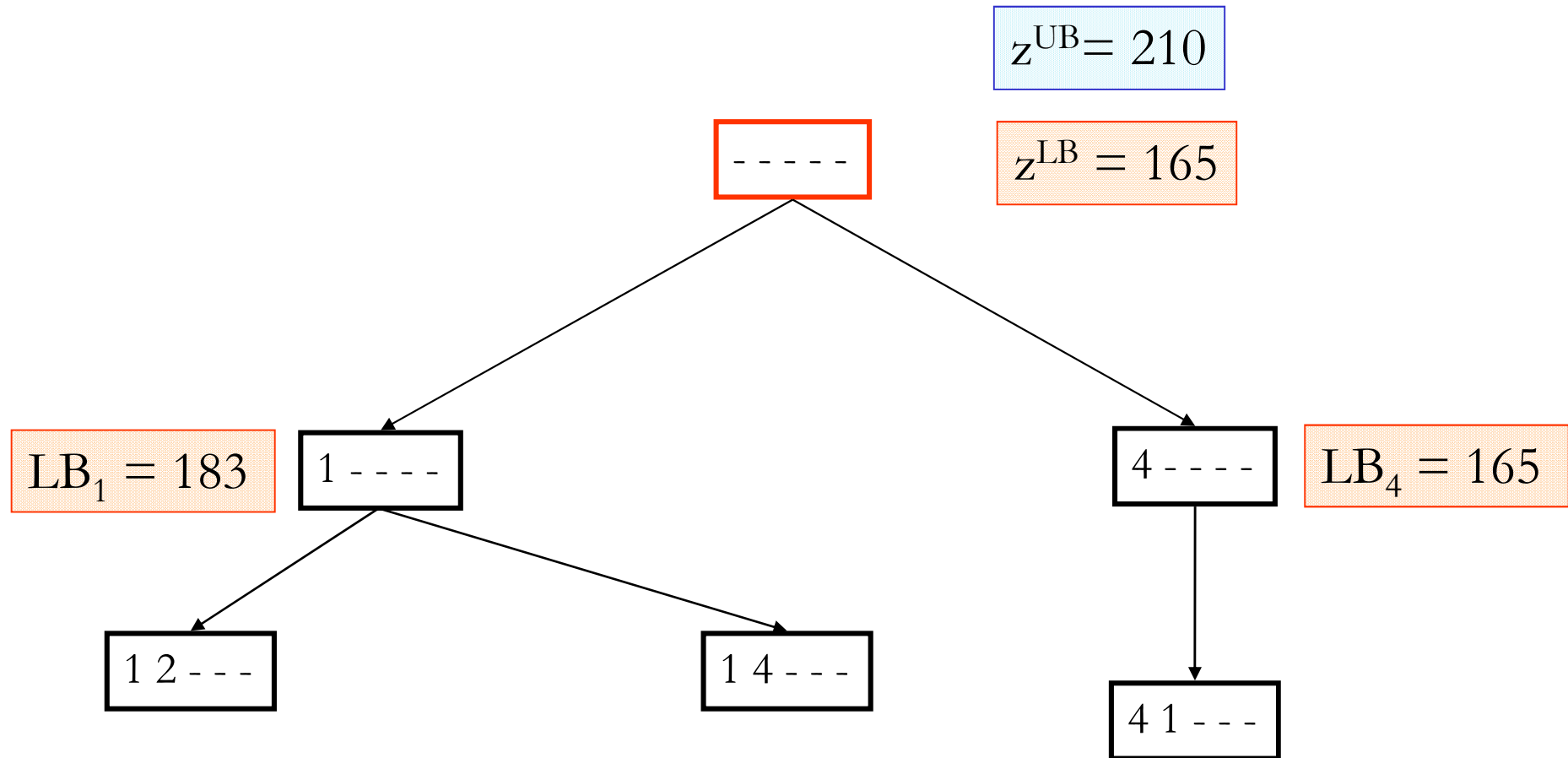
$$\rho(5) = 3/4$$



$LB_4 = 165$

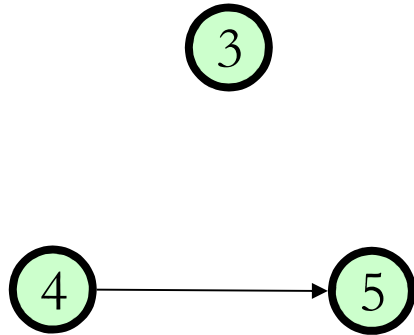
5 precede 2: soluzione non ammissibile

Branching



Lista dei problemi candidati: $\{(1, 2, - - -), (1, 4, - - -), (4, 1_{146-})\}$

Valutazione di (1, 2, -, -, -)



$$\rho(3) = \max(1/1) = 1$$

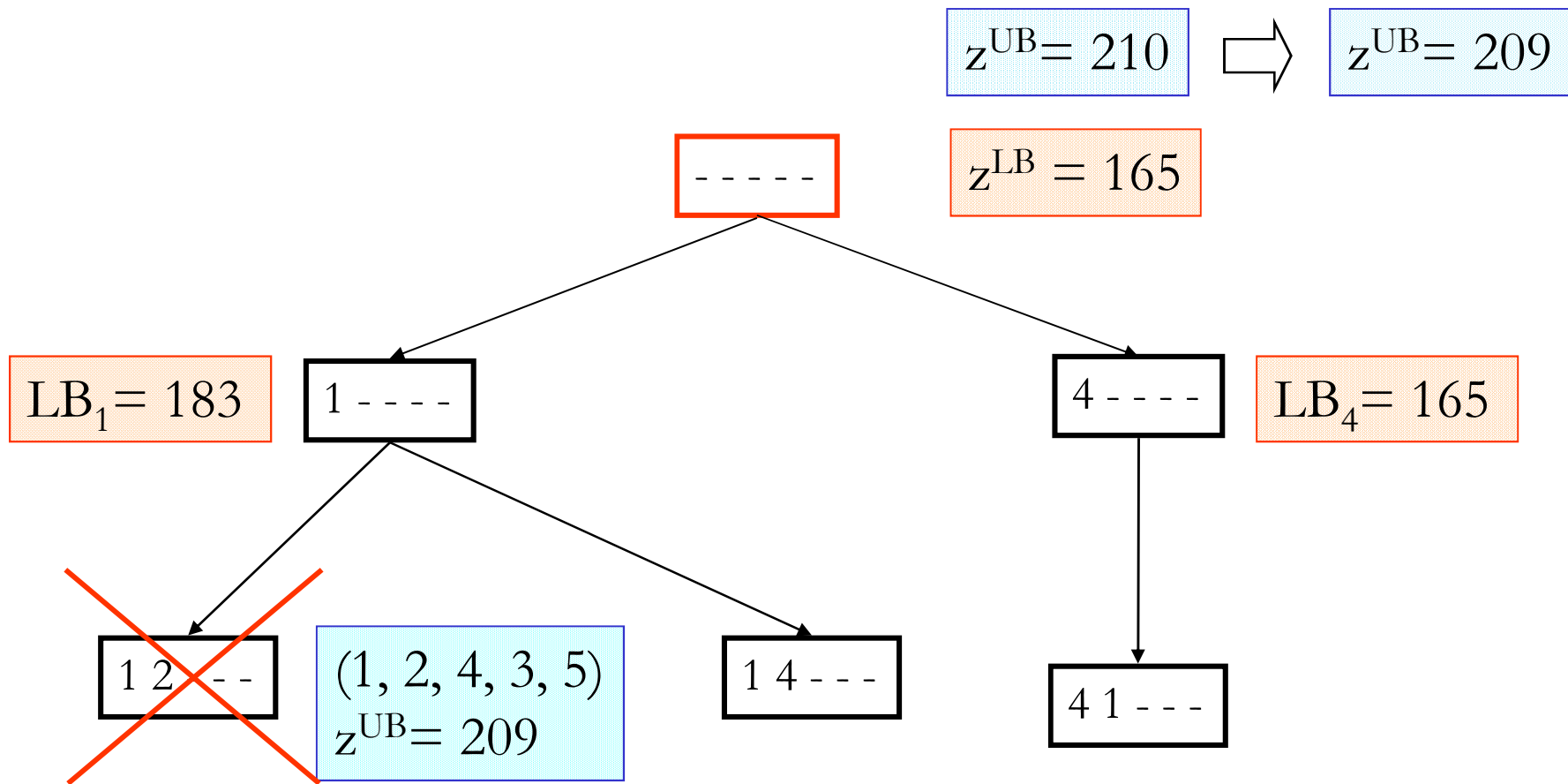
$$\rho(4^*, 5) = \max(6/5, 9/9) = 6/5$$

Soluzione del rilassamento chain: ammissibile

1	2	4	3	5
3		10	15 16	20

aggiornamento dell'ottimo corrente

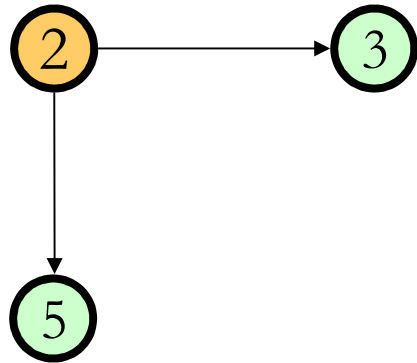
$$z^{LB} = 209 = z_{147}^{UB}$$



potato per ottimalità

Lista dei problemi candidati: $\{(1, 4, -, -), (4, 1, -, -)\}$

Valutazione di (1, 4, -, -, -)



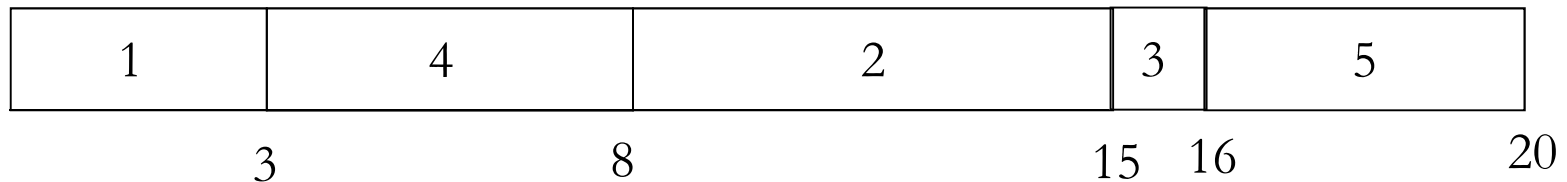
Solo il job 2 è **schedulabile**:
l'unico figlio è (1 4 2 - -)

Valutazione di (1, 4, 2, -, -)



$$\rho(3) = \max(1/1) = 1$$

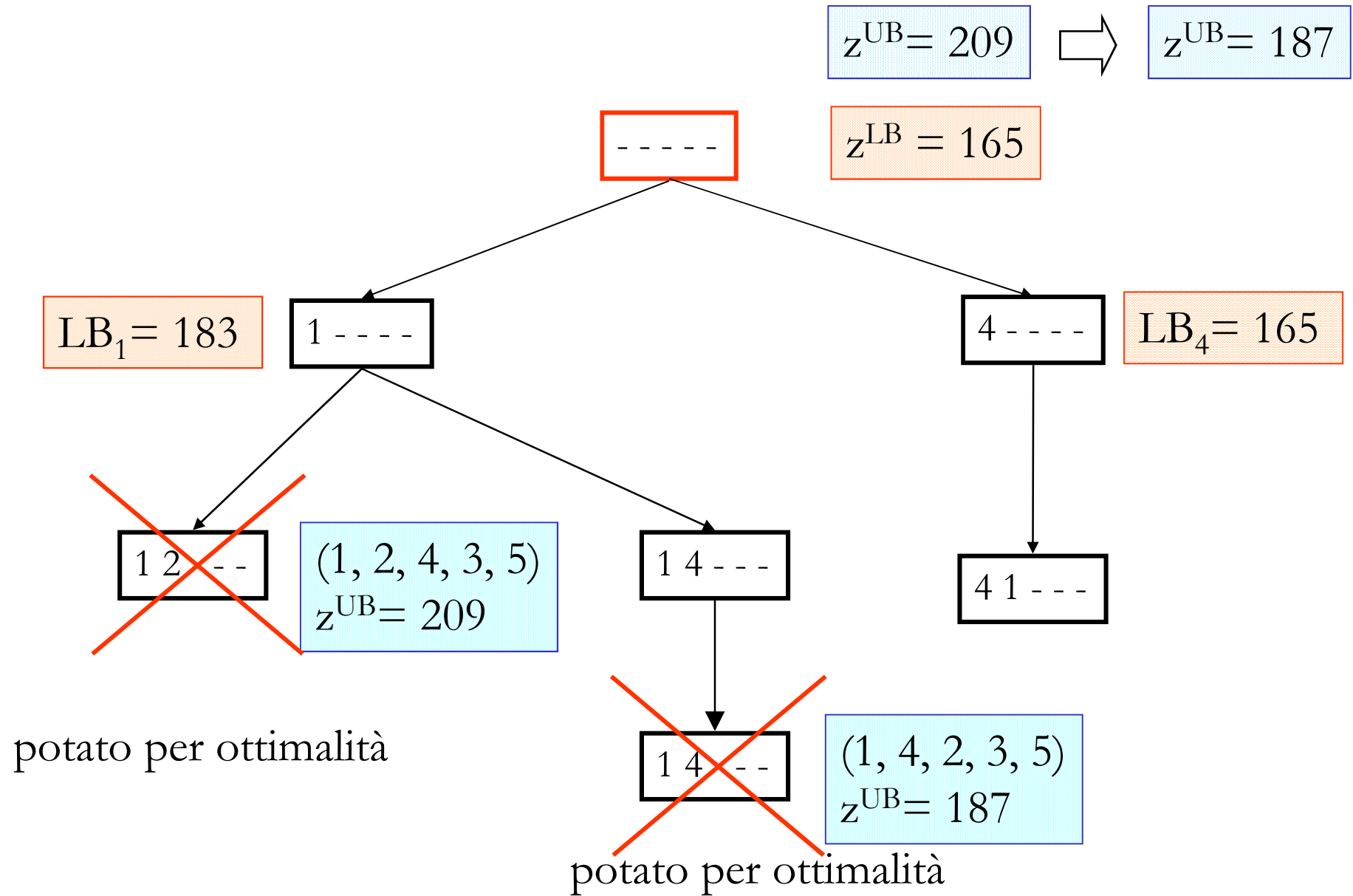
$$\rho(5) = 3/4$$



Soluzione del rilassamento chain: ammissibile

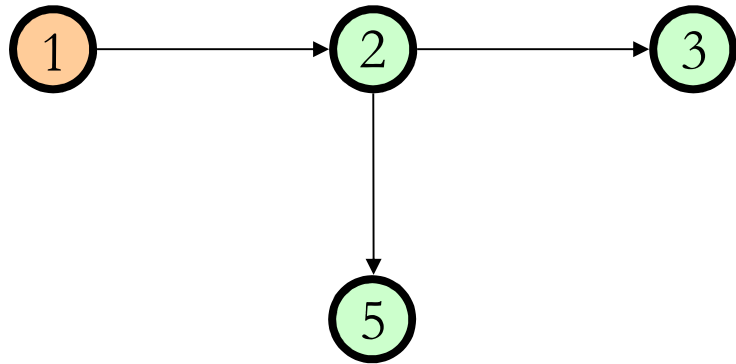
$$L = 187$$

149



Lista dei problemi candidati: $\{(4, 1, - - -)\}$

Valutazione di (4, 1, -, -, -): fixing



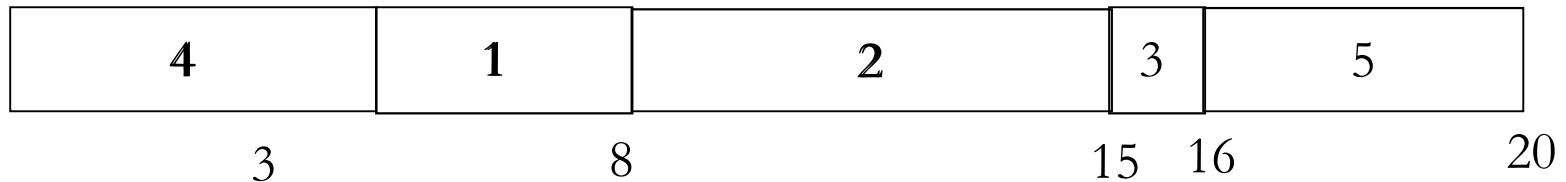
Solo il job 1 è **schedulabile**:
l'unico figlio è (4 1 - - -)

Valutazione di (4, 1, 2, -, -)



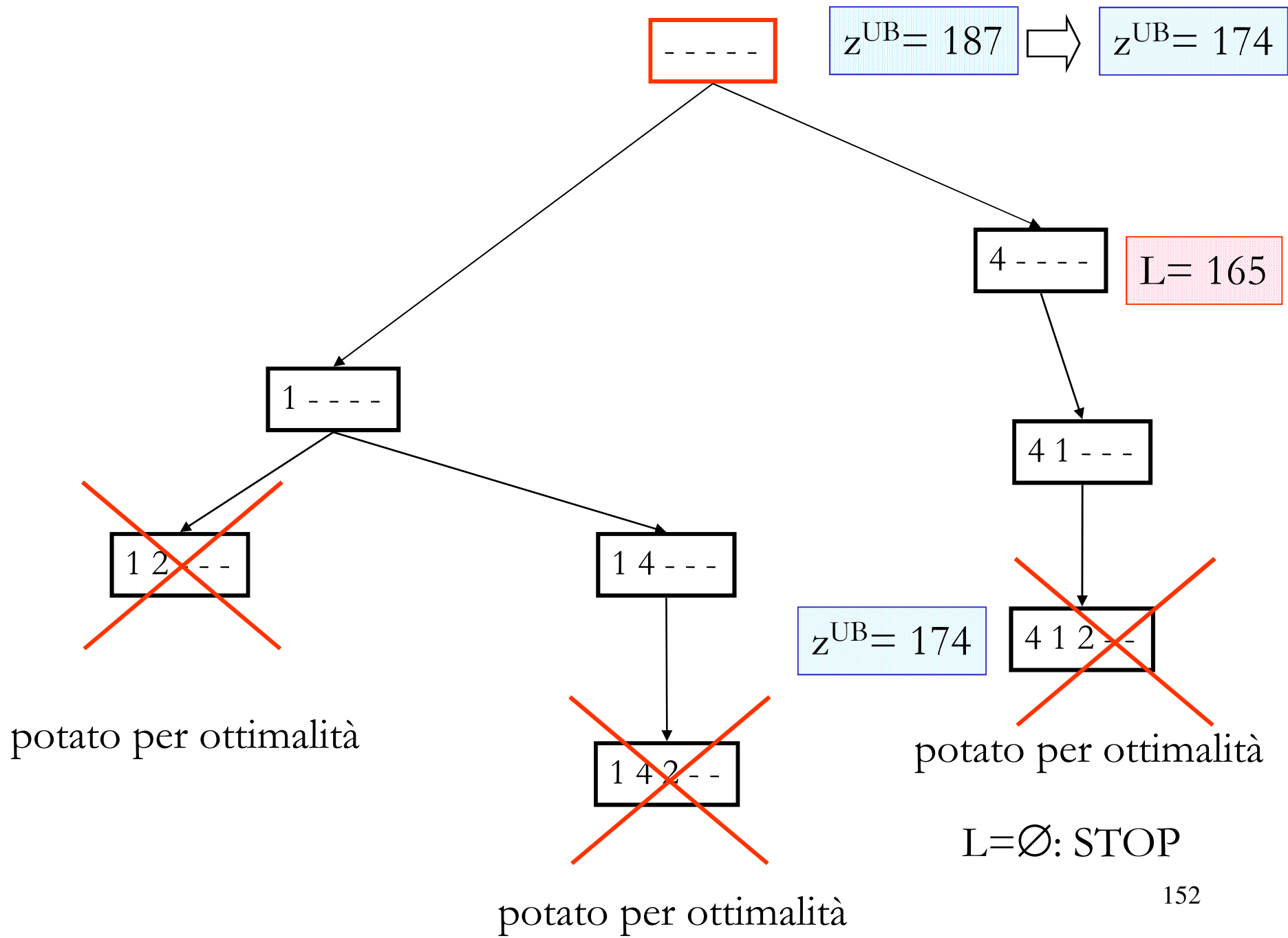
$$\rho(3) = \max(1/1) = 1$$

$$\rho(5) = 3/4$$



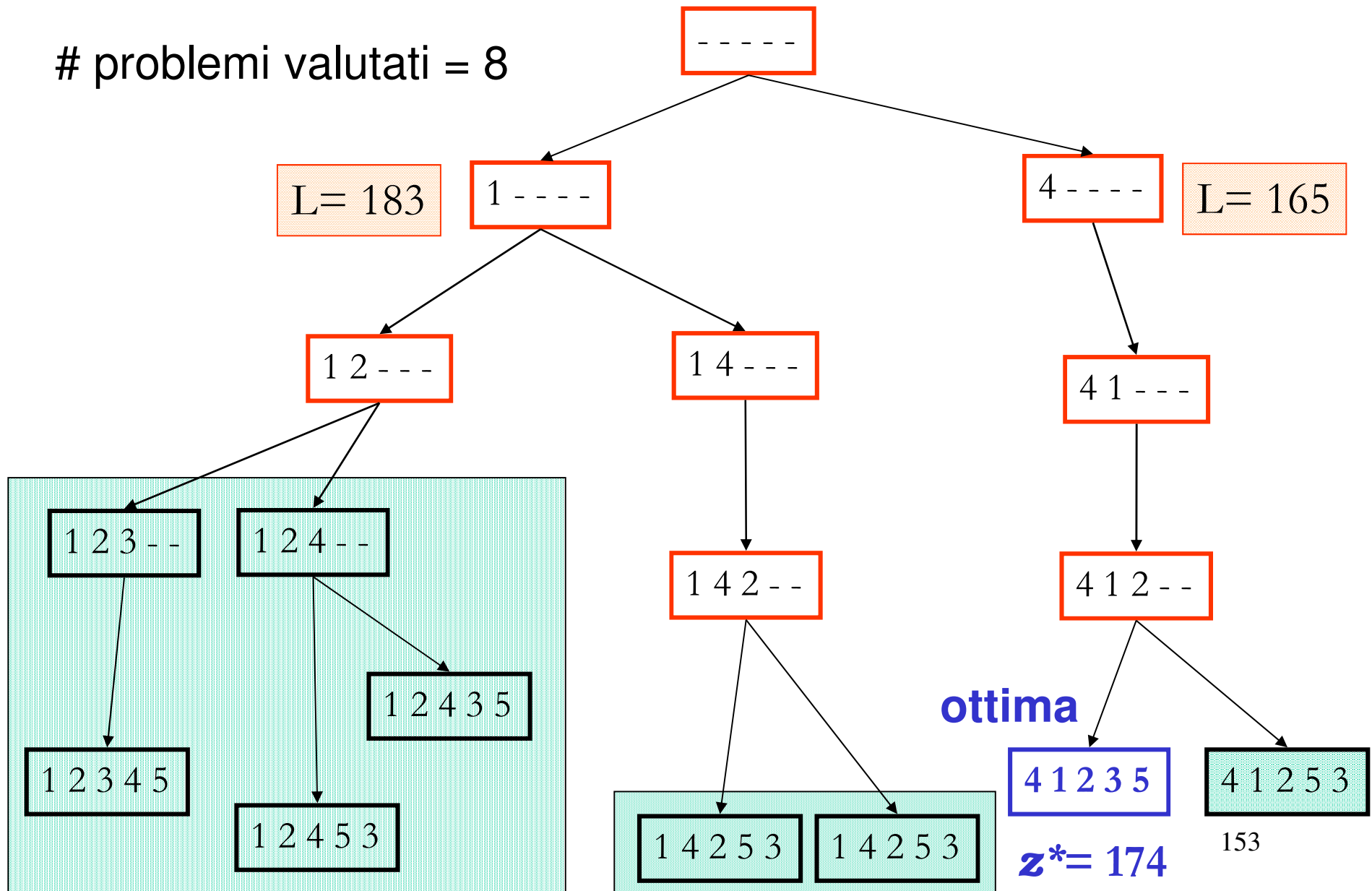
Soluzione del rilassamento chain: ammissibile

L = 174



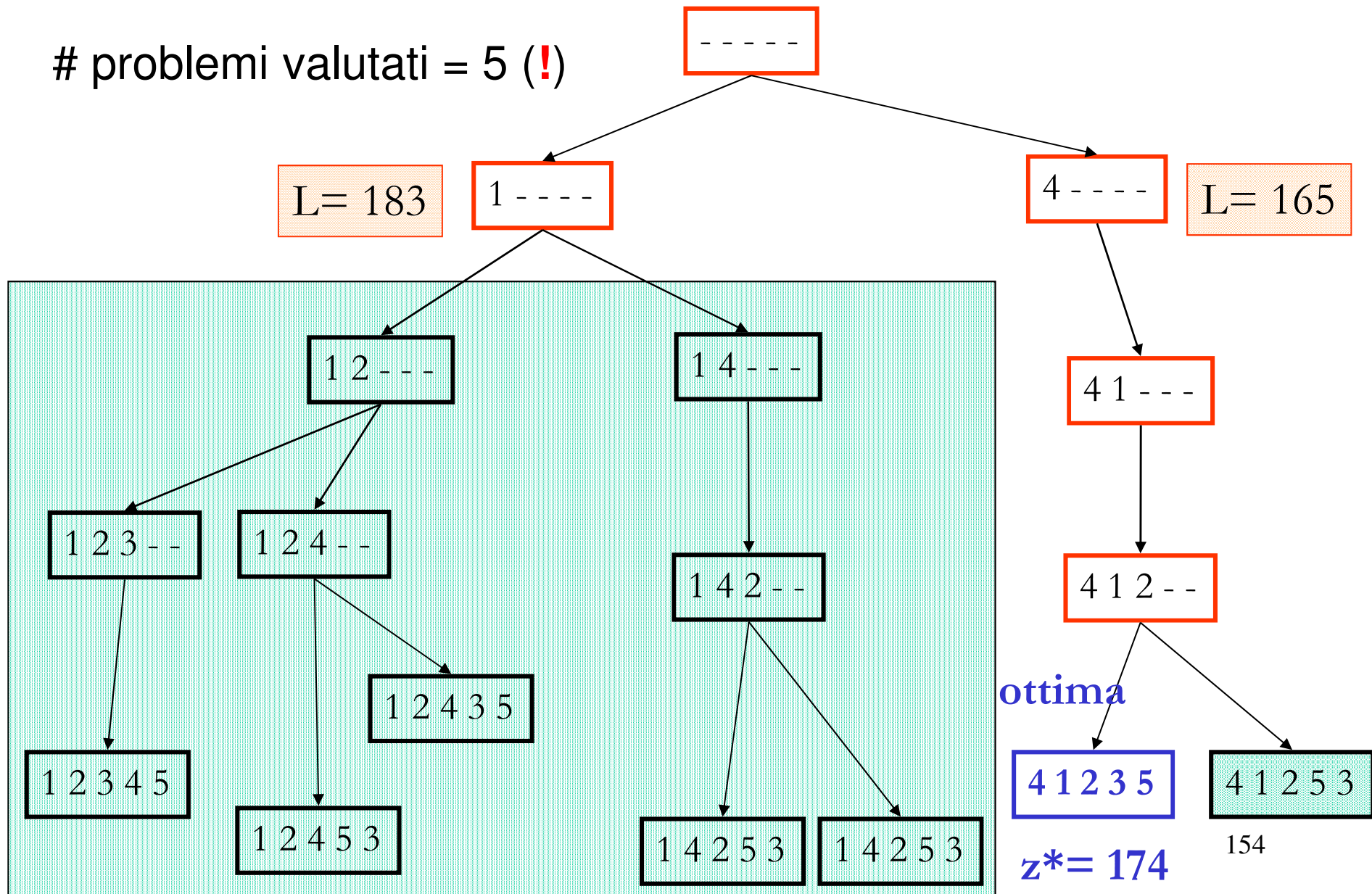
scelta del sottoproblema: FIFO (visita in ampiezza)

problemi valutati = 8

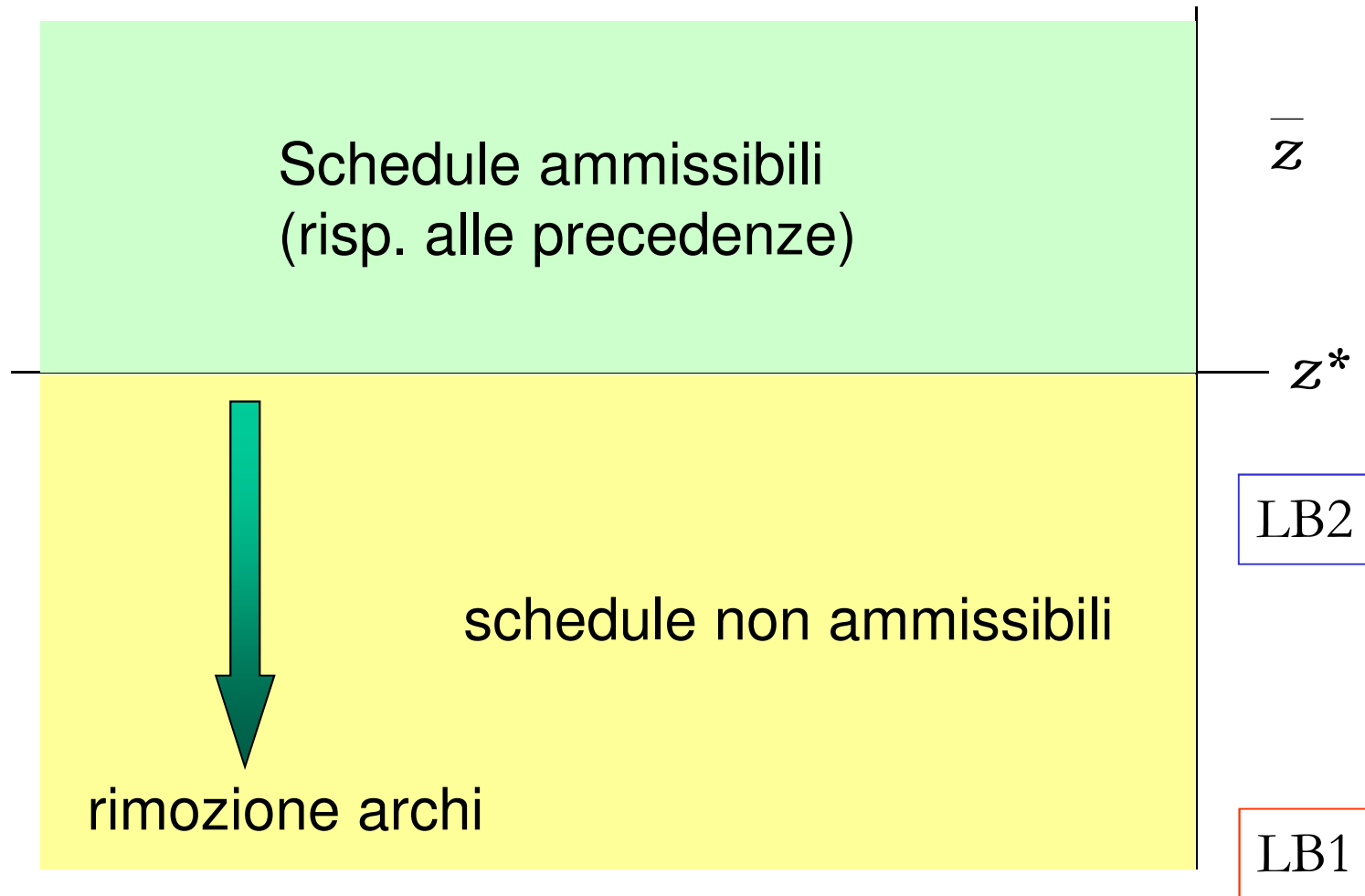


scelta del sottoproblema: least lower bound

problemi valutati = 5 (!)



Gerarchia di rilassamenti



LB1 = eliminati i vincoli di precedenza $O(n \log n)$

LB2 = eliminato solo l'arco (2,5) $O(n^2)$

Relazioni fra funzioni obiettivo

Definizione. Due funzioni obiettivo si dicono **equivalenti** se uno schedule ottimo per la prima lo è anche per la seconda e viceversa.

Esempio. $1 / \Sigma C_j$ e $1 / \Sigma L_j$ sono equivalenti

Infatti, $L_j = C_j - d_j$

quindi $\Sigma L_j = \Sigma C_j - \Sigma d_j$

ma l'ultimo termine è costante e non dipende dallo schedule

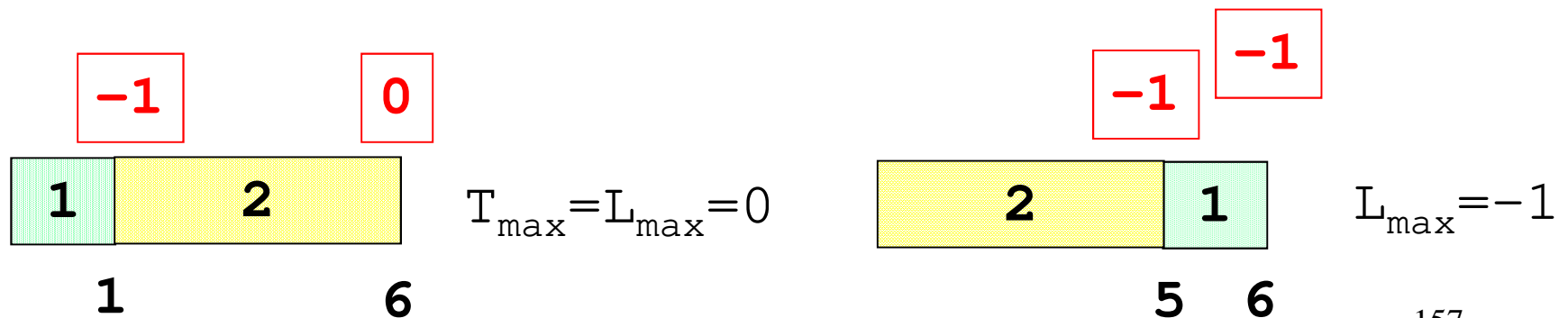
L_{\max} vs. T_{\max}

Uno schedule che minimizza L_{\max} minimizza anche T_{\max}
infatti,

$$T_{\max} = \max \{ \max(0, L_1), \dots, \max(0, L_n) \} = \max \{ 0, L_1, \dots, L_n \} = \max \{ 0, L_{\max} \}.$$

non vale il viceversa:

job	1	2
p_j	1	5
d_j	7	6

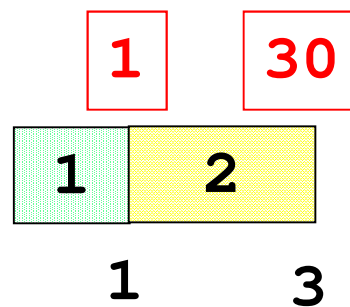


Osservazione

Sia P un generico problema e RP un suo rilassamento.

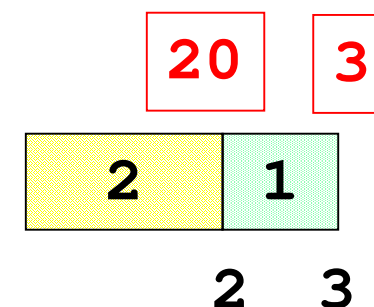
- se P ed RP hanno la stessa funzione obiettivo, allora qualunque soluzione ottima di RP che sia anche ammissibile per P è ottima per P ;
- al contrario, se P ed RP hanno funzioni obiettivo diverse questo non è vero: consideriamo la seguente istanza di $1 // \sum w_j C_j$ ed il suo rilassamento $1 // \sum C_j$.

job	1	2
p_j	1	2
w_j	1	10



$$C_1 + C_2 = 4^*$$

$$w_1 C_1 + w_2 C_2 = 31$$



$$C_1 + C_2 = 5$$

$$w_1 C_1 + w_2 C_2 = 23^*$$

Numero di tardy job

$$1 // \Sigma U_j$$

Struttura delle soluzioni ottime

- ogni schedule ottimo è composto da un insieme di job che arrivano in tempo e da un secondo insieme di job in ritardo (rispetto alle proprie due date)
- il primo insieme rispetta EDD, in modo che L_{max} sia minimizzata (e minore o uguale a zero).
- l'ordine dei job del secondo insieme non ha impatto sulla funzione obiettivo

job in tempo (EDD)

job in ritardo (qualsiasi ordine)

Algoritmo di Moore

- Costruisce lo schedule in avanti
- J job già schedulati (schedule parziale, secondo EDD)
- J^d job già esaminati e fissati come tardy job
- J^c job ancora non esaminati

Inizializzazione:

$$J = \emptyset, J^d = \emptyset, J^c = \{1, \dots, n\}.$$

Repeat:

1. Sia j^* il job in J^c con la minima due date:

$$J := J \cup \{j^*\}; J^c := J^c \setminus \{j^*\}$$

2. Se j^* è in ritardo, cioè $\sum_{j \in J} p_j > d_{j^*}$

sia k^* il job in J più lungo:

$$J := J \setminus \{k^*\}; J^d := J^d \cup \{k^*\}$$

Until ($J^c \neq \emptyset$)

Correttezza

Teorema. L'algoritmo di Moore restituisce una soluzione ottima di $1 // \Sigma U_j$

Dimostrazione. Senza perdita di generalità si può assumere $d_1 \leq d_2 \leq \dots \leq d_n$

Sia J_k un sottoinsieme di $\{1, \dots, k\}$ che soddisfa le seguenti proprietà:

1. ha il massimo numero N_k di job in tempo
2. fra tutti i sottoinsiemi di $\{1, \dots, k\}$ con N_k job in tempo, J_k ha il minimo tempo totale di processamento

Per definizione, J_n corrisponde ad uno schedule ottimo. Dimostriamo **per induzione** che l'algoritmo di Moore restituisce J_n

Induzione

- l'algoritmo costruisce J_1 in modo da rispettare (1) e (2).
- Assumiamo che (1) e (2) valgano per k , cioè che Moore costruisca J_k e mostriamo che esse valgono per $k+1$

Due casi:

Caso a. Il job $k+1$ è aggiunto all'insieme J_k ed è completato in tempo. Ovviamente, è impossibile avere un maggior numero di job in tempo fra quelli in $\{1, \dots, k+1\}$, quindi vale (1).

Inoltre, il job $k+1$ deve appartenere all'insieme. Quindi, il tempo di processamento totale è minimo fra tutti gli insiemi che soddisfano (1). Quindi vale (2).

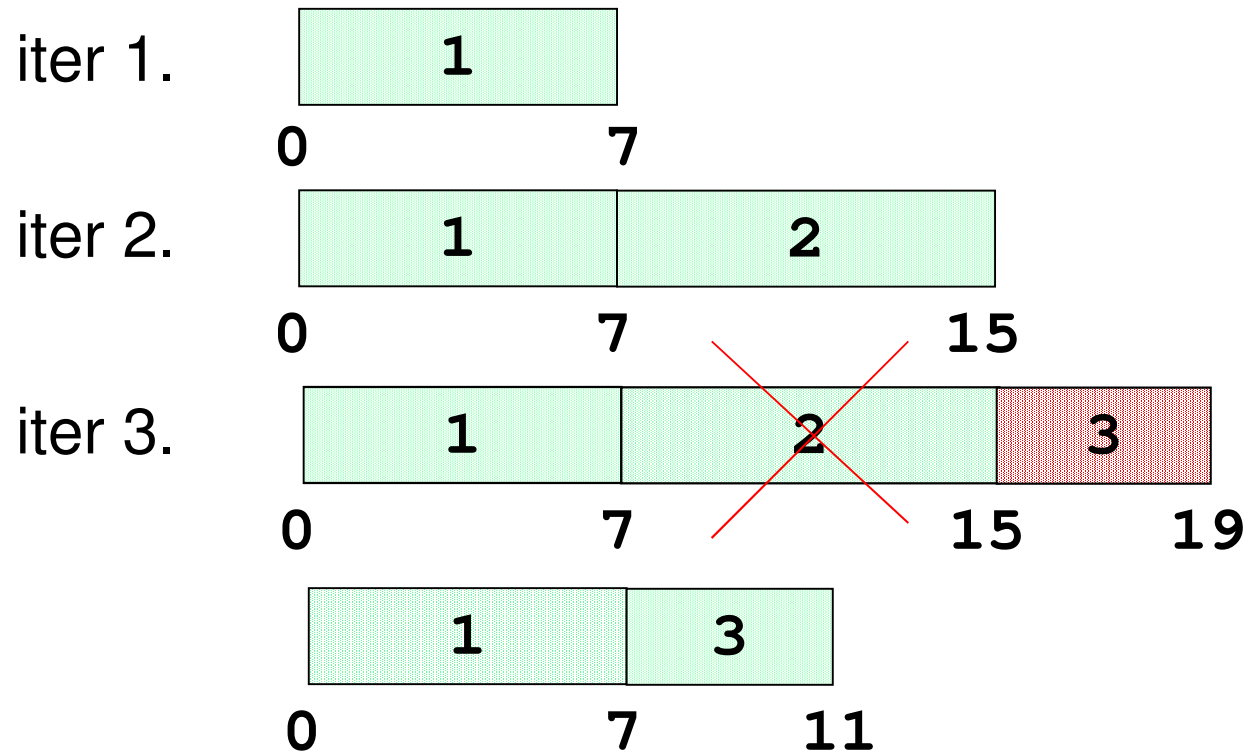
Induzione

Caso b. Il job $k+1$ è aggiunto all'insieme J_k ed è completato in ritardo. Dato che J_k soddisfa (1) e (2) deve essere $N_k = N_{k+1}$.

Quindi, aggiungere il job $k+1$ a J_k non aumenta il numero di job in tempo. Ma aggiungere $k+1$ e cancellare il job più lungo fra quelli di $J_k \cup \{k+1\}$ mantiene uguale il numero di job in tempo e riduce il tempo di processamento complessivo. Questo completa la prova.

Esempio

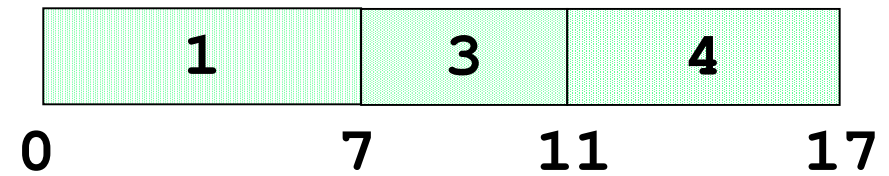
job	1	2	3	4	5
p_j	7	8	4	6	6
d_j	9	17	18	19	21



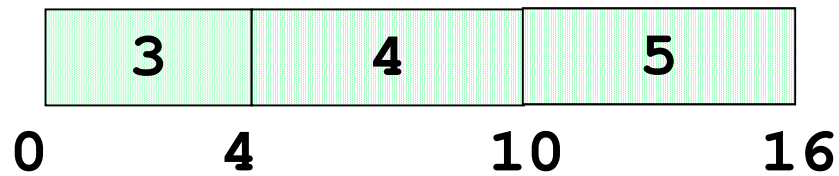
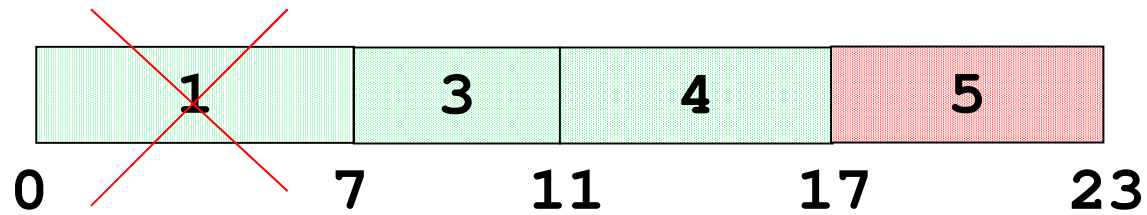
Esempio

job	1	2	3	4	5
p_j	7	8	4	6	6
d_j	9	17	18	19	21

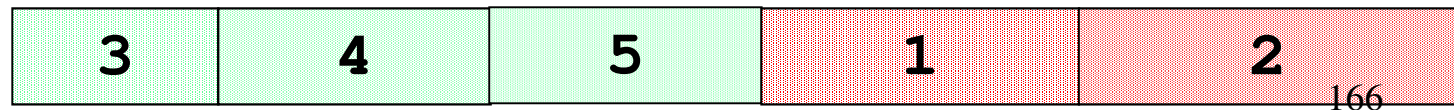
iter 4.



iter 5.



Soluzione



1.4 Problemi min-sum con due date (Tardiness totale $\Sigma \mathbf{T}_j$)

Problema dello zaino binario

Zaino di capacità $C \in \mathbb{Z}_+$

Insieme $N = \{1, \dots, n\}$ di oggetti. Per ogni oggetto:

ingombro $a_j \in \mathbb{Z}_+$

profitto $p_j \in \mathbb{Z}_+$

Problema: scegliere un insieme di oggetti di profitto massimo tale che l'ingombro totale non ecceda la capacità.

Sia S una soluzione ottima e S' una soluzione ottenuta da S eliminando l'elemento i .

S' è sol. ottima per il problema $N' = N \setminus \{i\}$ e $C' = C - a_i$

Altrimenti, detta S'' una sol ottima, $S^* = S'' \cup \{i\}$ sarebbe ammissibile e migliore di S , contraddizione.

Formula ricorsiva

$P(i, \lambda)$ = massimo profitto ottenibile con i primi i oggetti ed uno zaino di capacità λ

consideriamo l'elemento i e valutiamo le due possibilità:

i è tenuto nello zaino: $P(i, \lambda) = P(i - 1, \lambda - a_i) + p_i$

i è scartato: $P(i, \lambda) = P(i - 1, \lambda)$,

Quindi:

$$P(i, \lambda) = \max(P(i - 1, \lambda - a_i) + p_i, P(i - 1, \lambda))$$

il problema consiste nel determinare $P(n, C)$

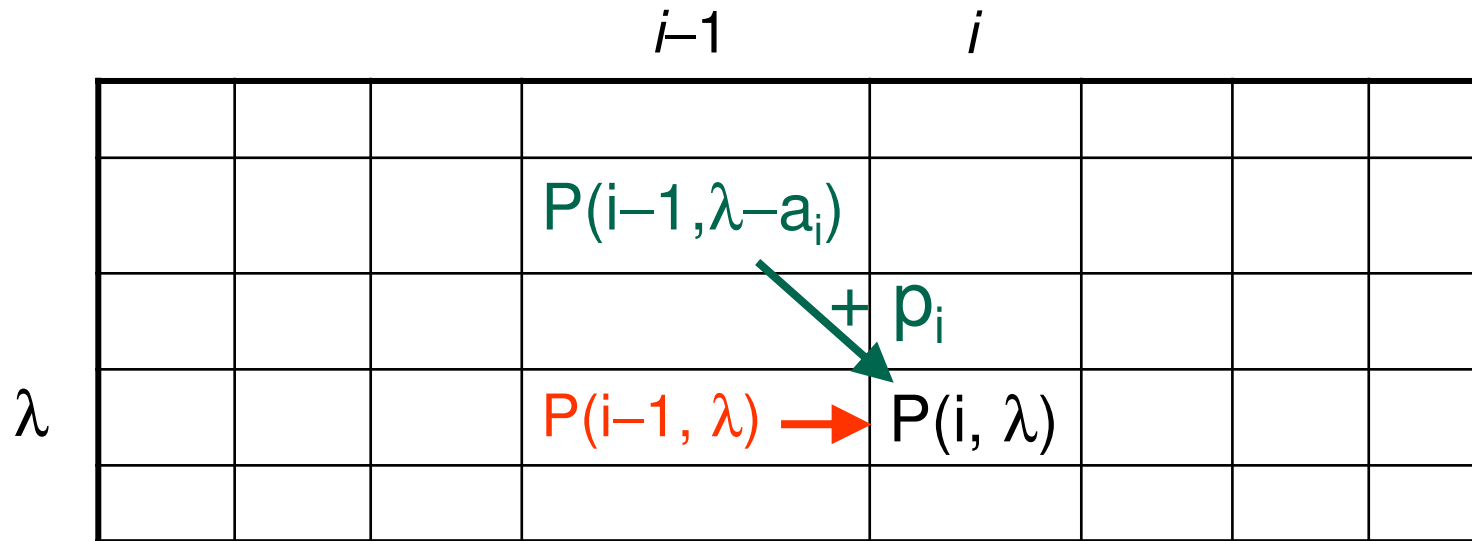
Divide et impera vs.PD

il metodo ***divide et impera*** procede per decomposizioni successive (top-down) e combina successivamente le soluzioni dei sottoproblemi per ottenere la soluzione del problema originario.

È possibile (anzi, frequente) che molti sottoproblemi siano uguali, quindi si esegue molto lavoro inutile!

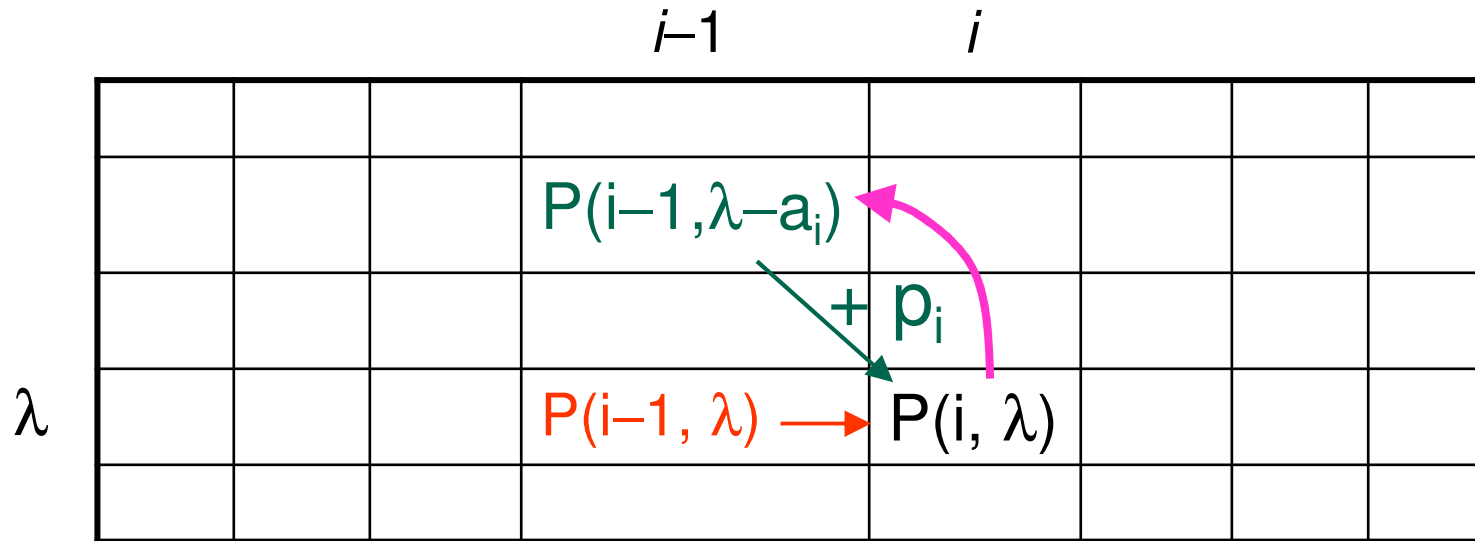
La ***programmazione dinamica*** risolve i sottoproblemi in modo bottom-up, memorizzando le soluzioni in una tabella e utilizzandole ogni volta che servono alla soluzione di un problema più grande

Complessità spaziale



- ogni valore $P(i, \lambda)$ è calcolato solo con elementi della colonna precedente
- Quindi, per calcolare il valore ottimo, è sufficiente memorizzare la colonna precedente \Rightarrow spazio $O(C)$

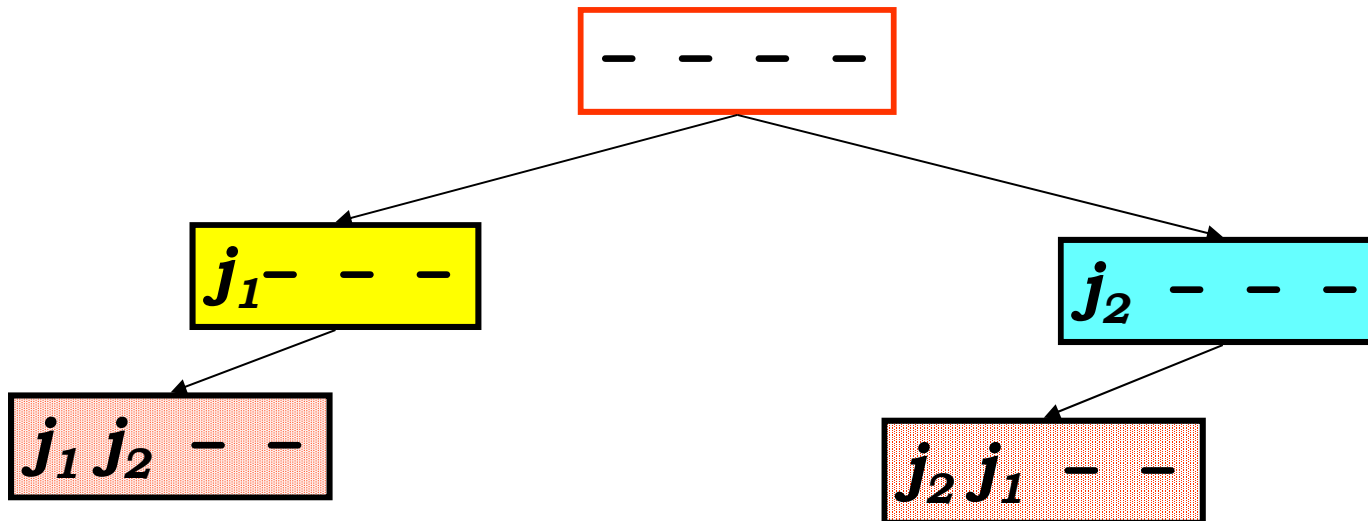
Ricostruire la soluzione



- Per ciascun valore calcolato serve un puntatore all'elemento della riga precedente da cui è derivato
- Quindi, è necessario mantenere l'intera tabella \Rightarrow spazio $O(nC)$

Programmazione dinamica nello scheduling

Motivazione: Il branch-and-bound valuta diversi sottoproblemi in cui lo schedule parziale contiene gli stessi job (!)



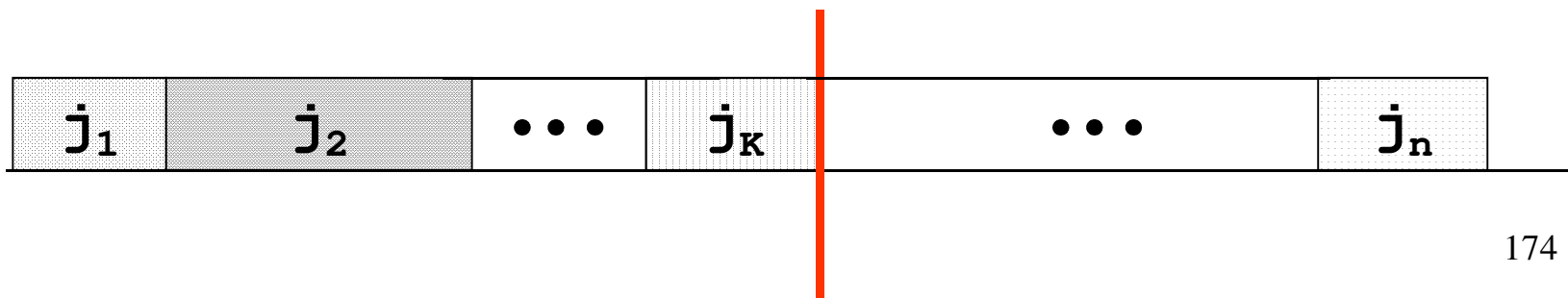
Ereditarietà della struttura ottima

Consideriamo un problema del tipo:

$$1 // \sum_{j=1, \dots, n} h_j(C_j)$$

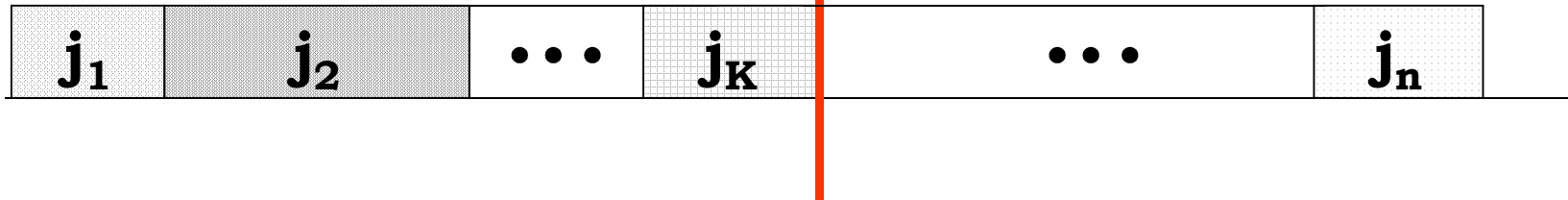
In cui $h_j(C_j)$ è una arbitraria funzione non decrescente di C_j

Ereditarietà: in uno schedule ottimo i primi K job (per un qualunque $K \in \{1, \dots, n\}$) formano uno schedule ottimo per il sottoproblema composto esclusivamente da tali job.



Ereditarietà della struttura ottima

S



per un qualunque $K \in \{1, \dots, n\}$ il valore della funzione obiettivo ha la seguente forma:

$$\sum_{k=1}^n h_{j_k}(C_{j_k}) = \sum_{k=1}^K h_{j_k}(C_{j_k}) + \sum_{k=K+1}^n h_{j_k}(C_{j_k}) = A + B$$

Consideriamo il problema composto dai job $\{j_1, \dots, j_K\}$: la sequenza (j_1, \dots, j_K) è ottima. Altrimenti, potremmo ridurre A senza modificare B , contraddicendo l'ottimalità di **S**.

Metodo di Held e Karp

$z(J)$ valore ottimo del problema in cui l'insieme dei job è J .

Se $J = \{j\}$ allora $z(J) = h_j(p_j)$

Se $|J| > 1$, l'ultimo job è completato al tempo $\sum p_j$ ed i primi $|J| - 1$ job devono essere schedulati in modo ottimo nel sottoproblema associato.

Quindi:

$$z(J) = \min_{j \in J} \left(z(J \setminus \{j\}) + h_j \left(\sum_{k \in J} p_k \right) \right)$$

Metodo di Held e Karp

Per risolvere la formula ricorsiva

$$z(\mathcal{J}) = \min_{j \in \mathcal{J}} \left(z(\mathcal{J} \setminus \{j\}) + h_j \left(\sum_{k \in \mathcal{J}} p_k \right) \right)$$

L'algoritmo procede in modo *bottom-up* iniziando a calcolare le soluzioni ottime dei problemi con un solo job, quindi utilizzando queste per risolvere i problemi con due job, e via di seguito.

Esempio: $1 // \Sigma T_j$

job	1	2	3	4
p_j	8	6	10	7
d_j	14	9	16	16

Soluzioni per i quattro insiemi di un singolo elemento:

$$z(\{j\}) = T_j = \max(0, p_j - d_j)$$

J	{1}	{2}	{3}	{4}
$p_j - d_j$	-6	-3	-6	-9
$z(J)$	0	0	0	0

Esempio: insiemi di due elementi

Soluzioni per i sei insiemi di due elementi:

$$z(\{j_1, j_2\}) = \min(z(\{j_1\}) + (p_{j_1} + p_{j_2}) - d_{j_2}, z(\{j_2\}) + (p_{j_1} + p_{j_2}) - d_{j_1})$$

J	{1, 2}		{1, 3}		{1, 4}		{2, 3}		{2, 4}		{3, 4}	
$C(J)$	14		18		15		16		13		17	
last	1	2	1	3	1	4	2	3	2	4	3	4
$T_j(C(J))$	0	5	4	2	1	0	7	0	4	0	1	1
$z(\{J \setminus \{j\}\}) + T_j(C(J))$	0	5	4	2	1	0	7	0	4	0	1	1
min	*			*		*		*		*	*	
$z(J)$	0		2		0		0		0		1791	

Esempio: insiemi di tre elementi

Soluzioni per i quattro insiemi di tre elementi. Esempio:
 $J = \{1, 2, 3\}, C(J) = p_1 + p_2 + p_3$

$$z(\{j_1, j_2, j_3\}) = \min(z(\{j_1, j_2\}) + C(J) - d_{j_3}, \\ z(\{j_1, j_3\}) + C(J) - d_{j_2}, z(\{j_2, j_3\}) + C(J) - d_{j_1})$$

J	{1,2,3}			{1,2,4}			{1,3,4}			{2,3,4}		
$C(J)$	24			21			25			23		
Last	1	2	3	1	2	4	1	3	4	2	3	4
$T_j(C(J))$	10	15	8	7	12	5	11	9	9	14	7	7
$z(\{J \setminus \{j\}\}) + T_j(C(J))$	10	17	8	7	12	5	12	9	11	15	7	7
min			*			*		*			*	
$z(J)$	8			5			9			180		

Esempio: insieme di quattro elementi

J	$\{1, 2, 3, 4\}$			
$C(J)$	31			
Last	1	2	3	4
$T_j(C(J))$	17	22	15	15
$z(\{J \setminus \{j\}\} + T_j(C(j)))$	24	31	20	23
Min			*	
$z(J)$	20			

Ricostruzione della soluzione ottima:

$\{1, 2, 3, 4\} \Rightarrow$ job 3 schedulato per ultimo;

$\{1, 2, 4\} \Rightarrow$ job 4 schedulato per ultimo;

$\{1, 2\} \Rightarrow$ job 1 schedulato per ultimo;

(2,1,4,3) soluzione ottima

Complessità

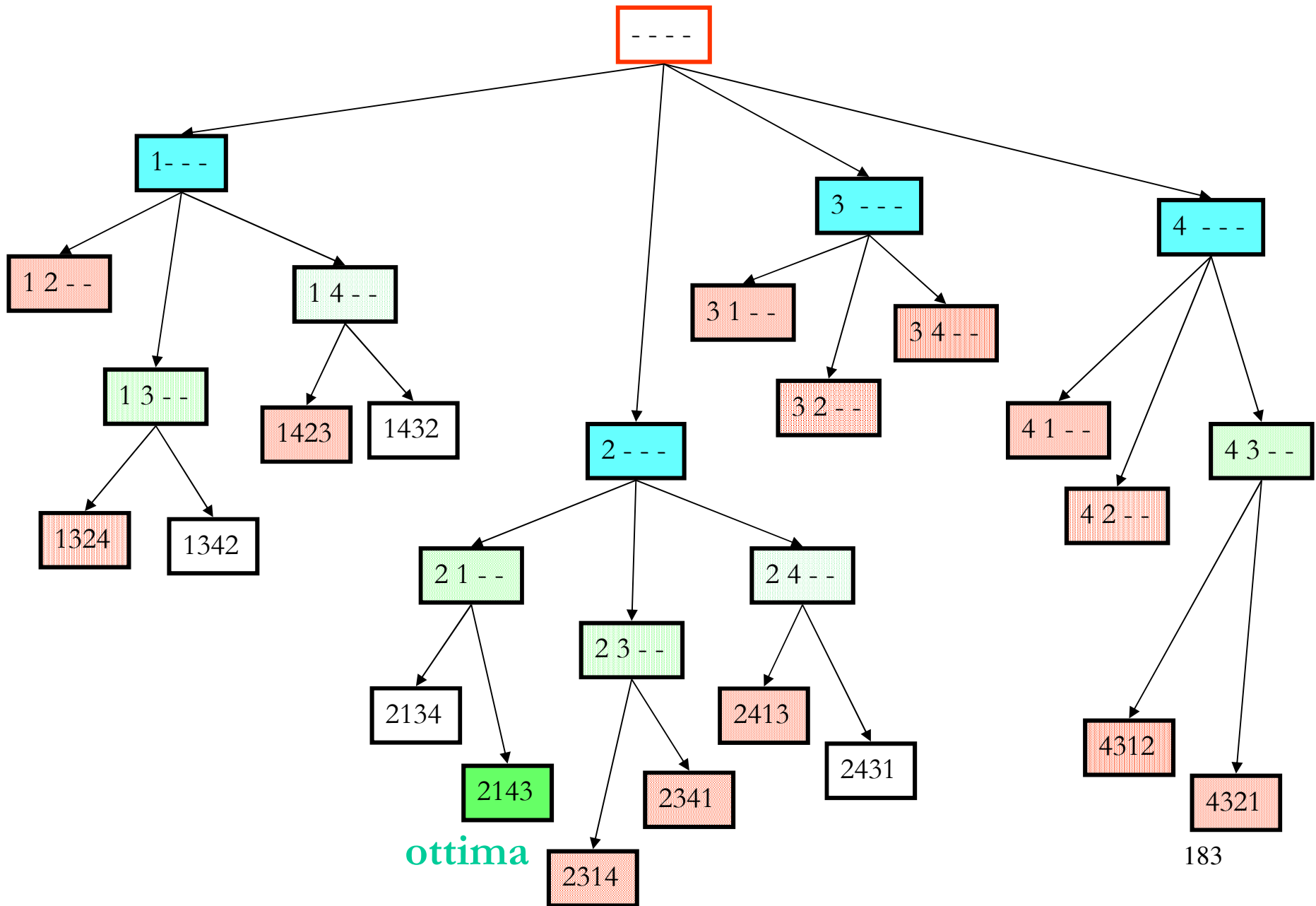
Tempo: numero di sottoproblemi valutati

$$\binom{n}{1} + \binom{n}{2} + \binom{n}{3} + \dots + \binom{n}{n}$$

$$\Rightarrow O(2^n)$$

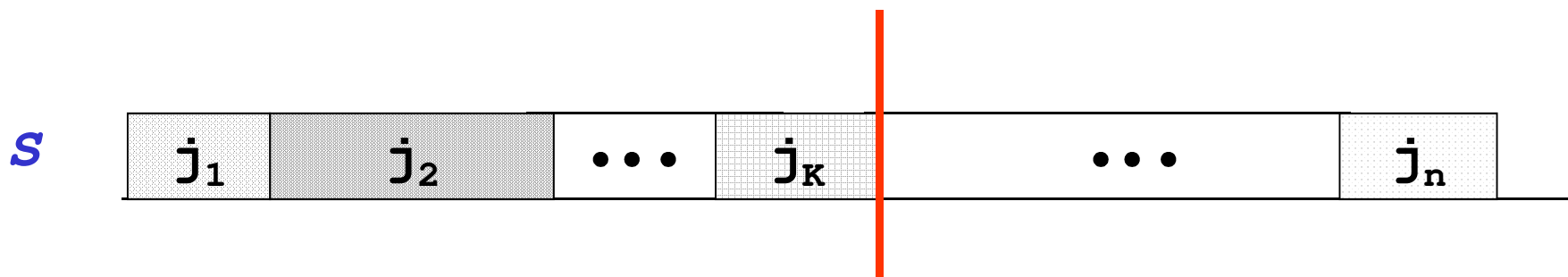
Spazio: 2^n * da memorizzare.

DP vs. branch&bound



Applicabilità I

Il principio di ereditarietà della struttura ottima si basa sul fatto che un risequenziamento dei job (j_1, \dots, j_K) non cambia il termine B.

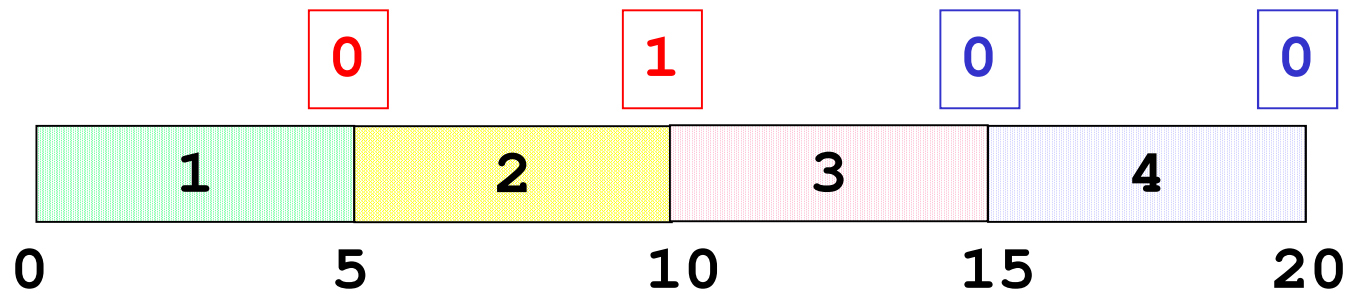


$$\sum_{k=1}^n h_{jk}(C_{jk}) = \sum_{k=1}^K h_{jk}(C_{jk}) + \sum_{k=K+1}^n h_{jk}(C_{jk}) = A + B$$

Mantenendo la stessa struttura della funzione obiettivo, questo non è vero se le release date sono non tutte nulle.

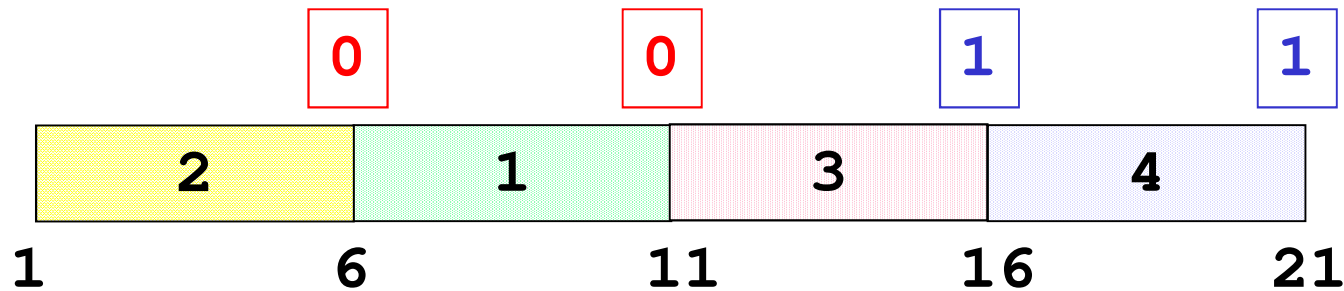
Controesempio

job	1	2	3	4
p_j	5	5	5	5
r_j	0	1	9	15
d_j	11	9	15	20



$$\sum T_j = 1$$

$$T_1 + T_2 = 1$$



$$\sum T_j = 2$$

$$T_1 + T_2 = 0$$

Applicabilità II

Il metodo di Held e Karp si applica anche a problemi min-max.

Ad esempio se consideriamo $1 // L_{\max}$ la ricorsione diventa:

$$z(J) = \min_{j \in J} \left(\max \left(z(J \setminus \{j\}), \sum_{j \in J} p_j - d_j \right) \right)$$

$1 // \sum T_j$
Tardiness totale

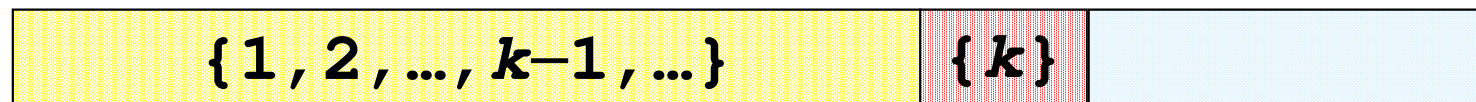
algoritmo pseudo-polinomiale

Struttura della sequenza ottima

Lemma 1.10 Se $p_j \leq p_k$ e $d_j \leq d_k$, esiste una sequenza ottima in cui j precede k .

Ipotesi: $d_1 \leq \dots \leq d_n$, $p_k = \max(p_1, \dots, p_n)$

Quindi, esiste una sequenza ottima in cui i job $\{1, \dots, k-1\}$ precedono, in un qualche ordine, il job k .



i rimanenti job $\{k+1, \dots, n\}$ possono precedere o seguire k

Analisi di sensibilità

Prendiamo un job k qualunque e poniamo:

$$d_k = \max(d_k, C_k')$$

Dove C_k' è il **massimo tempo di completamento del job k in una (qualsiasi) soluzione ottima.**

Otteniamo 2 istanze, entrambe con n job e tempi di processamento p_1, \dots, p_n

$$I1] \quad d_1, \dots, d_n$$

$$I2] \quad d_1, \dots, d_{k-1}, \max(d_k, C_k'), d_{k+1}, \dots, d_n$$

Analisi di sensibilità

I1] d_1, \dots, d_n

I2] $d_1, \dots, d_{k-1}, \max(d_k, C_k'), d_{k+1}, \dots, d_n$

Lemma 1.11

Ogni sequenza ottima per I2 è ottima per I1

Dimostrazione. Siano:

- **S'** uno schedule ottimo di I1 in cui k è completato al tempo C_k'
- **S''** uno schedule ottimo di I2 e C_k'' il relativo tempo di completamento di k .

Dimostrazione I

Siano:

- $V'(S)$ la tardiness totale della sequenza S rispetto ad I1
- $V''(S)$ la tardiness totale della sequenza S rispetto ad I2

Valutiamo le due sequenze S' e S'' rispetto a I1 e I2.

Per costruzione:

1. $V'(S') = V''(S') + A_k$
2. $V'(S'') = V''(S'') + B_k$

Dimostriamo il teorema facendo vedere che:

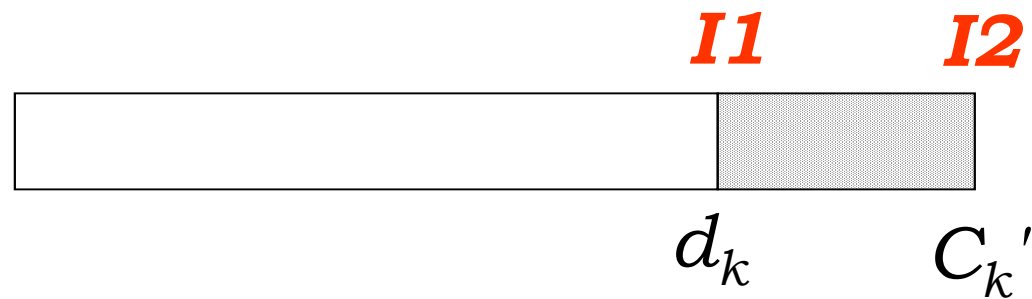
- $V''(S) \geq V''(S'')$ e
- $A_k \geq B_k$

Dimostrazione II: consideriamo S'

Se $C_k' \leq d_k$, allora I1 e I2 coincidono ed il lemma è provato;
altrimenti: la due date di k in I2 è proprio C_k' , cioè coincide col
suo tempo di completamento in S' .

Quindi:

$$1. V'(S') = V''(S') + \mathbf{A}_k$$



$$\mathbf{A}_k = C_k' - d_k$$

Dimostrazione III: consideriamo S''

$$2. V'(S'') = V''(S'') + \mathbf{B}_k$$

consideriamo la sequenza S'' , in cui il job k è completato in C_k''

$$B_k = T_k' - T_k'' = \max(0, C_k'' - d_k) - \max(0, C_k'' - C_k')$$

2 casi:

$$B_k = \max(0, C_k'' - d_k) \quad \text{se } C_k'' \leq C_k'$$

$$B_k = C_k'' - d_k - C_k'' + C_k' = C_k' - d_k \quad \text{se } C_k'' > C_k'$$

quindi:

$$\mathbf{B}_k = \max(0, \min(C_k'', C_k') - d_k)$$

Dimostrazione IV

1. $V'(S') = V''(S') + A_k$
2. $V'(S'') = V''(S'') + B_k$

$$\mathbf{S'] } \mathbf{A_k = C_k' - d_k}$$

$$\mathbf{S''] } \mathbf{B_k = \max(0, \min(C_k'', C_k') - d_k)}$$

quindi: $\mathbf{A_k \geq B_k}$

Essendo S'' ottima per I_2 , deve essere $V''(S') \geq V''(S'')$
da cui:

$$\mathbf{V'(S') \geq V'(S'')}$$

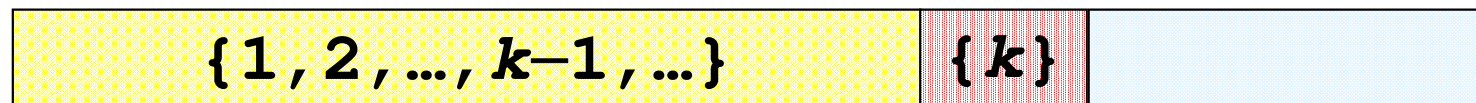


Struttura della sequenza ottima

Lemma 1.10 Se $p_j \leq p_k$ e $d_j \leq d_k$, esiste una sequenza ottima in cui j precede k .

Ipotesi: $d_1 \leq \dots \leq d_n$, $p_k = \max(p_1, \dots, p_n)$

Quindi, esiste una sequenza ottima in cui i job $\{1, \dots, k-1\}$ precedono, in un qualche ordine, il job k .



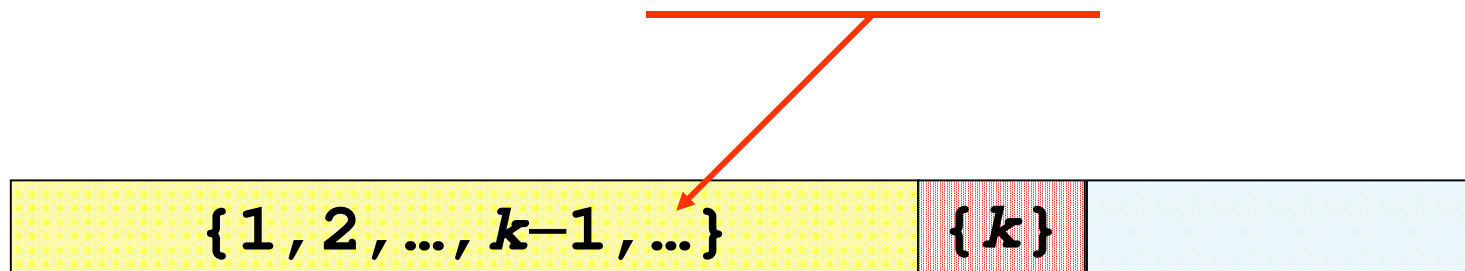
i rimanenti job $\{k+1, \dots, n\}$ possono precedere o seguire k

Posizione dei job $\{k+1, \dots, n\}$

Lemma 1.12

Esiste un intero δ , $0 \leq \delta \leq n - k$, tale che esiste una sequenza ottima S in cui il job k è preceduto da tutti i job j con $j \leq k + \delta$ e seguito da tutti i job j per cui $j > k + \delta$

$1, \dots, k-1, k, \mathbf{k+1}, \dots, \mathbf{k+\delta}, \dots, n$



Posizione dei job $\{k+1, \dots, n\}$

Sia C_k' il massimo tempo di completamento del job k in una soluzione ottima dell'istanza I1

Sia S'' uno schedule ottimo di I2 tale da soddisfare Lemma 1.10

Sia C_k'' il tempo di completamento del job k in S''

Per il Lemma 1.10, S'' è ottima anche per I1, quindi

$$C_k'' \leq \max(C_k', d_k)$$

Dimostrazione I

Ragioniamo sulla soluzione S'' , sfruttando la perturbazione della due date di k (ed il Lemma 1.10)

$$1, \dots, k-1, k, k+1, \dots, k+\delta, \dots, n$$

$$d_1, \dots, d_{k-1}, d_k, d_{k+1}, \dots, d_{k+\delta}, \dots, d_n$$



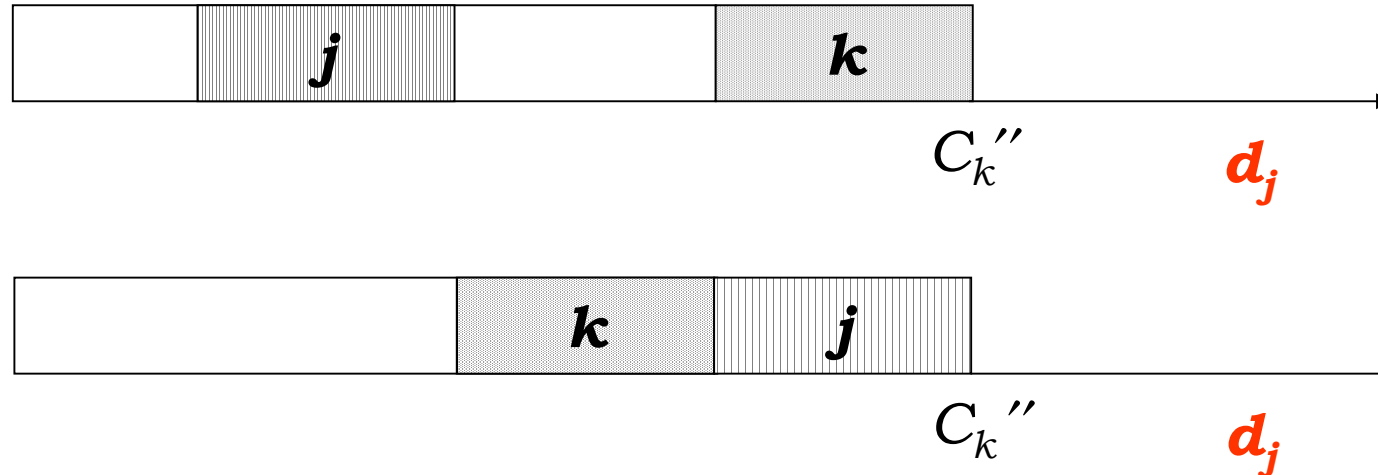
$$\max(C_k', d_k)$$

Dimostrazione I

Affermazione 1. Si può assumere che k non sia preceduto in S'' da alcun job j con

$$d_j \geq \max(C_k', d_k) \geq C_k''$$

Infatti, lo swap:



produrrebbe una sequenza ammissibile non peggiore di quella di partenza

Dimostrazione II

Affermazione 2.

il job k in I2 ha una due date pari a $\max(C_k', d_k)$. Quindi, per il Lemma 1.10, deve essere preceduto in \mathbf{S}'' da tutti i job j con

$$d_j \leq \max(C_k', d_k).$$

Quindi: scegliendo δ come il più grande intero tale che

$$d_k + \delta \leq \max(C_k', d_k)$$

Ed essendo \mathbf{S}'' ottima per I1, la prova è completa

Programmazione Dinamica

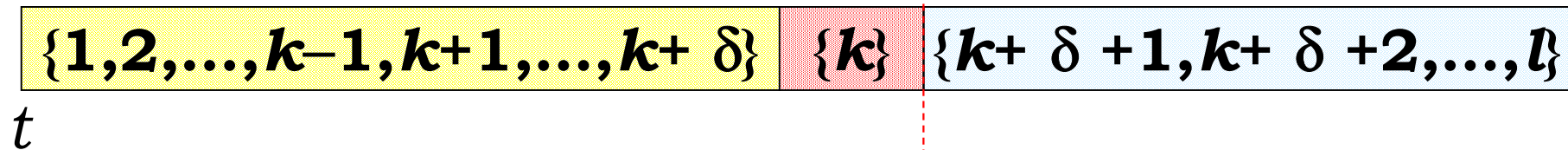
Insieme di job $\{1, \dots, l\}$ che inizia all'istante t .

Dal Lemma 2, esiste un δ , $0 \leq \delta \leq l - k$, per cui uno schedule ottimo è dato dalla concatenazione di tre insiemi di job:

1. in qualche ordine

2

3. in qualche ordine



$$C_k(\delta) = t + \sum_{j \leq k+\delta} P_j$$

tempo di completamento di k

Affinché l'intera sequenza sia ottima devono essere ottime le sottosequenze relative agli insiemi 1 e 3 \Rightarrow **ricorsione**

Programmazione Dinamica

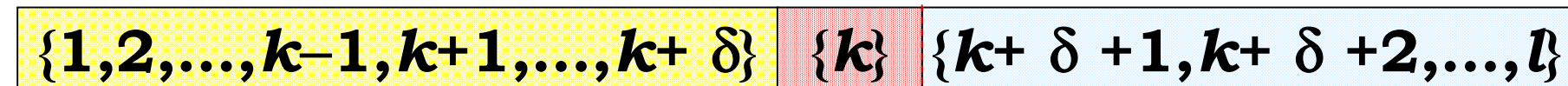
Il Lemma 2, purtroppo non fornisce un metodo di calcolo di δ (perché?), ma solo un certificato di esistenza.

Tuttavia, $0 \leq \delta \leq l - k$, quindi, possiamo enumerare tutti i possibili valori di δ e scegliere quello che produce la sol. migliore

1. in qualche ordine

2

3. in qualche ordine



t

$$C_k(\delta) = t + \sum_{j \leq k+\delta} p_j$$

tempo di completamento di k

Struttura del sottoproblema

Definiamo

$$\mathcal{J}(j, l, s) \subseteq \{j, j+1, \dots, l-1, l\}$$

l'insieme di job di durata minore o uguale a p_s . L'insieme non contiene il job s anche se $j \leq s \leq l$.

$V(\mathcal{J}(j, l, s), t)$ tardiness totale dell'insieme $\mathcal{J}(j, l, s)$ in una soluzione ottima quando l'insieme è iniziato al tempo t

condizioni al contorno:

$$V(\emptyset, t) = 0,$$

$$V(\{j\}, t) = \max(0, t + p_j - d_j)$$

Ricorsione

$$V(J(j, l, s), t) = \min_{0 \leq \delta \leq l-k} \{ V(J(j, k+\delta, k), t) + \max(0, C_k(\delta) - d_k) + V(J(k+\delta+1, l, k), C_k(\delta)) \}$$

in cui:


$$p_k = \max(p_r \mid r \in J(j, l, s))$$

valore ottimo:

$$V(\{1, \dots, n\}, 0)$$

Esempio

job	1'	2'	3	4
p_j	8	6	10	7
d_j	14	9	16	16

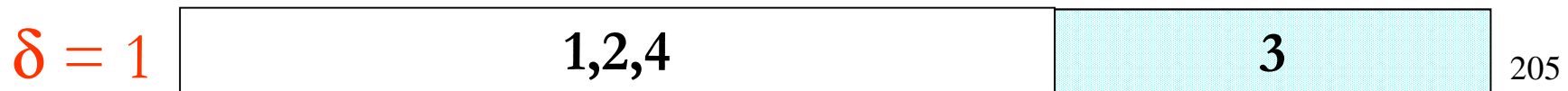
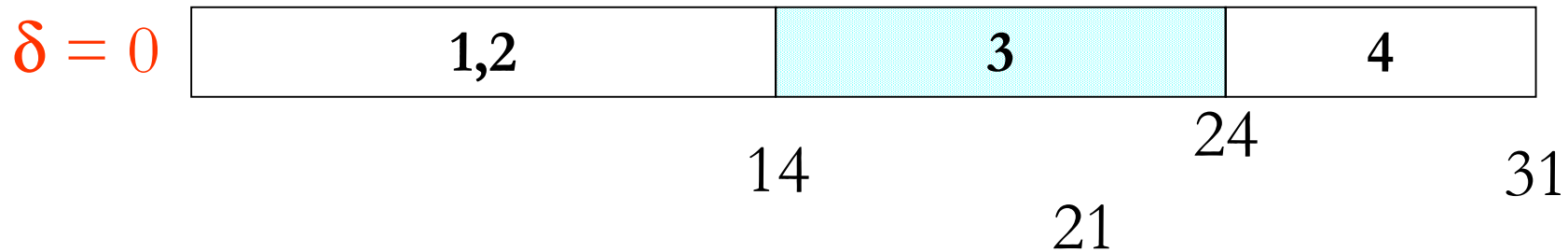


job	1	2	3	4
p_j	6	8	10	7
d_j	9	14	16	16

$$V(\{1, 2, 3, 4\}, 0) = \min ($$

$$\delta = 0 \quad V(J(1, 3, 3), 0) + \max(0, 24 - 16) + V(J(4, 4, 3), 24),$$

$$\delta = 1 \quad V(J(1, 4, 3), 0) + \max(0, 31 - 16) \quad)$$



Esempio

job	1	2	3	4
p_j	6	8	10	7
d_j	9	14	16	16

$$J(1, 3, 3) = \{1, 2\}$$

$$k = 2$$

$J(1, 3, 3)$ è risolto essendo $d_1 < d_2$:

$$V(J(1, 3, 3), 0) = \max(0, 6 - 9) + \max(0, 14 - 14) = 0$$

$$J(4, 4, 3) = \{4\}$$

$$V(J(4, 4, 3), 24) = \max(0, 31 - 16) = 15$$

Esempio

job	1	2	3	4
p_j	6	8	10	7
d_j	9	14	16	16

$$V(\{1, 2, 3, 4\}, 0) = \min ($$

$$\delta = 0 \quad 0 + \max(0, 24 - 16) + 15,$$

$$\delta = 1 \quad V(J(1, 4, 3), 0) + \max(0, 31 - 16) \quad)$$

$$\Rightarrow V(\{1, 2, 3, 4\}, 0) = \min(23, V(J(1, 4, 3), 0) + 15)$$

Esempio

job	1	2	3	4
p_j	6	8	10	7
d_j	9	14	16	16

$$J(1, 4, 3) = \{1, 2, 4\}$$

$$k = 2$$

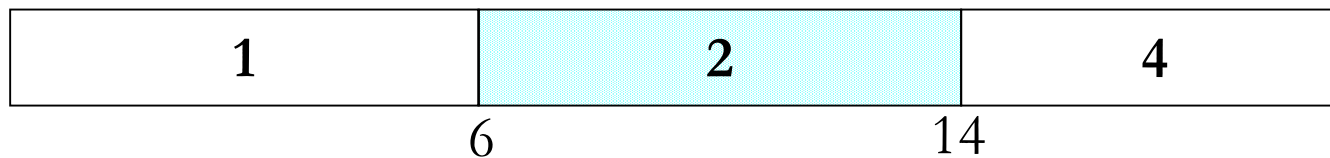
$$V(J(1, 4, 3), 0) = \min($$

$$\delta=0 \quad V(J(1, 2, 2), 0) + \max(0, 14 - 14) + V(J(3, 4, 2), 14),$$

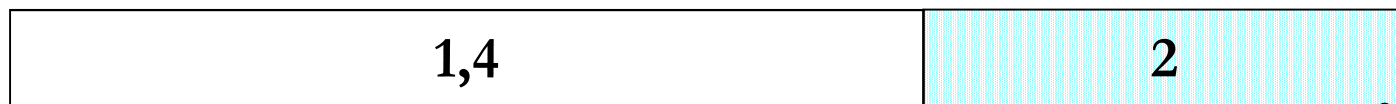
$$\delta=1 \quad V(J(1, 3, 2), 0) + \max(0, 14 - 14) + V(J(4, 4, 2), 14),$$

$$\delta=2 \quad V(J(1, 4, 2), 0) + \max(0, 21 - 14)$$

$$\delta = 0, 1$$



$$\delta = 2$$



Esempio

job	1	2	3	4
p_j	6	8	10	7
d_j	9	14	16	16

$$V(\mathcal{J}(1, 4, 3), 0) = \min(\$$

$$\delta=0 \quad V(\mathcal{J}(1, 2, 2), 0) + \max(0, 14 - 14) + V(\mathcal{J}(3, 4, 2), 14),$$

$$\delta=1 \quad V(\mathcal{J}(1, 3, 2), 0) + \max(0, 14 - 14) + V(\mathcal{J}(4, 4, 2), 14),$$

$$\delta=2 \quad V(\mathcal{J}(1, 4, 2), 0) + \max(0, 21 - 14))$$

$\delta=0$:

$$\mathcal{J}(1, 2, 2) = \{1\} \rightarrow V(\mathcal{J}(1, 2, 2), 0) = \max(0, 6 - 9) = 0$$

$$\mathcal{J}(3, 4, 2) = \{4\} \rightarrow V(\mathcal{J}(3, 4, 2), 14) = \max(0, 21 - 16) = 5$$

Esempio

job	1	2	3	4
p_j	6	8	10	7
d_j	9	14	16	16

$\delta=1$:

$$J(1, 3, 2) = \{1\} \rightarrow V(J(1, 3, 2), 0) = \max(0, 6 - 9) = 0$$


$$J(4, 4, 2) = \{4\} \rightarrow V(J(4, 4, 2), 14) = \max(0, 21 - 16) = 5$$

$\delta=2$:

$$J(1, 4, 2) = \{1,4\} \rightarrow V(J(1, 4, 2), 0) = \max(0, 6 - 9) \\ + \max(0, 13 - 16) = 0$$

Esempio

job	1'	2'	3	4
p_j	8	6	10	7
d_j	14	9	16	16



job	1	2	3	4
p_j	6	8	10	7
d_j	9	14	16	16

$$V(J(1, 4, 3), 0) = \min(\begin{array}{l} * \delta = 0, \delta = 1 \quad 0 + 0 + 5, \\ \delta = 2 \quad \quad \quad 0 + 7) = 5 \end{array}$$

Esempio

job	1	2	3	4
p_j	6	8	10	7
d_j	9	14	16	16

$$V(\{1, 2, 3, 4\}, 0) = \min ((0 + 8 + 15), \mathbf{V}(\mathcal{J}(1, 4, 3), 0) + 15)$$

$$\delta = 0 \quad 23,$$

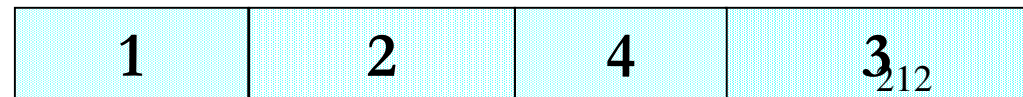
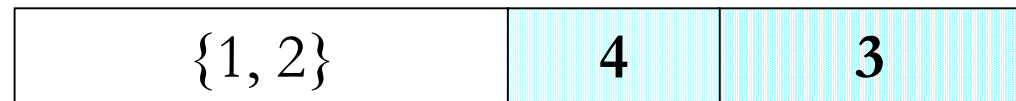
$$*\delta = 1 \quad 20) = 20$$



$$V(\mathcal{J}(1, 4, 3), 0) = \min($$

$$* \delta = 0, \delta = 1 \quad 0 + 0 + 5,$$

$$\delta = 2 \quad 0 + 7) = 5$$



Complessità

Tempo:

$O(n^3)$ sottoinsiemi $\mathcal{J}(j, l, k)$ e Σp_j possibili istanti t .
Quindi, il numero di equazioni ricorsive da risolvere è pari a $O(n^3 \Sigma p_j)$. Ciascuna di esse richiede un tempo $O(n)$.

Quindi, l'algoritmo richiede tempo **$O(n^4 \Sigma p_j)$**

Tardiness totale pesata

$$1 // \Sigma \omega_j T_j$$

$$1 // \sum w_j T_j$$

Teorema. Il problema $1 // \sum w_j T_j$ è NP-hard in senso forte.

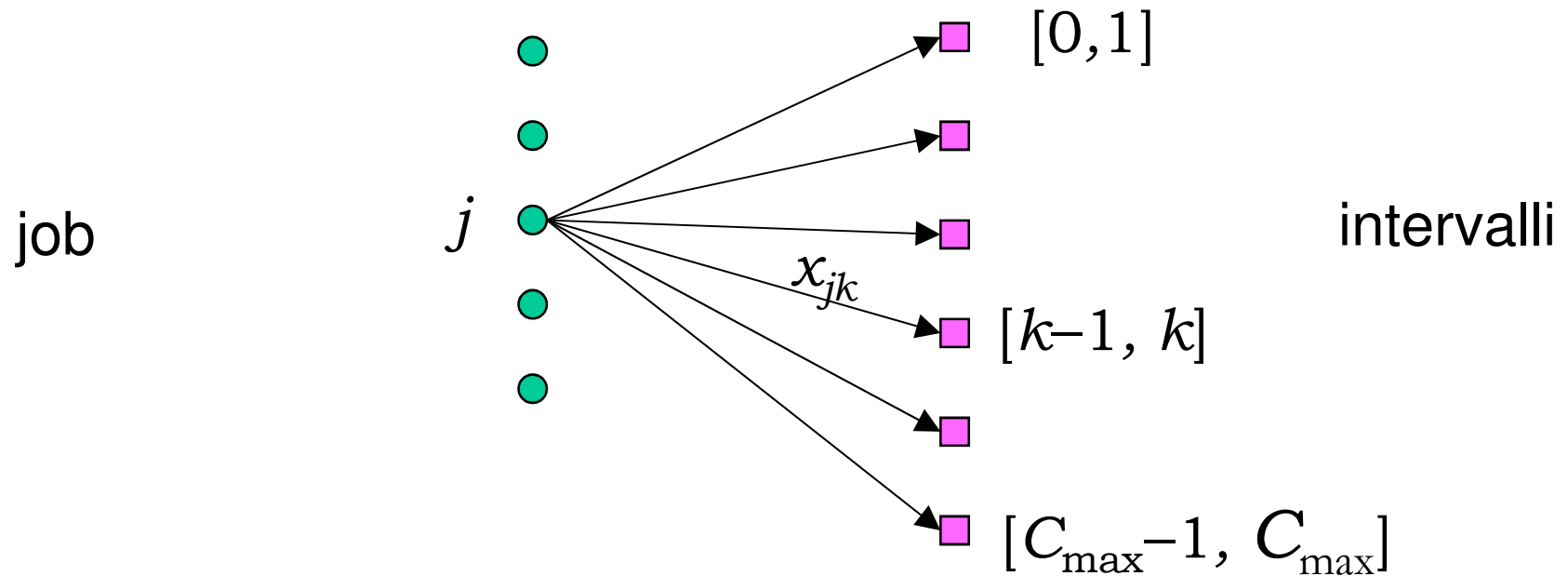
Lemma. Se $p_j \leq p_k$ e $d_j \leq d_k$, e $w_j \geq w_k$ allora esiste una sequenza ottima in cui j precede k .

Rilassamento preemptivo: ciascun job j di durata p_j è suddiviso in p_j job di durata unitaria.

Variabili decisionali:

$x_{jk} = 1$ se una unità del job j è eseguita nell'intervallo $[k-1, k]$ e 0 altrimenti

$$1/p_j \text{ rmp} / \Sigma \omega_j T_j$$



$$\sum_{k=1}^{C_{\max}} x_{jk} = p_j, j = 1, \dots, n$$

$$\sum_{j=1}^n x_{jk} = 1, k = 1, \dots, C_{\max}$$

$1/prmp/\Sigma w_j T_j$: formulazione PL0-1

$$\max \sum_{j=1}^n \sum_{k=1}^{C_{\max}} c_{jk} x_{jk}$$

occorre determinare c_{jk} tali da rappresentare la tardiness totale (o un suo rilassamento)

$$\sum_{k=1}^{C_{\max}} x_{jk} = p_j, \quad j = 1, \dots, n$$

$$\sum_{j=1}^n x_{jk} = 1, \quad k = 1, \dots, C_{\max}$$

$$x_{jk} \in \{0,1\}, \quad j = 1, \dots, n; k = 1, \dots, C_{\max}$$

problema dei trasporti

Richiamo: Problema dei trasporti

s località sorgente e t destinazioni. Ciascuna sorgente $i \in \{1, \dots, s\}$ dispone di d_i unità di prodotto ed ogni destinazione $j \in \{1, \dots, t\}$ ne richiede almeno r_j unità.

Il costo unitario di trasporto da i a j è c_{ij} .

Determinare una politica di trasporto di costo minimo.

$$\min \sum_{i=1}^s \sum_{j=1}^t c_{ij} x_{ij}$$

x_{ij} quantità
trasportata
da i a j

$$\sum_{j=1}^t x_{ij} = d_i \quad i \in \{1, \dots, s\}$$

$$\sum_{i=1}^s x_{ij} = r_j \quad j \in \{1, \dots, t\}$$

$$x_{ij} \geq 0, \quad \text{intere}$$

Coefficienti c_{jk}

Determinare c_{jk} tali che, per ogni schedule non preemptivo, risulti:

$$\sum w_j T_j \geq \sum_{j=1}^n \sum_{k=1}^{C_{\max}} c_{jk} x_{jk}$$

Definiamo i coefficienti di costo in modo che:

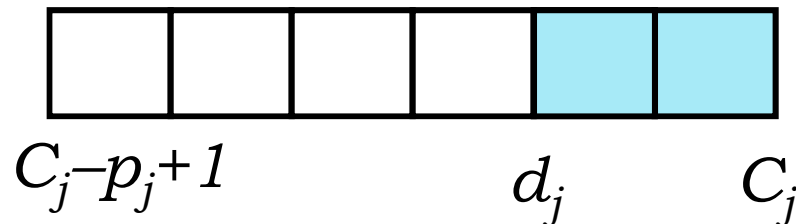
$$\sum_{k=l-p_j+1}^l c_{jk} \leq w_j \max(l - d_j, 0)$$

$$\text{per } j = 1, \dots, n; l = 1, \dots, C_{\max}$$

Funzione obiettivo

Allora, per una qualunque soluzione non preemptiva risulta, per ogni j :

$$\sum_{k=1}^{C_{\max}} c_{jk} x_{jk} = \sum_{k=C_j-p_j+1}^{C_j} c_{jk} \leq w_j \max(C_j - d_j, 0)$$



Possibile scelta:

$$c_{jk} = \begin{cases} 0, & \text{per } k \leq d_j \\ w_j, & \text{altrimenti} \end{cases}$$